Лекция 1.

- Электромагнитное взаимодействие и его место среди других взаимодействий в природе. Электрический заряд. Линейная, поверхностная и объемная плотности электрического заряда. Микроскопические носители заряда. Опыт Милликена. Закон сохранения электрического заряда.
- Электростатика. Закон Кулона. Его полевая трактовка. Вектор напряженности электрического поля. Принцип суперпозиции электрических полей

Электромагнитное взаимодействие. Электрический заряд.

- Электромагнитным взаимодействием называется взаимодействие между электрически заряженными телами или электрически заряженными телами и электромагнитным полем.
- Если тело электрически заряжено, то говоря, что оно имеет электрический заряд. То есть, электрический заряд это физическая величина, являющееся источником электромагнитных взаимодействий.
- Взаимодействие между покоящимися заряженными телами (или кратко зарядами) называют электрическими или точнее электростатическими взаимодействиями.

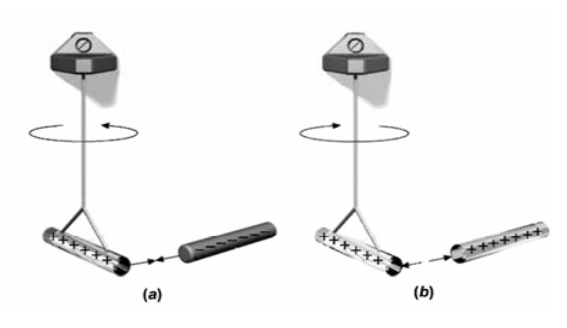
1.2

1.5

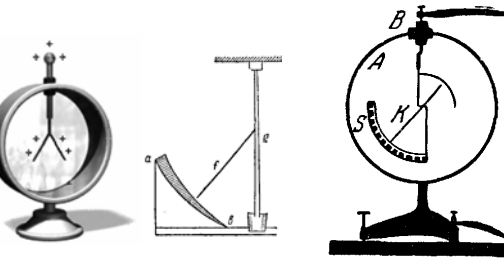
Электризация трением. Притяжение мелких предметов наэлектризованными телами.



Два вида электрических зарядов (положительные и отрицательные).

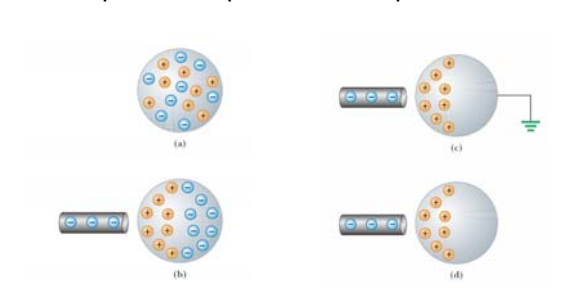


Электроскопы и электрометры.



Электрометр Г.В.Рихмана (1745)

Электростатическая индукция. Электризация проводника через влияние.

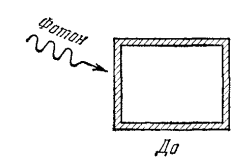


1.6

1.3

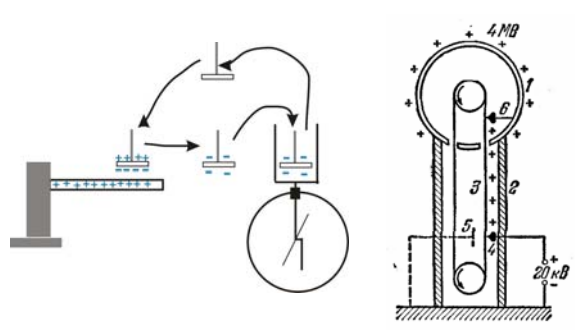
Закон сохранения электрического заряда.

• Алгебраическая сумма зарядов в любой замкнутой системе сохраняется неизменной при любых электрических взаимодействиях и превращениях веществ внутри этой системы.





Принцип работы электрофорной машины. Генератор Ван-де-Граафа.



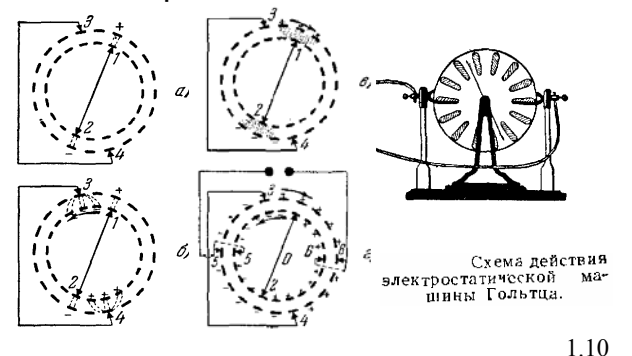
1.7

1.1

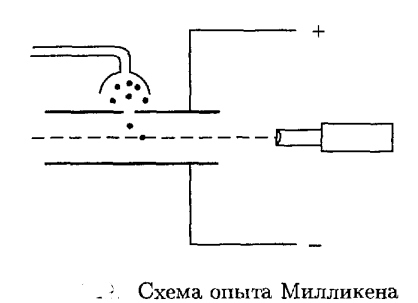
1.4

1.8

Принцип работы электростатической машины.



Микроскопические носители заряда. Опыт Милликена.



 $F_{m} = F_{q} + F_{mp.} + F_{Ap.}$ $F_{mp} = qE + 6\pi \eta av + m_{eo3dyxa}g$ $F_{q} = (q_{1} - q_{0}), (q_{2} - q_{0}), (q_{3} - q_{0}), \dots$ $F_{m} = F_{q} + F_{mp.} + F_{Ap.}$ $mg = qE + 6\pi \eta av + m_{eo3dyxa}g$ $(q_{1} - q_{0}), (q_{2} - q_{0}), (q_{3} - q_{0}), \dots$ $F_{m} = F_{q} + F_{mp.} + F_{Ap.}$ $e = 1,602189 \cdot 10^{-19} \, K\pi$

1.11

Электромагнитное взаимодействие и его место среди других взаимодействий в природе.

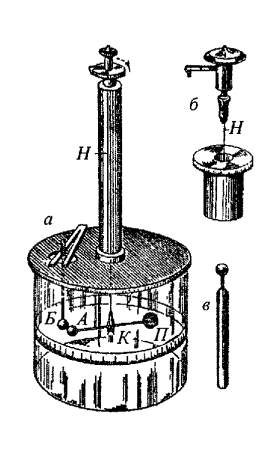
- Фундаментальные взаимодействия (силы) в природе:
- Гравитационные
- Электромагнитные
- Слабые
- Сильные

Электростатика. Закон Кулона.

- Электростатика раздел электромагнетизма, в котором изучается взаимодействие неподвижных зарядов.
- Закон взаимодействия неподвижных заряженных тел был открыт в 1785 году Кулоном с помощью изобретенных им крутильных весов

1.14

1.17



Крутильные весы Кулона

1.15

1.12

Закон Кулона.

 Величина силы взаимодействия между двумя неподвижными точечными зарядами, находящимися в вакууме, пропорциональна зарядам и обратно пропорциональна квадрату расстояния между ними

$$|\vec{F}| \sim \frac{|q_1||q_2|}{R^2} \qquad |\vec{F}| = k \frac{|q_1||q_2|}{R^2}$$

• Силы взаимодействия между точечными зарядами направлены вдоль линии, соединяющей эти заряды, и по модулю равны. Одного знака заряды отталкиваются, разного знака – притягиваются.

$$|\vec{F_1}| = |\vec{F_2}|$$

$$q_1 > 0 \qquad R \qquad q_2 > 0$$

$$\vec{F_1} \qquad \vec{F_2}$$

$$q_1 < 0 \qquad R \qquad q_2 > 0$$

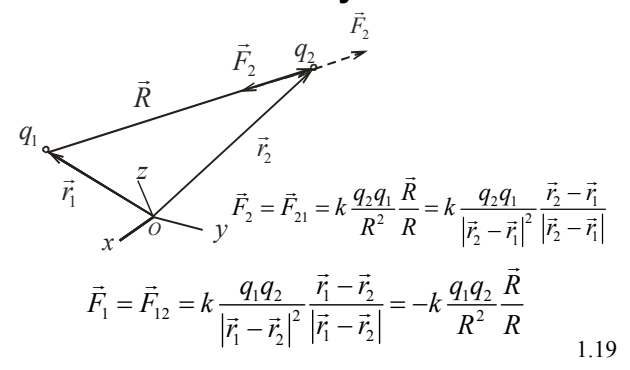
Единица заряда

$$\begin{aligned} 1 \text{K} &\pi = 1 \text{A} \cdot 1 \text{c} = 1 \text{A} \cdot \text{c} & 1 \text{K} &\pi = 0, 1 \text{C} \cdot 1 \text{C} &\text{C} \text{C} \text{O}_{\text{q}} \\ k &= C^2 \cdot 10^{-11} \frac{\text{H} \cdot \text{m}^2}{\text{K} \pi^2} \approx 9 \cdot 10^9 \frac{\text{H} \cdot \text{m}^2}{\text{K} \pi^2} \\ \varepsilon_0 &= \frac{1}{4\pi k} = 8,85 \cdot 10^{-12} \frac{\Phi}{\text{m}} \\ & \left| \vec{F} \right| = \frac{1}{4\pi \varepsilon_0} \frac{|q_1| |q_2|}{R^2} \end{aligned}$$

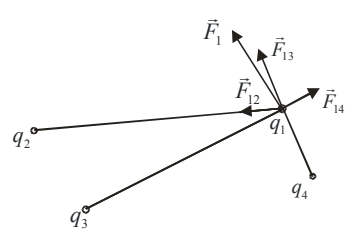
1.16

1.13

Векторная форма записи закона Кулона



Принцип суперпозиции для сил взаимодействия точечных зарядов.



Из опыта следует $\vec{F}_1 = \vec{F}_{12} + \vec{F}_{13} + \vec{F}_{41} = \sum_i \vec{F}_{1i}$

1.20

Полевая трактовка закона Кулона. Электрическое поле.

• Введем величину вектора напряженности электрического поля в точке нахождения пробного заря по формуле

$$ec{egin{array}{cccc} ec{R} & & & ec{R} & & ec{F} = rac{ec{F}_{q_{np}}}{q_{np}} & ec{F}_{q_{np}} & ec{F}_{q_{np}$$

1.21

Напряженность электрического поля точечного заряда.

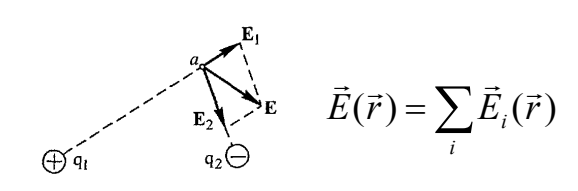
$$\vec{E}_{q} = \frac{\vec{F}_{qq_{np}}}{q_{np}} = \frac{1}{q_{np}} \frac{qq_{np}}{4\pi\varepsilon_{0}} \frac{\vec{R}}{R^{3}} = \frac{q}{4\pi\varepsilon_{0}} \frac{\vec{R}}{R^{3}}$$

Модуль вектора напряженности равен

$$\left| \vec{E}_q \right| = \frac{1}{4\pi\varepsilon_0} \frac{|q|}{R^2}$$

1.22

Полевая трактовка принципа суперпозиции. Принцип суперпозиции электрических полей.



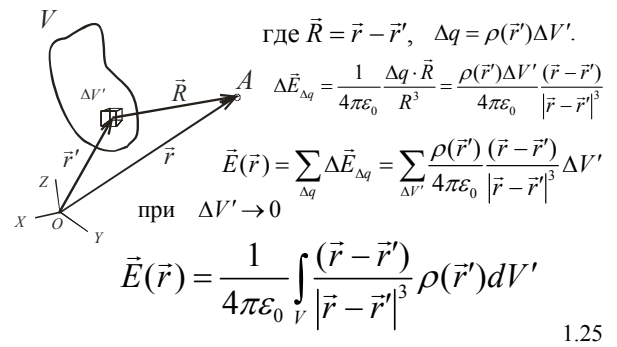
1.23

Объемная, поверхностная и линейная плотности электрического заряда

$$\rho = \lim_{\Delta V \to 0} \frac{\Delta q}{\Delta V}, \quad \sigma = \lim_{\Delta S \to 0} \frac{\Delta q}{\Delta S}, \quad \gamma = \lim_{\Delta l \to 0} \frac{\Delta q}{\Delta l}$$

1.24

Напряженность электрического поля, создаваемая непрерывным распределением зарядов



В случае распределения зарядов на поверхности S и на участке линии L для напряженности электрического поля имеем

$$\vec{E}(\vec{r}) = \frac{1}{4\pi\varepsilon_0} \int_{S} \frac{(\vec{r} - \vec{r}')}{|\vec{r} - \vec{r}'|^3} \sigma(\vec{r}') dS'$$

$$\vec{E}(\vec{r}) = \frac{1}{4\pi\varepsilon_0} \int_L \frac{(\vec{r} - \vec{r}')}{|\vec{r} - \vec{r}'|^3} \gamma(\vec{r}') dl'$$

Лекция 2.

- Поток вектора напряженности электрического поля. Электростатическая теорема Остроградского—Гаусса, её представление в дифференциальной форме.
- Потенциальность электростатического поля и её представление в дифференциальной форме. Потенциал. Нормировка потенциала. Работа сил электростатического поля. Циркуляция вектора напряженности электростатического поля.

Пример решения задач электростатики

• Найти напряженность электрического поля, создаваемого зарядом однородно заряженной палочки длины на оси X, если палочка ориентирована вдоль оси У, как показано на рисунке

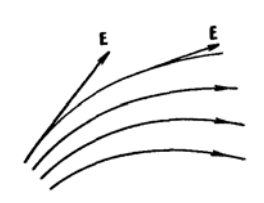


Аналогично для у компоненты получим

$$E_y = \int dE_y = \frac{\gamma}{4\pi\varepsilon_0} \int_0^l \frac{y}{(x^2 + y^2)^{1/2}} \frac{dy}{x^2 + y^2} = \frac{\gamma}{4\pi\varepsilon_0} \left(\frac{1}{(l^2 + x^2)^{1/2}} - \frac{1}{x} \right)$$

Линии напряженности электрического поля.

• Это линии, вдоль которых вектор напряженности касателен в каждой точке.



Поток вектора напряженности электрического поля через сферическую поверхность, в центре которой

2.4

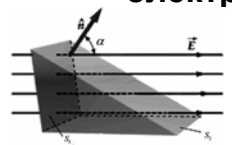
2.2



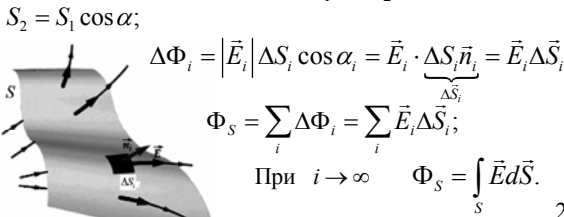


2.5

Поток вектора напряженности электрического поля.



 $\Phi = \vec{E} \cdot \vec{n}S = E \cdot S \cdot \cos \alpha = E_{\alpha}S$ $\Phi_1 = \Phi_2,$ $\Phi \sim N$ - количество линий $\vec{E},$ $N_1 = N_2$.



расположен точечный заряд д.

 $=\frac{1}{4\pi\varepsilon_0}\frac{q}{r^2}\cdot 4\pi r^2 = \frac{q}{\varepsilon_0}.$

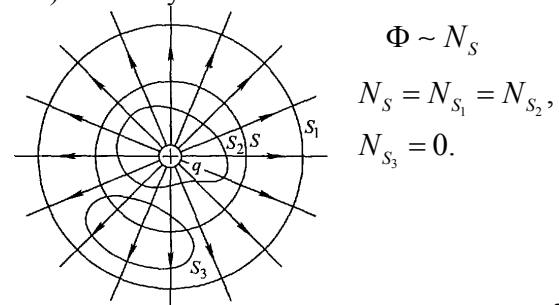
2.7

Электростатическая теорема Остроградского-Гаусса

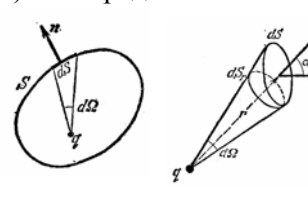
$$\int_{S_V} \vec{E} d\vec{S} = \frac{Q_V}{\varepsilon_0}$$

Доказательство теоремы Остроградского-Гаусса в общем случае.

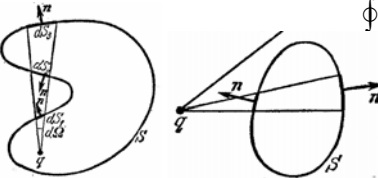
а) используя свойства силовых линий



б) непосредсвенное вычисление потока \dot{E} .



 $d\Phi = EdS\cos\alpha =$



 $\oint d\Phi = \frac{q}{4\pi\varepsilon_0} 4\pi = \frac{q}{\varepsilon_0}.$



Для непрерывного распределения зарядов имеем

$$\oint_{S_V} \vec{E} d\vec{S} = \frac{Q_V}{\varepsilon_0} = \frac{\int_V \rho dV}{\varepsilon_0}.$$
2.11

Примеры использования теоремы Остроградского–Гаусса.

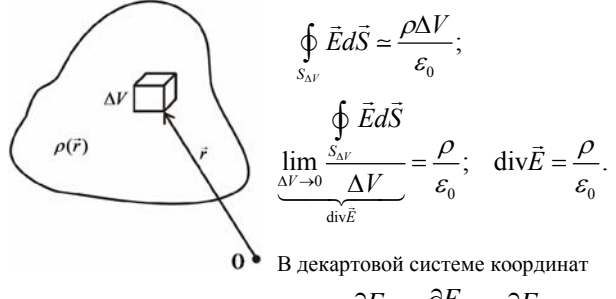
• Теорема Ирншоу.

Всякая равновесная конфигурация покоящихся точечных зарядов неустойчива, если на них действуют только электрические силы.

- Поле однородно заряженной сферы.
- Поле однородно заряженной бесконечной плоскости.
- Поле однородно заряженного бесконечного цилиндра.

2.12

Дифференциальная форма электростатической теоремы Остроградского–Гаусса



 $\operatorname{div}\vec{E} = \frac{\partial E_x}{\partial x} + \frac{\partial E_y}{\partial y} + \frac{\partial E_z}{\partial z}$

2.

Формула Гаусса-Остроградского.



$$\oint_{S_V} \vec{A} d\vec{S} = \int_V \text{div} \vec{A} dV$$

С помощью этой формулы несложно из интегральной электростатической теоремы Остр.-Гаусса получить ее дифференциальную формулу и наоборот.

$$\oint_{S_{V}} \vec{E} d\vec{S} = \int_{V} \operatorname{div} \vec{E} dV = \frac{\int_{V} \rho dV}{\varepsilon_{0}}; \Rightarrow \operatorname{div} \vec{E} = \frac{\rho}{\varepsilon_{0}}.$$
2.14

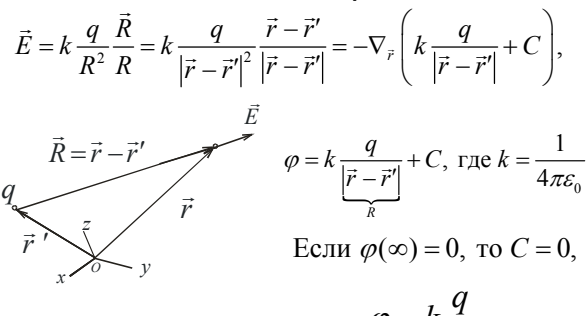
Потенциальность электростатического поля. Потенциал.

$$ec{E} = -
abla arphi,$$
 где $arphi = arphi(x,y,z)$ — потенциал

Замечание. Потенциал определен с точностью до константы, то есть $\varphi' = \varphi + C$ тоже потенциал. Для однозначности потенциал нормируют, задавая ему определенное значение в некоторой точке пространства. Обычно выбирают нулевое значение потенциала на бесконечности или поверхности Земли.

2.14

Потенциал электрического поля точечного заряда.



 $\varphi = k \frac{q}{R}.$ 2.16

Потенциал поля системы зарядов.

$$\vec{E}(\vec{r}) = \sum_{i} \vec{E}_{i}(\vec{r}) = -\sum_{i} \nabla \varphi_{i}(\vec{r}) = -\nabla \left(\sum_{i} \varphi_{i}(\vec{r})\right),$$

$$\varphi(\vec{r}) = \sum_{i} \varphi_{i}(\vec{r}) = \sum_{i} \frac{1}{4\pi\varepsilon_{0}} \frac{q_{i}}{|\vec{r} - \vec{r}_{i}|}.$$

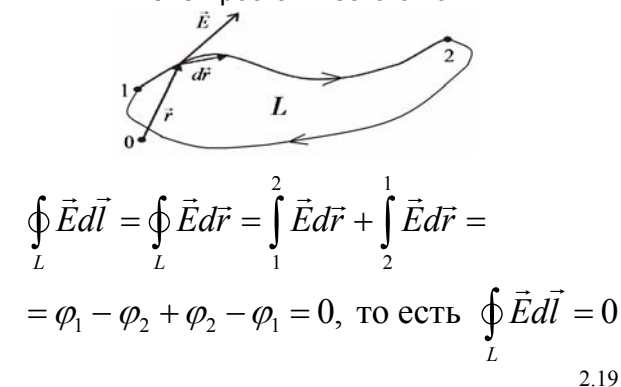
В случае непрерывного распределения зарядов $q_{\scriptscriptstyle i} = \rho(\vec{r}_{\scriptscriptstyle i}) \Delta V_{\scriptscriptstyle i}$

$$\varphi(\vec{r}) = \sum_{i} \frac{1}{4\pi\varepsilon_{0}} \frac{\rho(r_{i})\Delta V_{i}}{|\vec{r} - \vec{r}_{i}|} = \int_{V} \frac{1}{4\pi\varepsilon_{0}} \frac{\rho(r')_{i}}{|\vec{r} - \vec{r}'|} \frac{dV'}{dx'dy'dz'}.$$

Работа сил электростатического поля.



Циркуляция вектора напряженности электростатического поля.



Формула Стокса. Теорема о циркуляции, её представление в дифференциальной форме.

$$\oint_{L} \vec{E} d\vec{l} = \int_{S_{L}} \text{rot} \vec{E} \cdot d\vec{S}$$

$$\oint_{L} \vec{E} d\vec{l} = 0. \Rightarrow \text{rot} \vec{E} = 0.$$

Лекция 3.

- Потенциал системы точечных зарядов и непрерывного распределения зарядов. Уравнения Лапласа и Пуассона.
- Электрический диполь. Потенциал и поле диполя.

Потенциал системы точечных зарядов и непрерывного распределения зарядов.

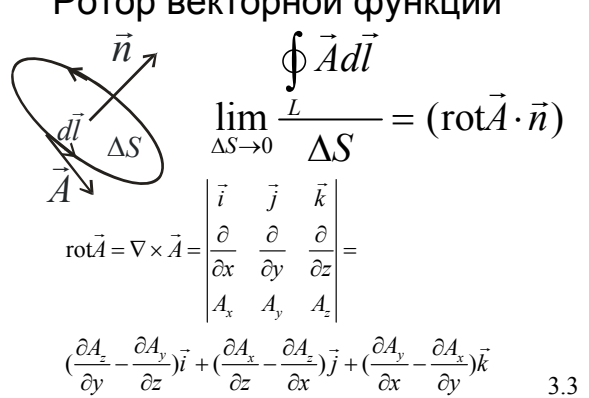
$$\varphi(r) = \sum_{i} \frac{1}{4\pi\varepsilon_{0}} \frac{q_{i}}{|\vec{r} - \vec{r}_{i}|},$$

$$\varphi(r) = \int_{V} \frac{1}{4\pi\varepsilon_0} \frac{\rho(r')}{|\vec{r} - \vec{r}'|} dV'.$$

3.1

2.20

Ротор векторной функции

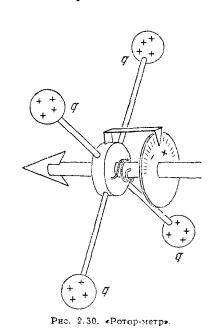


Физический смысл ротора в рамках гидродинамической аналогии



$$\lim_{\Delta S \to 0} \frac{\oint \vec{v} d\vec{l}}{\Delta S} = \frac{v2\pi r}{\pi r^2} = \frac{\omega r 2\pi r}{\pi r^2} = 2\omega$$

Физический смысл ротора в электростатике



3.5

3.2

Система полевых уравнений электростатики в вакууме в интегральной и дифференциальной форме.

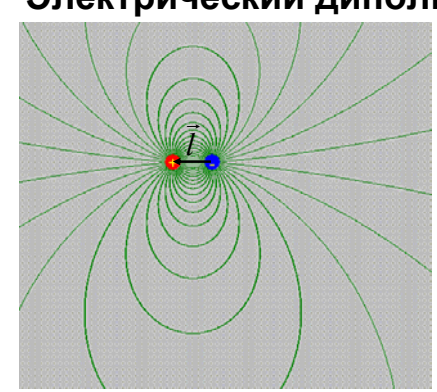
$$\int_{S_{V}} \vec{E} d\vec{S} = \frac{\int_{V} \rho dV}{\varepsilon_{0}}, \quad \text{div} \vec{E} = \frac{\rho}{\varepsilon_{0}},$$

$$\oint_{L} \vec{E} d\vec{l} = 0. \quad \text{rot} \vec{E} = 0.$$

Уравнения Лапласа и Пуассона.

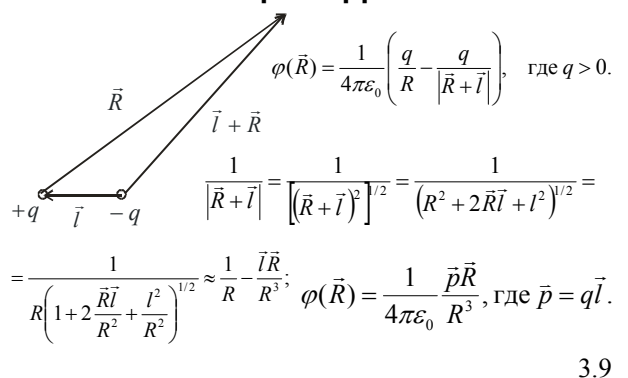
Если $\vec{E} = -\nabla \varphi$, то тождественно $\mathrm{rot} \vec{E} = 0$. Тогда $\frac{\rho}{\varepsilon_0} = \operatorname{div} \vec{E} = -\operatorname{div} \nabla \varphi = -\Delta \varphi, \text{ где } \Delta \varphi = \frac{\partial^2 \varphi}{\partial x^2} + \frac{\partial^2 \varphi}{\partial v^2} + \frac{\partial^2 \varphi}{\partial z^2}.$ Уравнение ПуассонаУравнение Лапласа $\Delta \varphi = -\frac{\rho}{\varepsilon_0},$ $\Delta \varphi = 0.$

Электрический диполь.



3.6

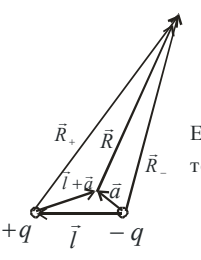
Потенциал диполя.



Поле диполя

$$\begin{split} \vec{E} &= -\nabla \varphi, \qquad E_x = -\frac{\partial}{\partial x} \varphi = -\frac{\partial}{\partial x} k \frac{\vec{p}\vec{R}}{R^3} = \\ &= -\frac{\partial}{\partial x} k \frac{p_x x + p_y y + p_z z}{\left(x^2 + y^2 + z^2\right)^{3/2}} = -k(\vec{p}\vec{R}) \left(-\frac{3}{2}\right) \frac{2x}{R^5} - k \frac{p_x}{R^3} = \\ &= k \left(\frac{3(\vec{p}\vec{R})x}{R^5} - \frac{p_x}{R^3}\right), \\ \vec{E} &= \frac{1}{4\pi\varepsilon_0} \left(\frac{3(\vec{p}\vec{R})\vec{R}}{R^5} - \frac{\vec{p}}{R^3}\right). \end{split}$$

Потенциал и поле диполя(общий случай).

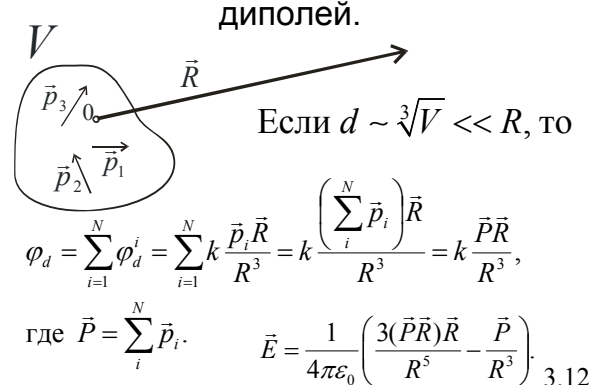


$$\vec{R}_{+} = \vec{l} + \vec{a} + \vec{R}$$
 $\vec{R}_{-} = \vec{a} + \vec{R}$
Если \vec{l} и $\vec{a} << \vec{R}$,
то потенциал и поле будут равны
 $\phi(\vec{R}) = \frac{1}{4\pi c} \frac{\vec{p} \vec{R}}{\vec{P}^{3}}$, где $\vec{p} = q \vec{l}$.

$$\vec{E} = \frac{1}{4\pi\varepsilon_0} \left(\frac{3(\vec{p}\vec{R})\vec{R}}{R^5} - \frac{\vec{p}}{R^3} \right).$$

3.11

Потенциал и поле системы



Пример решения задач электростатики с помощью уравнений Пуассона и Лапласа.

• Определить потенциал однородно заряженного шара, если радиус шара R, а его плотность заряда ρ •

$$\Delta \varphi = \frac{1}{r^2} \frac{\partial}{\partial r} \left(r^2 \frac{\partial \varphi}{\partial r} \right)$$
При $r > R$, $\Delta \varphi = \frac{1}{r^2} \frac{\partial}{\partial r} \left(r^2 \frac{\partial \varphi}{\partial r} \right) = 0$.

Общее решение этого уравнения равно

$$\varphi = -\frac{C_1}{r} + C_2.$$

Граничные условия

- 1) Нормировка потенциала. Если $r \to \infty$, то $\varphi \to 0$. Отсюда $C_2 = 0$.
- 2) Условие точечности заряда. Если r>>R, то $\varphi=\frac{1}{4\pi\varepsilon_*}\frac{q}{r}.$ Отсуда $C_1=-\frac{q}{4\pi\varepsilon_*}.$

При
$$r \le R$$
, $\Delta \varphi = \frac{1}{r^2} \frac{\partial}{\partial r} \left(r^2 \frac{\partial \varphi}{\partial r} \right) = -\frac{\rho}{\varepsilon_0}$.

Общее решение этого уравнения равно_{3.14}

$$\varphi = -\frac{\rho r^2}{6\varepsilon_0} - \frac{C_3}{r} + C_4$$

Граничные условия

1) Если $r \to 0$, то φ - ограничено. Отсюда $C_2 = 0$.

3.15

2) Условие непрерывности потенциала $\varphi(R-0) = \varphi(R+0)$.

$$-\frac{\rho R^2}{6\varepsilon_0} + C_4 = \frac{1}{4\pi\varepsilon_0} \frac{q}{R} = \frac{1}{4\pi\varepsilon_0} \frac{\frac{4}{3}\pi R^3 \rho}{R} = \frac{R^2 \rho}{3\varepsilon_0}.$$
 Находим $C_4 = \frac{\rho R^2}{2\varepsilon_0}$ и $\varphi = -\frac{\rho R^2}{6\varepsilon_0} + \frac{\rho R^2}{2\varepsilon_0}.$

В частности, для вектора напряженности

$$ec{E} = -rac{ec{r}}{r}rac{\partial arphi}{\partial r}$$
 имеем:
$$ec{E} = rac{
ho ec{r}}{3arepsilon_0}, \quad \text{при } r \leq R;$$

$$ec{E} = rac{q}{4\piarepsilon_0}rac{ec{r}}{r^3}, \quad \text{при } r > R.$$

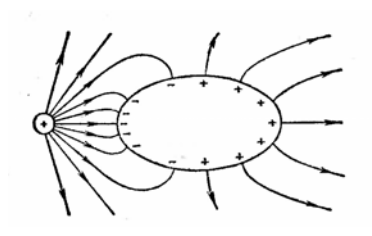
Лекция 4.

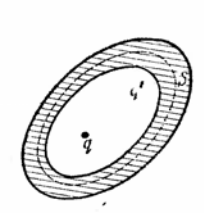
Проводники в электростатическом поле.
 Электростатическая индукция.

 Напряженность поля у поверхности и внутри проводника. Распределение заряда по поверхности проводника.
 Электростатическая защита. Проводящий шар в однородном электростатическом поле. Связь между зарядом и потенциалом проводника. Электроёмкость. Конденсаторы. Ёмкость плоского, сферического и цилиндрического конденсаторов.

Проводники в электростатическом поле. Электростатическая индукция.

- Явление перераспределения зарядов на проводнике при электрическом воздействии называется электрической (электростатической) индукцией.
- Явление перераспределения зарядов на проводнике при наличии внешнего стационарного электрического поля называется электростатической индукцией





4.3

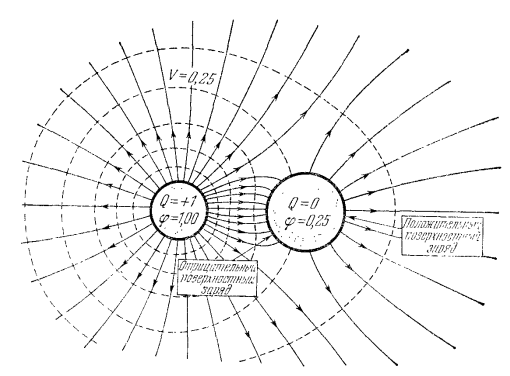


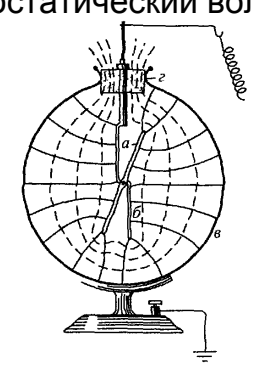
Рис. 3.5. Электрическое поле около двух оберписских проводинков, из которых один имеет заруд, размий Н. д. а Другой — равный нулю. Пиртаховые инвыев огнателя поресеченный эквипотенциальных поверхностей с плоскостью рисуны. Нулевой потенциал находится в бескопечности.

4 4

Электростатическая защита.

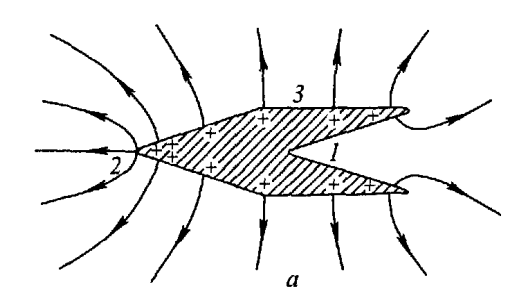


Электрометр или электростатический вольтметр.



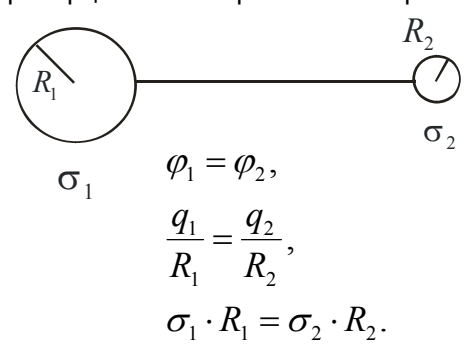
4.6

Распределение заряда по поверхности проводника.



4.7

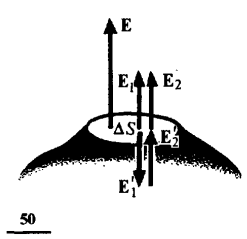
Поверхностная плотность заряда пропорциональна кривизне поверхности



Напряженность поля у поверхности проводника.

$$E_n = \frac{\sigma}{\varepsilon_0}, \quad E_{\tau} = 0.$$

 $E_1 = E_2 = \frac{1}{2}E$

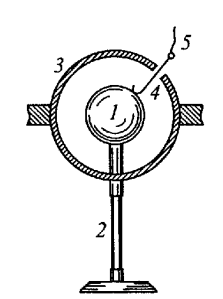


Механизм образования поля вблизи поверхности проводника

4.8

4.2

Метод Кавендиша проверки закона Кулона



$$F \sim \frac{q_1 q_2}{R^{2 \pm \delta}}$$

$$\delta < 1/21600$$

4.11

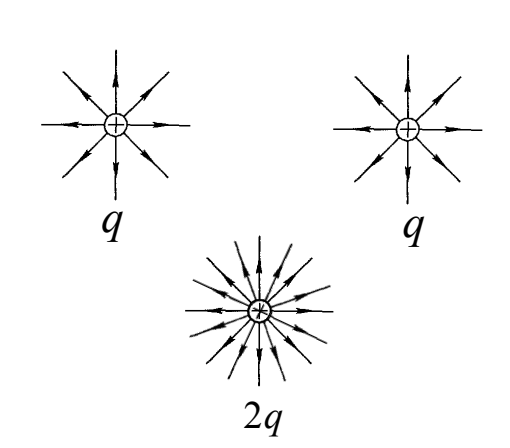
Связь между зарядом и потенциалом проводника. Электроёмкость.

$$\varphi(\vec{r}) = \int_{S} k \frac{\sigma(r')}{|\vec{r} - \vec{r}'|} dS', \quad q = \int_{S} \sigma(r') dS'$$
$$\varphi = \frac{1}{c} q$$

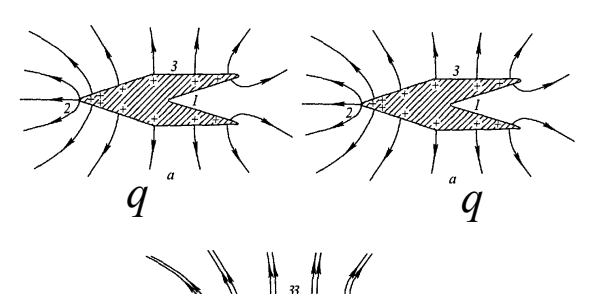
Электроемкость шара

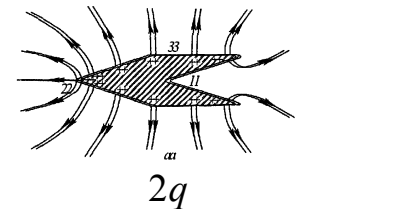
$$c = \frac{q}{\varphi} = \frac{q}{k\frac{q}{R}} = \frac{R}{k}, \quad c_{3emnu} = \frac{6.4 \cdot 10^6}{9 \cdot 10^9} \approx 0.7 \cdot 10^{-3} \Phi$$

$$4.12$$



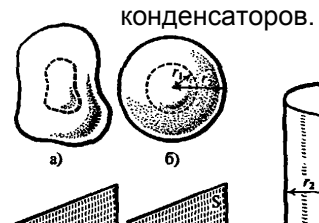
4.13

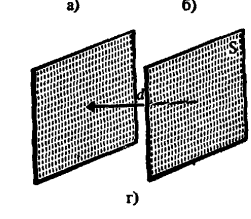


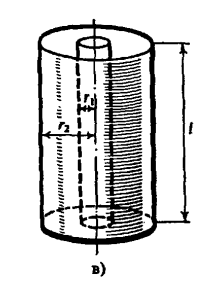


4.14

Конденсаторы. Ёмкость плоского, сферического и цилиндрического







Емкость конденсатора $c = \frac{q}{U} = \frac{q}{\varphi_1 - \varphi_2}$, Плоский конденсатор

$$c = \frac{q}{U} = \frac{\sigma S}{\frac{\sigma}{\varepsilon_0} d} = \frac{\varepsilon_0 S}{d},$$

Сферический кондесатор

$$c = \frac{q}{\varphi_1 - \varphi_2} = \frac{q}{\frac{1}{4\pi\varepsilon_0} \left(\frac{q}{R_1} - \frac{q}{R_2}\right)} = 4\pi\varepsilon_0 \frac{R_1 R_2}{R_2 - R_1},$$

Цилиндрический кондесатор

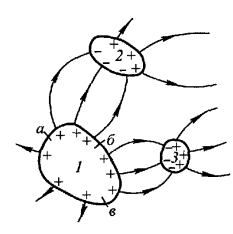
$$U = \frac{q}{2\pi\varepsilon_0} \ln \frac{R_2}{R_1}, \quad c = \frac{q}{U} = \frac{2\pi\varepsilon_0}{\ln \frac{R_2}{R_1}}$$

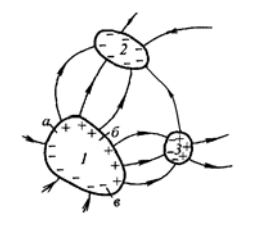
4.16

Потенциальные и емкостные коэффициенты

$$\varphi_i = \sum_j \alpha_{ij} q_j$$
, где $\alpha_{ij} = \alpha_{ji}$ - потенциальные коэфф.

$$q_{j} = \sum_{i} c_{ij} \varphi_{i}$$
, где $c_{ij} = c_{ji}$ - емкостные коэфф.





$$\varphi_2 \sim q_1, \ \varphi_3 \sim q_1; \quad \varphi_1 \sim q_2, \ \varphi_3 \sim q_2;$$

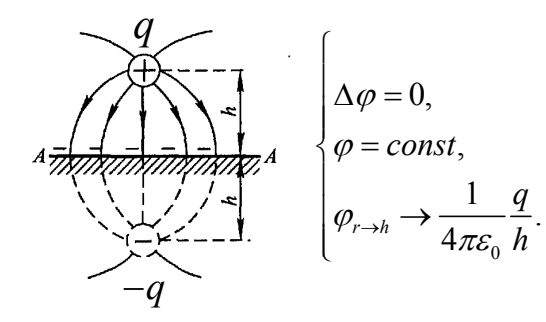
$$\varphi_i = \alpha_{i1}q_1, \qquad \varphi_i = \alpha_{i2}q_2,$$

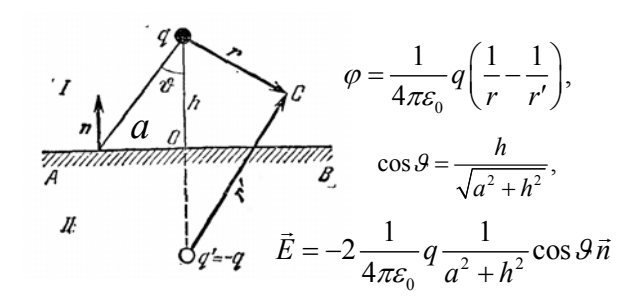
$$\varphi_i = \sum_i \alpha_{ij} q_j$$

4.18

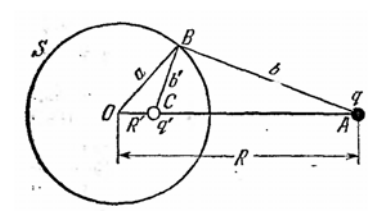
4.15

Метод изображений





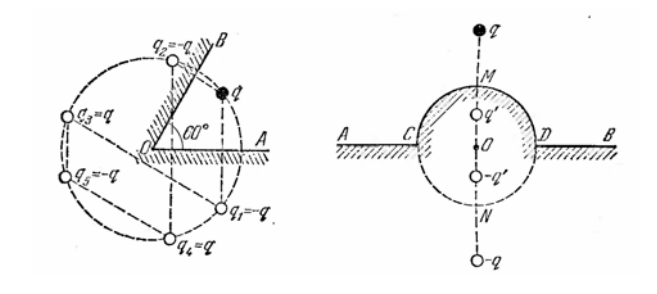
$$\sigma = \frac{E}{\varepsilon_0} = -2\frac{1}{4\pi\varepsilon_0^2} q \frac{1}{\left(a^2 + h^2\right)^{3/2}}, \quad q = \int_{\infty} \sigma dS.$$
4.20



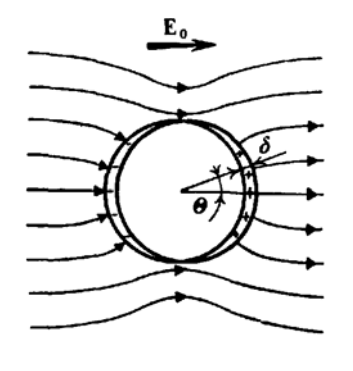
 $\triangle OBC \sim \triangle OBA, \Rightarrow R \cdot R' = a^2$.

Если
$$q' = -\frac{b'}{b}q = -\frac{a}{R}q$$
, то $\varphi(a) = 0$.

Вне сферы
$$\varphi = \frac{1}{4\pi\varepsilon_0} \left(\frac{q}{r} + \frac{q'}{r'} \right)$$
.



4.22

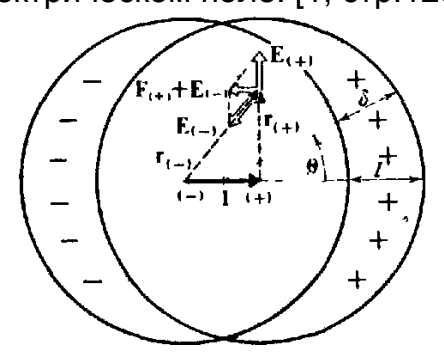


 $\mathbf{E}(\mathbf{r}) = [(\rho/(3\varepsilon_0)] \mathbf{r},$

4.23

4.26

Проводящий шар в однородном электрическом поле. [1, стр.125]



- F₍₊₎+E₍₋₎ F₍₊₎ + E₍₊₎ + E₍₋₎

 $\mathbf{E}_{(+)} = \left[|\rho|/(3\varepsilon_0) \right] \mathbf{r}_{(+)},$ $\mathbf{E}_{(-)} = -\left[|\rho|/(3\varepsilon_0) \right] \mathbf{r}_{(-)},$

$$E = \mathbf{E}_{(+)} + \mathbf{E}_{(-)} = [|\rho|/(3\varepsilon_0)] (\mathbf{r}_{(+)} - \mathbf{r}_{(-)}) = -[|\rho|/3\varepsilon_0)] \mathbf{I},$$

$$\rho \vec{l} = -3\varepsilon_0 \vec{E} = 3\varepsilon_0 \vec{E}_0, \qquad \sigma \Delta S = \rho \Delta S \delta,$$

$$\sigma = \rho \delta = \rho l \cos \theta = 3\varepsilon_0 E_0 \cos \theta.$$

$$σ = ρδ = ρl cos θ = 3ε0E0 cos θ,$$
τ με $δ = l cos θ$.
 $E_{-} = σ/ε$

$$E_n = \sigma/\varepsilon_0 = 3E_0\cos\theta,$$

4.25

Поле вне шара - это поле диполя с липольным моментом

$$\vec{p} = q\vec{l} = \frac{4}{3}\pi R^{3}\rho\vec{l} = \frac{4}{3}\pi R^{3}3\varepsilon_{0}\vec{E}_{0},$$

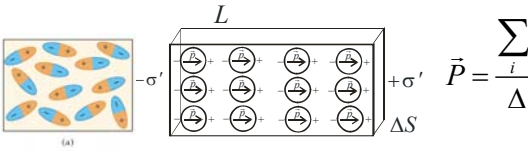
$$\vec{E} = \frac{1}{4\pi\varepsilon_{0}} \left(\frac{3(\vec{p}\vec{r})\vec{r}}{r^{5}} - \frac{\vec{p}}{r^{3}} \right) + \vec{E}_{0} =$$

$$= \left(1 - \left(\frac{R}{r} \right)^{3} \right) \vec{E}_{0} + \left(\frac{R}{r} \right)^{3} \frac{3(\vec{E}_{0}\vec{r})\vec{r}}{r^{2}}.$$

Лекция 5.

- Диэлектрики. Свободные и связанные заряды. Вектор поляризации. Связь вектора поляризации со связанными зарядами.
- Вектор электрической индукции в диэлектрике. Диэлектрическая проницаемость и диэлектрическая восприимчивость вещества. Материальное уравнение для векторов электрического поля.
- Теорема Остроградского Гаусса для случая диэлектриков. Её дифференциальная форма.
- Граничные условия для векторов напряженности и электрической индукции.
- Диэлектрический шар в однородном электрическом поле

Для характеристики поляризации диэлектрика вводят вектор поляризации

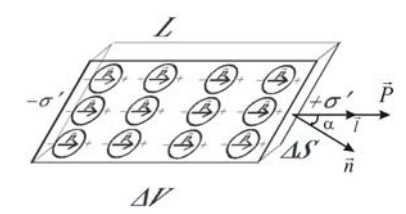




 σ' - связанные заряды.

Из рисунка видно, что $P_{n}\Delta V = \sigma'\Delta SL, \text{ то есть } P_{n} = \sigma'$

Связь вектора поляризации с поверхностными связанными зарядами.



$$\begin{split} \vec{p} &= q'L\vec{l} = \sigma'\Delta SL\vec{l}\;;\\ \vec{p} &= \vec{P}\Delta V = \vec{P}\Delta SL\cos\alpha = \underbrace{(\vec{P}\vec{n})}_{P_n}\vec{l}\;\Delta SL; \end{split} \Rightarrow \sigma' = (\vec{P}\vec{n}) = P_n; \end{split}$$

5.3

Для границы двух диэлектриков имеем $\sigma' = \sigma_1' - \sigma_2' = \sigma_1' \quad \sigma_2'$ $P_{1n} - P_{2n} = -\vec{n}(\vec{P}_2 - \vec{P}_1).$

5.4

Связь вектора поляризации с объемными связанными зарядами.

$$\oint_{S_{V}} \sigma' dS = -Q'_{V} = -\int_{V} \rho' dV;$$

$$\oint_{S_{V}} \sigma' dS = \oint_{S_{V}} \vec{P} \vec{n} dS = \oint_{S_{V}} \vec{P} d\vec{S} = \int_{V} \operatorname{div} \vec{P} dV;$$

$$\oint_{S_{V}} \vec{P} d\vec{S} = Q'_{V}, \quad \operatorname{div} \vec{P} = -\rho'.$$

5.5

Для объемной плотности связанных зарядов справедливы соотношения

$$\oint_{S_V} \vec{P} d\vec{S} = -\int_V \rho' dV,$$

$$\operatorname{div} \vec{P} = -\rho'$$
.

Вектор электрической индукци (смещения) в диэлектрике равен

теорема Остроградского — г аусса

для случая диэлектриков в

дифференциальной и интегральной

форме.

 $\operatorname{div}\vec{D} = \varepsilon_0 \underbrace{\operatorname{div}\vec{E}}_{\underline{\rho + \rho'}} + \underbrace{\operatorname{div}\vec{P}}_{-\rho'} = \rho;$

Дифференциальная форма - $\operatorname{div} \vec{D} = \rho$.

Интегральная форма - $\int_{c} \vec{D} d\vec{S} = \int_{V} \rho dV$.

$$\vec{D} = \varepsilon_0 \vec{E} + \vec{P}.$$

5.6

5.9

Материальное уравнение для векторов электрического поля.

$$\vec{P} = \vec{P}(\vec{E})$$
 или $\vec{D} = \vec{D}(\vec{E})$.

Для многих сред эту связь можно представить в виде

$$P_i = \varepsilon_0 \sum_{j=1}^3 \alpha_{ij} E_j + \varepsilon_0 \sum_{j=1}^3 \sum_{\kappa=1}^3 \alpha_{ijk} E_j E_k,$$

где α_{ij} — тезор линейно восприимчивости, α_{iik} — тезор нелинейно восприимчивости.

5.7

Диэлектрическая восприимчивость и диэлектрическая проницаемость вещества.

Для изотропного диелектрика $\alpha_{ij} = \delta_{ij} \alpha$, тогда имеем

$$\vec{P} = \varepsilon_0 \alpha \vec{E}$$
, $\vec{D} = \varepsilon_0 \vec{E} + \varepsilon_0 \alpha \vec{E} = \varepsilon_0 \varepsilon \vec{E}$, где по определению $\varepsilon = 1 + \alpha$, – отнисительная диэлектрическая проницаемость веществе.

5.8

Система полевых уравнений электростатики в бесконечной изотропной диэлектрической среде.

$$\begin{cases} \operatorname{div} \vec{D} = \rho, \\ \operatorname{rot} \vec{E} = 0. \end{cases} \begin{cases} \oint_{S_V} \vec{D} d\vec{S} = \int_{V} \rho dV \\ \oint_{V} \vec{E} d\vec{l} = 0. \end{cases}$$

Для изотропной среды $\vec{D} = \varepsilon_0 \varepsilon \vec{E}$, тогда

$$\begin{cases} \operatorname{div} \vec{E} = \frac{\rho}{\varepsilon_0 \varepsilon}, \\ \operatorname{rot} \vec{E} = 0. \end{cases} \begin{cases} \oint_{S_{\nu}} \vec{E} d\vec{S} = \frac{\int_{V} \rho dV,}{\varepsilon_0 \varepsilon} \\ \oint_{S_{\nu}} \vec{E} d\vec{l} = 0. \end{cases}$$

Из приведенных выше уравнений следует, что в изотропном бесконечном диэлектрике напряженность электрического поля, создаваемая свободными зарядами будет меньше в ε раз по сравнению с напряженностью поля сооздаваемими этими же зарядами в вакууме. ε_0

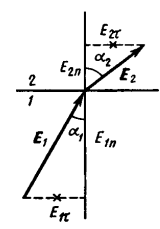
Граничныеусловия для векторов напряженности и электрической индукции

$$\begin{cases} D_{n_2} - D_{n_1} = \sigma, \\ E_{\tau_2} - E_{\tau_1} = 0. \end{cases}$$

где σ — плотность свободных поверхностных зарядов на границе двух диэлектриков.

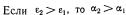
5.10

Преломление линий Е и D.



$$E_{2\tau} = E_{1\tau}$$
, $\varepsilon_2 E_{2n} = \varepsilon_1 E_{1n}$.

$$\frac{\operatorname{tg}\,\alpha_2}{\operatorname{tg}\,\alpha_1} = \frac{E_{2\tau}/E_{2n}}{E_{1\tau}/E_{1n}} = \frac{\epsilon_2}{\epsilon_1}.$$







напряженности (б) в пластине диэлек-5.12

Электрическое поле однородно поляризованного диэлектрического шара.

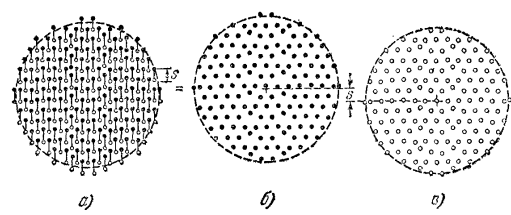


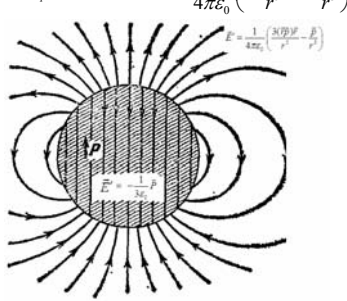
Рис. 9.25. Сфера с ориентированными молекулярными диполями (a) эквивалентна двум наложенным друг на друга несколько смещенным сферам, с положительными (δ) и с отрицательными амыми закрадами (a).

5.14

Поле внутри шара

$$\vec{E}_A' = \frac{1}{3\varepsilon_0} \rho \vec{r} - \frac{1}{3\varepsilon_0} \rho (\vec{r} + \vec{l}) = -\frac{1}{3\varepsilon_0} \rho \vec{l} = -\frac{1}{3\varepsilon_0} \vec{P},$$

$$\vec{p} = V_{uapa}\vec{P} = \frac{4}{3}\pi R_{uapa}^3 \rho \vec{l} \; , \; \text{to ectf} \; \vec{E}' = \frac{1}{4\pi\varepsilon_0} \bigg(\frac{3(\vec{r}\vec{p})\vec{r}}{r^5} - \frac{\vec{p}}{r^3} \bigg), \label{eq:power_power}$$



5.15

Диэлектрический шар в

однородном электрическом поле
$$\vec{E}_A' = \frac{1}{3\varepsilon_0} \rho \vec{r} - \frac{1}{3\varepsilon_0} \rho (\vec{r} + \vec{l}) = -\frac{1}{3\varepsilon_0} \rho \vec{l} = -\frac{1}{3\varepsilon_0} \vec{P},$$

$$\vec{P} = \varepsilon_0 \underbrace{\alpha}_{\varepsilon - 1} \underbrace{(\vec{E}_0 + \vec{E}')}_{\varepsilon}, \Rightarrow \vec{P} = \varepsilon_0 \alpha (\vec{E}_0 - \frac{1}{3\varepsilon_0} \vec{P}),$$

$$\vec{P} = 3\varepsilon_0 \frac{\alpha}{3+\alpha} \vec{E}_0 = 3\varepsilon_0 \frac{\varepsilon - 1}{\varepsilon + 2} \vec{E}_0.$$

 $\sigma' = P_n = P \cos \alpha$. Дипольный момент шара:

$$\vec{p} = \vec{P} \cdot \frac{4}{3} \pi R^3 = 4 \pi \varepsilon_0 R^3 \frac{\varepsilon - 1}{\varepsilon + 2} \vec{E}_0$$
, где R – радиус

шара. При $\varepsilon \to \infty$ - проводящий шар.

Электрическое поле однородно

поляризованного диэлектрического

шара.

 $= \rho \Delta S |\vec{l}| L =$ $= \rho |\vec{l}| \Delta SL =$ $= |\vec{P}| \Delta V. \Rightarrow$

 $\vec{P} = \rho \vec{l}$.

5.13

6.1

виутри и снаружи шара из

5.17

Фактор формы

$$\vec{E} = \vec{E}_0 + \vec{E}' = \vec{E}_0 - \frac{N}{\varepsilon_0} \dot{\vec{P}},$$

где N — Фактор формы.

Для шара
$$N = \frac{1}{3}$$
. $\xrightarrow{\bar{E}_0}$

Для басконечной пластины:

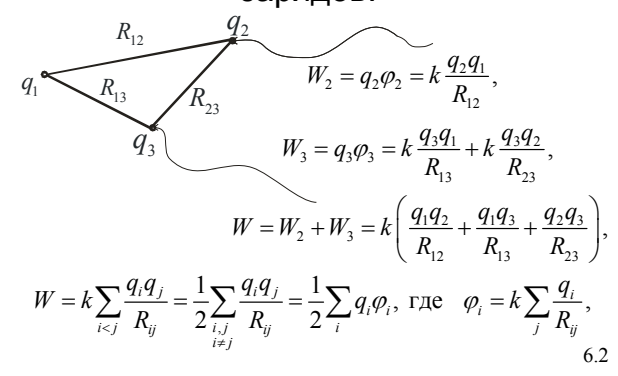
если $\vec{E}_0 \perp$ плоскости пластины N=1,

если $\vec{E}_0 \parallel$ плоскости пластины N=0. \vec{E}_0

Лекция 6.

- Энергия системы электрических зарядов. Энергия взаимодействия и собственная энергия. Энергия электростатического поля и её объемная плотность. Энергия электрического диполя во внешнем поле.
- Пондеромоторные силы в электрическом поле и методы их вычислений. Связь пондеромоторных сил с энергией системы зарядов.

Энергия системы электрических зарядов.



Энергия взаимодествия зарядов при наличии диэлектриков

$$W = \frac{1}{2} \sum_{i} q_{i} \varphi_{i}$$
, ho $\varphi_{i} \neq k \sum_{j} \frac{q_{i}}{R_{ij}}$.

Энергия взаимодествия зарядов при непрерывном распределении зарядов

$$W = \frac{1}{2} \int_{V} \rho \varphi dV.$$

Пример. Энергия конденсатора.

$$W = \frac{1}{2}q_1\varphi_1 + \frac{1}{2}q_2\varphi_2 = \frac{1}{2}q_1(\varphi_1 - \varphi_2) = \frac{1}{2}q_1U = \frac{cU^2}{2}.$$

6.3

Энергия системы заряженных проводников

$$W = \frac{1}{2} \sum_{i=1}^{n} q_i \varphi_i = \frac{1}{2} \sum_{i=1}^{n} \sum_{j=1}^{n} c_{ij} \varphi_j \varphi_i = \frac{1}{2} \sum_{i=1}^{n} \sum_{j=1}^{n} \alpha_{ij} q_i q_j.$$

Энергия электростатического поля и её объемная плотность.

$$+ \sigma \int_{C} e^{-t} dt = \frac{1}{2}cU^{2} = \frac{1}{2}\frac{\varepsilon_{0}\varepsilon S}{d}(Ed)^{2} = \frac{1}{2}\frac{\varepsilon_{0}\varepsilon E}{D} \cdot E \cdot \underbrace{Sd}_{V} = \frac{DE}{2}V.$$

$$w = \frac{W}{V} = \frac{\vec{D}\vec{E}}{2}.$$
6.4

Строгий вывод формулы для плотности энергии электростатического поля

$$W = \frac{1}{2} \int_{V} \rho \varphi dV = \frac{1}{2} \int_{\infty} \rho \varphi dV = \frac{1}{2} \int_{\infty} (\operatorname{div} \vec{D}) \varphi dV =$$

$$= \frac{1}{2} \int_{\infty} (\sum_{i=1}^{3} \frac{\partial D_{i}}{\partial x_{i}}) \varphi dV = \frac{1}{2} \int_{\infty} \left(\sum_{i=1}^{3} \frac{\partial (D_{i} \varphi)}{\partial x_{i}} - \sum_{i=1}^{3} D_{i} \frac{\partial \varphi}{\partial x_{i}} \right) dV =$$

$$= \frac{1}{2} \int_{S_{R \to \infty}} \varphi \vec{D} d\vec{S} + \frac{1}{2} \int_{\infty} \vec{D} \vec{E} dV = \int_{\infty} w dV, \quad \text{где } w = \frac{\vec{D} \vec{E}}{2}.$$
6.5

Энергия взаимодействия и собственная энергия.

- Собственная энергия заряженного телаэто энергия, обусловленная взаимодействием зарядов данного тела друг с другом.
- Энергия взаимодействия двух заряженных тел - это энергия, обусловленная взаимодействием зарядов одного тела с зарядами другого тела.

6.6

Рассмотрим для простоты два заряженных проводящих шара



Для взаимодействующих шаров

$$\begin{split} \varphi_{1} &= \varphi_{1}^{q_{1}} + \varphi_{1}^{q_{2}}, \, \varphi_{2} = \varphi_{2}^{q_{1}} + \varphi_{2}^{q_{2}}. \, W = \frac{1}{2} q_{1} \varphi_{1} + \frac{1}{2} q_{2} \varphi_{2} = \\ &= \underbrace{\frac{1}{2} q_{1} \varphi_{1}^{q_{1}}}_{W_{1}^{\text{coform.}}} + \underbrace{\frac{1}{2} q_{2} \varphi_{2}^{q_{2}}}_{W_{2}^{\text{coform.}}} + \underbrace{\frac{1}{2} q_{1} \varphi_{1}^{q_{2}} + \frac{1}{2} q_{2} \varphi_{2}^{q_{1}}}_{W_{\text{exalusod-elicmelus}}}. \end{split}$$

В рамках полевого формализма

$$\begin{split} \vec{E} &= \vec{E}_1 + \vec{E}_2 \;, \\ W &= \int_{\infty}^{\infty} \frac{\varepsilon_0 (\vec{E}_1 + \vec{E}_2)^2}{2} dV = \\ &= \int_{\infty}^{\infty} \frac{\varepsilon_0 \vec{E}_1^{\; 2}}{2} dV + \int_{\infty}^{\infty} \frac{\varepsilon_0 \vec{E}_2^{\; 2}}{2} dV + \int_{\infty}^{\infty} \varepsilon_0 \vec{E}_1 \vec{E}_2 dV \;. \\ &\underbrace{\underbrace{\underbrace{V_1^{cogen.}}_{V_1^{cogen.}}}_{V_1^{cogen.}}} \end{split}$$

При $R_{1,2} \to 0$, $W_{1,2}^{co6cm.} \to \infty$; $U^{e3aumod.} \le$ или > 0.

6.8

Энергия электрического диполя во внешнем поле.

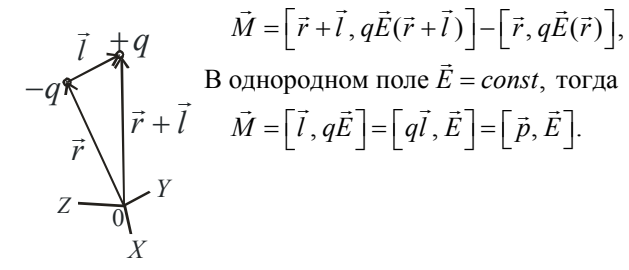
Пондеромоторные силы в электрическом поле и методы их вычислений. Силы, действующие на диполь.

$$\vec{F} = -\nabla W; \qquad F_i = -\frac{\partial W}{\partial x_i} = \frac{\partial}{\partial x_i} \vec{p} \vec{E} =$$

$$= \frac{\partial}{\partial x_i} \sum_{j=1}^3 p_j E_j = \frac{\partial}{\partial x_i} \sum_{j=1}^3 p_j \left(-\frac{\partial \varphi}{\partial x_j} \right) =$$

$$= \sum_{j=1}^3 \left(p_j \frac{\partial}{\partial x_j} \right) \left(-\frac{\partial \varphi}{\partial x_i} \right); \Rightarrow \vec{F} = (\vec{p} \nabla) \cdot \vec{E};$$

Момент силы, действующей на диполь



Объемная плотность силы, действующая на диэлектрик

Дипольный момент объема диэлектрика $\vec{p}_{\Delta V}$ выражается через вектор поляризации \vec{P}

$$\vec{p}_{\Delta V} = \vec{P} \Delta V$$
, тогда плотность силы

$$\vec{f} = \frac{\vec{F}_{\Delta V}}{\Delta V} = \frac{(\vec{p}_{\Delta V} \cdot \nabla)\vec{E}}{\Delta V} = (\underbrace{\vec{P}}_{\vec{P} = \varepsilon_0 \alpha \vec{E}} \cdot \nabla)\vec{E} = \varepsilon_0 \alpha (\vec{E} \cdot \nabla)\vec{E};$$

$$f_{i} = \varepsilon_{0} \alpha \left(\sum_{j=1}^{3} \frac{\partial \varphi}{\partial x_{j}} \frac{\partial}{\partial x_{j}} \right) \frac{\partial \varphi}{\partial x_{i}} = \varepsilon_{0} \alpha \sum_{j=1}^{3} \underbrace{\frac{\partial \varphi}{\partial x_{j}}}_{-E_{j}} \frac{\partial}{\partial x_{i}} \frac{\partial \varphi}{\partial x_{j}} = \underbrace{\varepsilon_{0} \alpha \sum_{j=1}^{3} \frac{\partial \varphi}{\partial x_{j}}}_{-E_{j}} \frac{\partial}{\partial x_{i}} \underbrace{\frac{\partial \varphi}{\partial x_{j}}}_{-E_{j}} = \underbrace{\varepsilon_{0} \alpha \sum_{j=1}^{3} \frac{\partial \varphi}{\partial x_{j}}}_{-E_{j}} \frac{\partial}{\partial x_{i}} \underbrace{\frac{\partial \varphi}{\partial x_{j}}}_{-E_{j}} = \underbrace{\varepsilon_{0} \alpha \sum_{j=1}^{3} \frac{\partial \varphi}{\partial x_{j}}}_{-E_{j}} \frac{\partial}{\partial x_{i}} \underbrace{\frac{\partial \varphi}{\partial x_{j}}}_{-E_{j}} = \underbrace{\varepsilon_{0} \alpha \sum_{j=1}^{3} \frac{\partial \varphi}{\partial x_{j}}}_{-E_{j}} \frac{\partial}{\partial x_{i}} \underbrace{\frac{\partial \varphi}{\partial x_{j}}}_{-E_{j}} = \underbrace{\varepsilon_{0} \alpha \sum_{j=1}^{3} \frac{\partial \varphi}{\partial x_{j}}}_{-E_{j}} \frac{\partial}{\partial x_{i}} \underbrace{\frac{\partial \varphi}{\partial x_{j}}}_{-E_{j}} = \underbrace{\varepsilon_{0} \alpha \sum_{j=1}^{3} \frac{\partial \varphi}{\partial x_{j}}}_{-E_{j}} \frac{\partial}{\partial x_{i}} \underbrace{\frac{\partial \varphi}{\partial x_{j}}}_{-E_{j}} = \underbrace{\varepsilon_{0} \alpha \sum_{j=1}^{3} \frac{\partial \varphi}{\partial x_{j}}}_{-E_{j}} \frac{\partial}{\partial x_{i}} \underbrace{\frac{\partial \varphi}{\partial x_{j}}}_{-E_{j}} = \underbrace{\varepsilon_{0} \alpha \sum_{j=1}^{3} \frac{\partial \varphi}{\partial x_{j}}}_{-E_{j}} \frac{\partial}{\partial x_{j}} \underbrace{\frac{\partial \varphi}{\partial x_{j}}}_{-E_{j}} = \underbrace{\varepsilon_{0} \alpha \sum_{j=1}^{3} \frac{\partial \varphi}{\partial x_{j}}}_{-E_{j}} \underbrace{\frac{\partial \varphi}{\partial x_{j}}}_{-E_{j}} = \underbrace{\varepsilon_{0} \alpha \sum_{j=1}^{3} \frac{\partial \varphi}{\partial x_{j}}}_{-E_{j}} \underbrace{\frac{\partial \varphi}{\partial x_{j}}}_{-E_{j}} = \underbrace{\varepsilon_{0} \alpha \sum_{j=1}^{3} \frac{\partial \varphi}{\partial x_{j}}}_{-E_{j}} \underbrace{\frac{\partial \varphi}{\partial x_{j}}}_{-E_{j}} = \underbrace{\varepsilon_{0} \alpha \sum_{j=1}^{3} \frac{\partial \varphi}{\partial x_{j}}}_{-E_{j}} + \underbrace{\varepsilon_{0} \alpha \sum_{j=1}^{3} \frac{\partial \varphi}{\partial x_{j}}}_{-E_{j}}}_{-E_{j}} + \underbrace{\varepsilon_{0} \alpha \sum_{j=1}^{3} \frac{\partial \varphi}{\partial x_{j}}}_{-E_{j}}}_{-E_{j}} + \underbrace{\varepsilon_{0} \alpha \sum_{j=1}^{3} \frac{\partial \varphi}{\partial x_{j}}}_{-E_{j}}}_{-E_{j}}}_{-E_{j}} + \underbrace{\varepsilon_{0} \alpha \sum_{j=1}^{3} \frac{\partial \varphi}{\partial x_{j}}}_{-E_{j}}}_{-E_{j}}}_{-E_{j}}$$

$$= \varepsilon_0 \alpha \sum_{j=1}^{3} \frac{\partial}{\partial x_i} \frac{E_j^2}{2} = \varepsilon_0 \alpha \frac{\partial}{\partial x_i} \sum_{j=1}^{3} \frac{E_j^2}{2} =$$

$$= \varepsilon_0 \alpha \frac{\partial}{\partial x_i} \frac{\vec{E}^2}{2}$$
. Окончательно имеем

$$\vec{f} = \varepsilon_0 \alpha \cdot \nabla \frac{E^2}{2} = \varepsilon_0 (\varepsilon - 1) \cdot \nabla \frac{E^2}{2} \ .$$

6.13

Связь пондеромоторных сил с энергией системы зарядов

Если в системе поддерживается T=const, деформация среды не меняется и $\varepsilon=const$, то

$$dW = dW_{\text{энергия, поступившая}\atop от внешних источников} + dA'_{\text{внешних сил}}$$

Для квазистатических перемещений

$$dA'_{\text{внешних сил}} = -dA_{\text{электрического поля}} = -\sum_{i=1}^n F_i d\xi_i,$$

где ξ_i - обобщенные координаты, F_i - обобщенные силы.

$$dW_{\text{мергия, поступившая}} = \sum_{j} \varphi_{j} dq_{j}.$$
 6.14

 $dW = \sum_{i} \varphi_{j} dq_{j} - \sum_{i=1}^{n} F_{i} d\xi_{i} .$

1) Если $q_i = const$, то

$$\sum_{i=1}^{n} F_{i} d\xi_{i} = -dW(\xi_{1}, \xi_{2}, \dots, \xi_{n}) = -\sum_{i=1}^{n} \frac{\partial W}{\partial \xi_{i}} \Big|_{q_{j} = const} d\xi_{i}.$$

$$F_{i} = -\frac{\partial W}{\partial \xi_{i}} \Big|_{q_{j} = const}.$$

6.15

2) Если $\varphi_i = const$, то

$$dW = \frac{1}{2} \sum_{j} \varphi_{j} dq_{j} .$$

Тогда

$$\sum_{i=1}^{n} F_{i} d\xi_{i} = dW(\xi_{1}, \xi_{2}, \dots, \xi_{n}) = \sum_{i=1}^{n} \frac{\partial W}{\partial \xi_{i}} \Big|_{\varphi_{j} = const} d\xi_{i}.$$

$$F_{i} = \frac{\partial W}{\partial \xi_{i}} \Big|_{\varphi_{i} = const}.$$

6.16

Пример. Вычислить силу притяжения пластин плоского конденсатора, помещенного в жидкий диэлектрик, если q = const.

$$W = \frac{cU^2}{2} = \frac{q^2}{2c} = \frac{q^2d}{2\varepsilon_0 \varepsilon S} ,$$

d - обобщенная коорината.

$$F_d = -\frac{\partial W}{\partial d}\bigg|_{q=const} = -\frac{q^2}{2\varepsilon_0 \varepsilon S} = -\frac{q}{2} \frac{\sigma}{\varepsilon_0 \varepsilon} = -\frac{q}{2} E \ .$$

В диэлектрике сила взаимодествия пластин уменьшилась в ε раз, то есть $F_d = F_d / \varepsilon$.

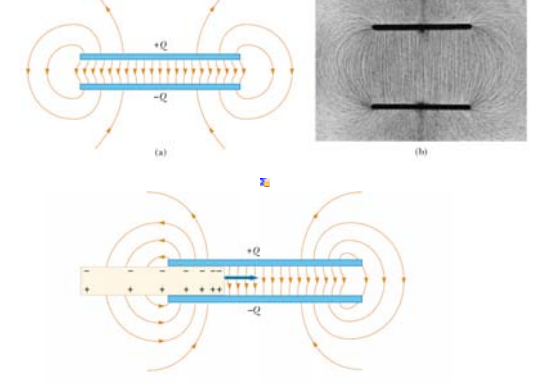
6.17

Лекция 7.

- Электронная теория поляризации диэлектриков. Локальное поле. Неполярные диэлектрики. Формула Клаузиуса – Мосотти. Полярные диэлектрики. Функция Ланжевена. Поляризация ионных кристаллов.
- Электрические свойства кристаллов.
 Пироэлектрики. Пьезоэлектрики. Прямой и обратный пьезоэлектрический эффект и его применение.
- Сегнетоэлектрики. Доменная структура сегнетоэлектриков. Гистерезис. Точка Кюри сегнетоэлектрика. Применение сегнетоэлектриков.

Электронная теория поляризации диэлектриков. Локальное поле.

- Поляризационные свойства диэлектриков определяются поляризационными особенностями отдельных молекул вещества.
- Все молекулы можно разделить на полярные и неполярные молекулы.
- У неполярных молекул в отсутствии внешнего электрического поля дипольный момент равен нулю. Полярные молекулы обладают собственным дипольным моментом.



Поляризация неполярных молекул.

 $\vec{p} = \varepsilon_0 \beta \vec{E}_0$, где β - поляризуемость молекулы. Для оценки можно рассматривать молекулу как проводящий шар с $R \sim 10^{-8}$ см, тогда $\vec{p} = 4\pi\varepsilon_0 R^3 \vec{E}_0$, $\beta = 4\pi R^3 \sim 4\pi 10^{-24} \text{ cm}^3$.

Элемент	Н	He	Li	Be	С	Ne	Na	Ar	K
$3 \cdot \frac{1}{4\pi} 10^{-24} c M^3$	0,66	0,21	12	9,3	1,5	0,4	27	1,6	34

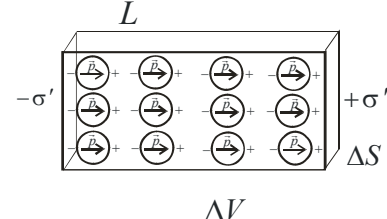
7.3

7.9

Микроскопическое и макроскопическое поле в веществе.

$$ec{E}_{{\scriptscriptstyle MAKPO.}} = \left\langle ec{E}(ec{r},t)_{{\scriptscriptstyle MUKPO.}}
ight
angle \Big|_{\Delta V} = rac{1}{\Delta V} \int\limits_{\Delta V} ec{E}(ec{r},t)_{{\scriptscriptstyle MUKPO.}} dV.$$

Поле в диэлектрике это $\vec{E} = \vec{E}_{\text{макро}}$



7.4

Локальное поле.

Локальное поле, действующее на молекулу отличается, от макроскопического поля в диэлектрике на поле самой молекулы

$$\vec{E}_{\scriptscriptstyle MOK.} = \vec{E} - \vec{E}_{\scriptscriptstyle MON.} \approx \vec{E}$$
.

Поляризуемость разреженных газов.

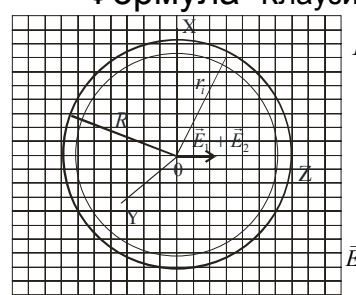
$$\vec{P} = \frac{\sum_{i} \vec{p}_{i}}{\Delta V} = \frac{N_{\Delta V}}{\Delta V} \vec{p}_{1} = n \cdot \vec{p}_{1} = n \cdot \varepsilon_{0} \beta \vec{E}_{0} = \varepsilon_{0} \underbrace{n \beta}_{} \vec{E}.$$

Таким образом имеем

$$\alpha = \varepsilon - 1 = n\beta$$
.

7.5

Формула Клаузиуса-Мосотти.



 $\vec{E} = \vec{E}_1 + \vec{E}_2$ где $E_1 = \sum E_{r_i > R}$,

$$\vec{E}_2 = \sum_i \vec{E}_{r_i \le R},$$

$$\vec{E}_2 = \frac{1}{4\pi\varepsilon_0} \sum_i \left(\frac{3(\vec{p}\vec{r}_i)\vec{r}_i}{r_i^5} - \frac{\vec{p}}{r_i^3} \right),$$

$$E_{2x} = \frac{1}{4\pi\varepsilon_0} \sum_{i} \frac{3(p_x x_i + p_y y_i + p_z z_i)x_i - p_x r_i^2}{r_i^5} = 0.$$

Так как для кубической симметрии при суммировании по сферическому слою

$$\sum_{i} (x_i^2 + y_i^2 + z_i^2) = \sum_{i} r_i^2,$$

$$\sum_{i} x_{i}^{2} = \sum_{i} y_{i}^{2} = \sum_{i} z_{i}^{2} = \frac{1}{3} \sum_{i} r_{i}^{2},$$

$$\sum_{i} x_i y_i = \sum_{i} z_i x_i = 0.$$

Аналогично доказывется, что

$$E_{2y} = E_{2z} = 0.$$

 $\vec{E}_1 = \vec{E} + \frac{1}{3\varepsilon_0}\vec{P}.$

Таким образом, вектор поляризации равен

$$\vec{P} = n \cdot \varepsilon_0 \beta \vec{E}_1 = n \varepsilon_0 \beta (\vec{E} + \frac{1}{3\varepsilon_0} \vec{P}). \Rightarrow$$

$$\vec{P} = \varepsilon_0 \left(\frac{n\beta}{1 - \frac{1}{3}n\beta} \right) \vec{E}; \Rightarrow \alpha = \frac{n\beta}{1 - \frac{1}{3}n\beta}.$$

7.8

7.11

Из этой формулы имеем

$$n\beta = 3\frac{\alpha}{3+\alpha} = 3\frac{\varepsilon-1}{\varepsilon+2}$$

Формула Клаузиуса - Мосотти.

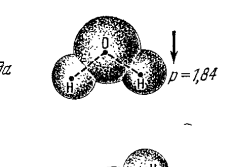
Так как
$$n = \frac{\rho_m}{\mu} N_A$$
, то $\beta N_A = \frac{\mu}{\rho_m} 3 \frac{\varepsilon - 1}{\varepsilon + 2}$ -

в широких пределах для неполярных диэлектриков не зависит от физических параметров (например, для СО₂ впплоть до 100 МПа при 100°С).

Полярные диэлектрики. Функция Ланжевена.











Поляризация газообразного полярного диэлектрика



Ориентировка диполя в сфрической системе координат

В соответствии с распределением Больцмана

$$dN = Ae^{-\frac{W}{K_ET}} \cdot do$$
, где $do = \sin\theta \cdot d\varphi \cdot d\theta$, $W = -\vec{p}\vec{E} = -pE\cos\theta$.

7.10

$$< p_z > = \frac{\int p_z dN}{\int dN} = \frac{\int_0^{\pi} p \cos\theta \cdot A e^{\frac{pE}{K_E T} \cos\theta} \cdot 2\pi \cdot \sin\theta \cdot d\theta}{\int_0^{\pi} A e^{\frac{pE}{K_E T} \cos\theta}} \cdot 2\pi \cdot \sin\theta \cdot d\theta}$$

$$I = \int_0^{\pi} e^{\frac{\zeta \cos\theta}{x}} \cdot \sin\theta \cdot d\theta = -\int_1^{-1} e^{\zeta x} \cdot dx = \frac{2}{\zeta} \operatorname{sh} \zeta,$$

$$\frac{dI}{d\zeta} = \int_0^{\pi} \cos\theta \cdot e^{\zeta \cos\theta} \cdot \sin\theta \cdot d\theta = \frac{d}{d\zeta} \left(\frac{2}{\zeta} \operatorname{sh} \zeta\right) =$$

$$= \frac{2}{\zeta} \left(\operatorname{ch} \zeta - \frac{\operatorname{sh} \zeta}{\zeta}\right);$$

$$712$$

В результате имеем

$$< p_z >= p \frac{\operatorname{ch} \zeta - \frac{\operatorname{sh} \zeta}{\zeta}}{\operatorname{sh} \zeta} = p \cdot L(\zeta),$$

где

$$L(\zeta) = {
m cth}\,\zeta - \frac{1}{\zeta}$$
 - функция Ланжевена.

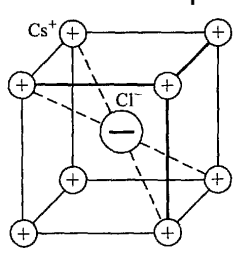
При $\zeta << 1$, $L(\zeta) = \frac{1}{3}\zeta + \cdots,$ $< p_z >= p\frac{\zeta}{3} = \varepsilon_0 \frac{1}{3\varepsilon_0} \frac{p^2}{K_E T} E = \varepsilon_0 \beta E,$

где eta - эффективная поляризуемость молекулы. Для разреженных газов вектор поляризации равен $\vec{P}=n<\vec{p}_1>=arepsilon_0$ \vec{p} $\vec{E}pprox arepsilon_0 lpha \vec{E}_0$.

7.14

Здесь
$$\alpha = \varepsilon - 1 = n\beta = \frac{np^2}{3\varepsilon_0 K_E T} = n\beta_0 + \frac{np^2}{3\varepsilon_0 K_E T},$$
 $n\beta_0$ - неполярная составляющая воспримчвости.

Поляризация ионных кристаллов.



В кристалических веществах возможно смещение положителной и отрицательной ионных подрешоток относительно друг друга под действием внешнего электрического поля. Такая поляризация называется ионной поляризацией.

Рис. 65. Элементарная ячейка кристалла хлористого цезия CsCl

Электрические свойства кристаллов. Пироэлектрики

У некоторых кристаллов в состоянии термодинамического равновесия решетки положительных и отрицательных ионов смещены, то есть они имеют спонтанную поляризацию, например, кристалл турмалина. (см. [3, Пироэлектричество])

7.16

7.13

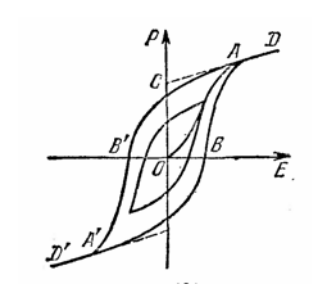
Пьезоэлектрики. Прямой и обратный пьезоэффект и его применение.

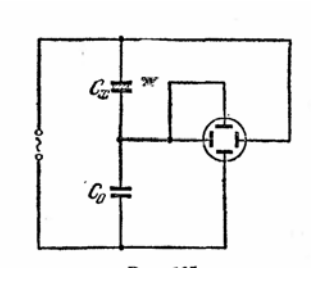
У ряд кристаллов при деформациях возникает электрическая поляризация (прямой пьезоэффект) и наоборот при наложении электрического поля происходит деформация (обратный пьезоэффект). К таким веществам относятся кристаллы кварца, турмалина, сегнетовой соли, титаната бария и многие другие (см.[3. пьезоэлектричество]).

Сегнетоэлектрики. Их основные свойства. Доменная структура сегнетоэлектриков.

Некоторые кристаллические вещества (сегнетовая соль $NaKC_4H_4O_6\cdot 4H_2O$, титанат бария $BaTiO_3$ и др.) в некотором диапазоне температур находятся в состоянии спонтанной поляризации. В отличии от пироэлектриков вектор спонтанной поляризации может легко ориентирован отнисительно слабым электрическим полем. Эти вещества (сегнетоэлектрики) в некотором диапазоне температур имеют гиганские значения диэл. проницаемости $\varepsilon \sim 10000$. Зависимость $\vec{P}(\vec{E})$ является нелинейной, то есть воспримчивость $\alpha(\vec{E})$. Процесс поляризации имеет гистерезис.

Гистерезис. Точка Кюри сегнетоэлектриков.





7.18

7.15



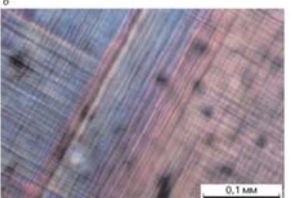
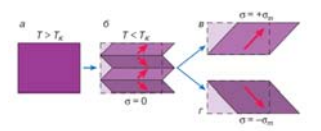
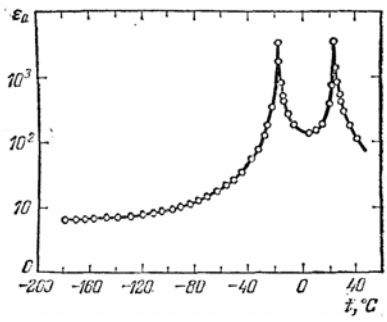


Рис. 3. Изображение доменной структуры монокри-сталлов титаната бария (a) и сегнетовой соли (б) в поляризованном свете



и перестройки (б-а: б-г) доменной стру;

7.21



Закон Кюри-Вейсса вблизи точек Кюри

$$\alpha = \frac{C'}{T'_K - T}, \qquad \alpha = \frac{C}{T - T_K}.$$

$$\alpha = \frac{C}{T - T_{K}}.$$

Для сегнетово соли $T'_{\kappa} = -18^{\circ} C$, $T_{\kappa} = 24^{\circ} C$. 7 22

7.23

Лекция 8.

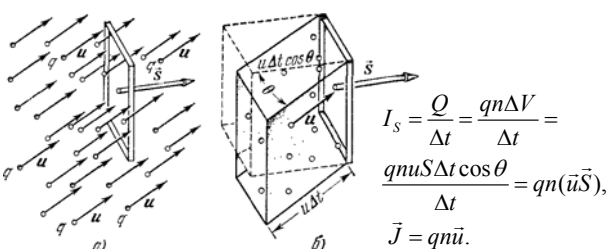
• Постоянный электрический ток. Сила и плотность тока. Линии тока. Электрическое поле в проводнике с током и его источники. Уравнение непрерывности. Условие стационарности тока. Электрическое напряжение. Закон Ома для участка цепи. Электросопротивление. Закон Ома в дифференциальной форме. Удельная электропроводность вещества.

8.1

Постоянный электрический ток. Сила и плотность тока

- Электрическим током называется любое упорядоченное движение электрических зарядов.
- Сила электрического тока через заданную поверхность определяется величиной заряда, проходящим через эту поверхность за единицу времени.
- Плотность тока это векторная величина. проекция которой на нормаль к элементарной поверхности равна величине электрического заряда, проходящего через единицу поверхности за единицу времени.

8.2



Применение сегнетоэлектриков.

• Сегнетоэлектрики находят широкое применение при

(компоненты тензора показателя преломления): это явление используется для управления световыми пучками (оптические затворы, модуляторы и умножители частоты лазерного излучения и т.д.).

изготовлении малогабаритных конденсаторов в качестве нелинейных элементов радиотехнических устройств, в технике ультразвука. Во внешнем электрическом поле изменяются преломляющие свойства сегнетоэлектрических кристаллов

(a) (b) (b) (b) (c) (d) (d)

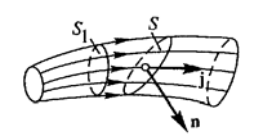
$$I_S = \sum_i q n_i (\vec{u}_i \vec{S}) = \vec{J} \vec{S}$$
, где $\vec{J} = \sum_i q n_i \vec{u}_i$ – плотность тока.

$$I_S = \sum_i q n_i (\vec{u}_i \vec{S}) = \vec{J} \vec{S}, \quad \text{где } \vec{J} = \sum_i q n_i \vec{u}_i - \text{плотность тока}.$$

$$\vec{J} = q \frac{\sum_i n_i \vec{u}_i}{n} n = q n < \vec{u} >, \quad \text{где } n = \sum_i n_i; \quad < \vec{u} > = \frac{\sum_i n_i \vec{u}_i}{n}.$$

Линии тока.

• Линии тока – это линии, касательные к которым направлены по направлению средней (или дрейфовой) скорости. Для стационарных токов вдоль этих линий движутся заряженные частицы.



Трубка тока

Уравнение непрерывности. Условие стационарности тока.

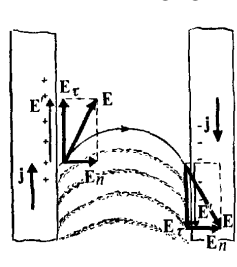
Согласно закону сохранения заряда

$$\frac{\partial}{\partial t}Q_V = \frac{\partial}{\partial t}\int_V \rho dV = -\oint_{S_{tot}} \vec{J}d\vec{S} = -\int_V \text{div} \vec{J}dV.$$

 $\frac{\partial \rho}{\partial t}$ + div \vec{J} = 0 – уравнение непрерывности.

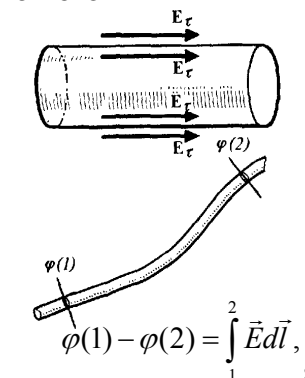
В стационарном случае $\partial \rho / \partial t = 0$, следователно $\operatorname{div} \vec{J} = 0$

Электрическое поле в проводнике с током и его источники.





Лемонстрация наличия нормальной составляющей напряженности поля вблизи поверхности проводника



Электрическое напряжение. Закон Ома для участка цепи. Электросопротивление.

Опыт показывает, что между током и напряжением на участке проводника существует однознчная зависимость I=f(U).

Для многих проводников эта зависимость линейная

$$I = \Lambda \cdot U = \frac{1}{R} \cdot U,$$

где Λ и R - электрическая проводимость и сопротивление. Единица сопротивления 10M=1B/1A=1B/A.

8.7

Удельное элекричесое сопротивление

$$R = \rho \frac{l}{S}.$$

Вещество	Удельное сопротивление $ ho$, Ом м	Вещество	Удельное со- противление ho, Ом м
Серебро	$(1,66-1,63)\cdot 10^{-8}$	10%-ный водный	0,0825
Медь тянутая	$1,78 ext{ } 10^{-8}$	раствор NaCl	
Платина	$11,0 \ 10^{-8}$	Химически чис-	$\sim 10^{6}$
Константан (сплав	$49,0 \ 10^{-8}$	тая вода	
60 % Cu, 40 % N1)		Стекло натровое	$\sim 10^9$
Нихром (67,5 % N ₁ ,	$110 \ 10^{-8}$	Фарфор	$\sim 10^{13}$
15 % Cr, 16 % Fe,		Янтарь, плав-	$> 10^{18}$
1,5 % Mn)		леный кварц	}
Графит	$\sim 3 \ 10^{-5}$	1	

8.8

Уделное сопротивление зависит от температуры $\rho = \rho_0 [1 + \alpha \cdot (t - t_0)],$

где α - температурный коэфицент сопротивления.

Для чистых металлов $\alpha \approx 1/273K^{-1} = 0.00367K^{-1}$.

Вещество	Температура, °С	Температурный коэффициент сопротивления α, K ⁻¹
Серебро	0-100	$40 \cdot 10^{-4}$
Медь	18	43 · 10-4
Платина	0-100	38 · 10 ⁻⁴
Константан	18	(от −0,4 до +0,1)·10 ⁻⁴ *)
10 %-ный водный раствор NaCl	18	-0,021
Графит	18	$-5 \cdot 10^{-4}$
Стекло	100	от −0,1 до −0,2

8.9

Сверхпроводимость.

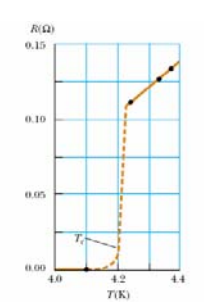
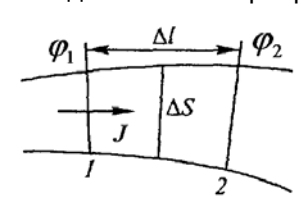


Figure 27.12 Resistance versus temperature for a sample of mercury (Hg). The graph follows that of a normal metal above the critical temperature T_c . The resistance drops to zero at T_c , which is 4.2 K for mercure

Critical Temperatures for Various Superconductors		
Material	$T_{e}(\mathbf{K})$	
HgBa₂Ca₂Cu₃O8	134	
Tl-Ba-Ca-Cu-O	125	
Bi-Sr-Ca-Cu-O	105	
YBa ₂ Cu ₃ O ₇	92	
Nb ₉ Ge	23.2	
Nb ₅ Sn	18.05	
Nb	9.46	
Pb	7.18	
Hg	4.15	
Sn	3.72	
Al	1.19	

8.10

Закон Ома в дифференциальной форме. Удельная электропроводность вещества.



$$\rho \frac{\Delta I}{\Delta S}$$

$$\frac{1}{\rho} \underbrace{\left(-\frac{d\varphi}{dl}\right)}_{E} \Delta S = \frac{1}{\rho} E \Delta S.$$

$$J = \frac{1}{\rho} E = \lambda E, \text{ где } \lambda = \frac{1}{\rho} -$$

 $I = J\Delta S = \frac{\varphi_1 - \varphi_2}{1}$

удельня электропроводность.

В векторной форме

$$\vec{J}=\lambda \vec{E}$$
 -

Закон Ома в дифференциальной форме.

8.11

Отсутствие в однородном проводнике объемных зарядов.

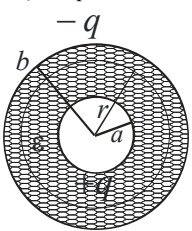
Для стационарных токов

$$\mathrm{div} \vec{J} = 0 = \mathrm{div}(\lambda \vec{E}) = \lambda \cdot \mathrm{div} \vec{E} + (\vec{E} \cdot \nabla \lambda).$$
 Если $\lambda = const$, то $\nabla \lambda = 0$. Следователно $\mathrm{div} \vec{E} = \rho_a / \varepsilon_0 = 0$.

Стационарные токи и электрическое поле в сплошных средах.

8.12

а) сопротивление сферического конденсатора с утечкой



$$E = \frac{1}{4\pi\varepsilon_0\varepsilon} \frac{q}{r^2}, \quad \varphi = \frac{1}{4\pi\varepsilon_0\varepsilon} \left(\frac{q}{r} - \frac{q}{b}\right),$$

$$\underbrace{\varphi_a - \varphi_b}_{U} = \frac{1}{4\pi\varepsilon_0\varepsilon} \left(\frac{q}{a} - \frac{q}{b}\right), \quad \underbrace{J}_{\lambda} = E, \Rightarrow$$

$$q = 4\pi\varepsilon_0\varepsilon r^2 \frac{J}{\lambda} = \frac{\varepsilon_0\varepsilon}{\lambda} I, \text{ где } I = 4\pi r^2 J.$$

$$U = \frac{1}{4\pi\varepsilon_{\circ}\varepsilon} \left(\frac{1}{a} - \frac{1}{b}\right) q = \frac{1}{4\pi\varepsilon_{\circ}\varepsilon} \left(\frac{1}{a} - \frac{1}{b}\right) \frac{\varepsilon_{\circ}\varepsilon}{\lambda} I = R \cdot I, \text{ где сопротивление}$$

$$R = \frac{1}{4\pi\lambda} \left(\frac{1}{a} - \frac{1}{b} \right)$$
. Заметим, что емкость сферичского конденсатора

$$C = 4\pi\varepsilon_0\varepsilon / \left(\frac{1}{a} - \frac{1}{b}\right)$$
 и $CR = \frac{\varepsilon_0\varepsilon}{\lambda}$ - униврсальное соотношение.

b) сопротивление сферического конденсатора с утечкой (см. [2, стр. 121]).

Лекция 9.

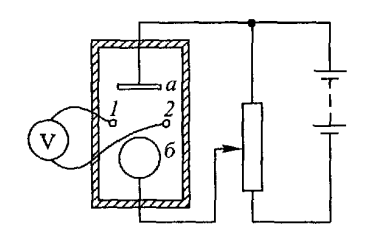
- Токи в сплошных средах. Заземление.
- Работа и мощность постоянного тока.
 Закон Джоуля Ленца и его дифференциальная форма. Сторонние силы. ЭДС. Закон Ома для замкнутой цепи.
- Разветвленные цепи. Правила Кирхгофа. Примеры их применения.

8.14

Электролитическая ванна.

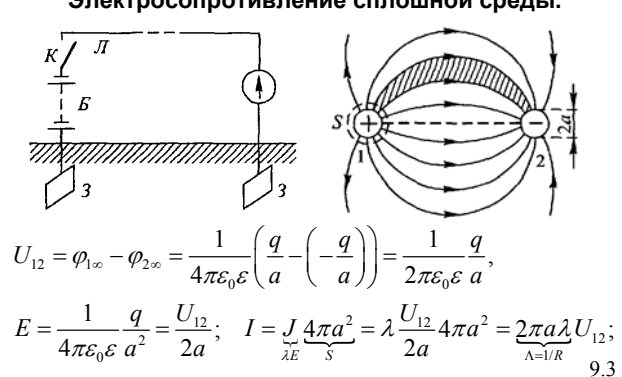
В слабопроводящей среде справедливо соотношение

$$CR = \frac{\varepsilon_0 \varepsilon}{\lambda}$$
. Так как $CR = \frac{q}{U} \frac{U}{I}$, то $q = \frac{\varepsilon_0 \varepsilon}{\lambda} I$.



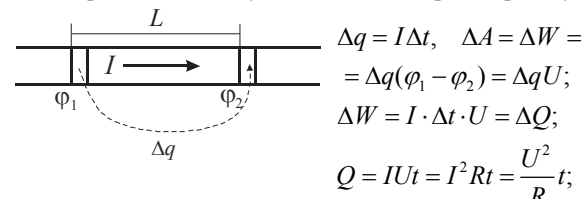
9.2

Заземление в линиях связи. Электросопротивление сплошной среды.



Работа и мощность постоянного тока. Закон Джоуля-Ленца и его дифференциальная форма.

Электрический ток в участке цепи совершает работу.



Мошность тока

$$P = \frac{A}{t} = \frac{Q}{t} = IU = I^2 R = \frac{U^2}{R}.$$

9.4

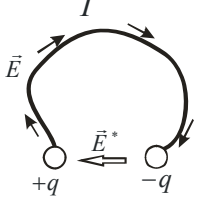
$\frac{\varphi_{1}}{J} \stackrel{\Delta l}{\longrightarrow} \frac{\varphi_{2}}{dt} = I^{2}R =$ $= (J\Delta S)^{2} \rho \frac{\Delta l}{\Delta S} =$ $= J^{2} \rho \cdot \underline{\Delta S \Delta l}.$

Закон Джоуля-Ленца в дифференциальной форме

$$\frac{1}{\Delta V}\frac{dQ}{dt} = J^2 \rho = J\frac{E}{\rho} \rho = JE = \vec{J}\vec{E}.$$

9.5

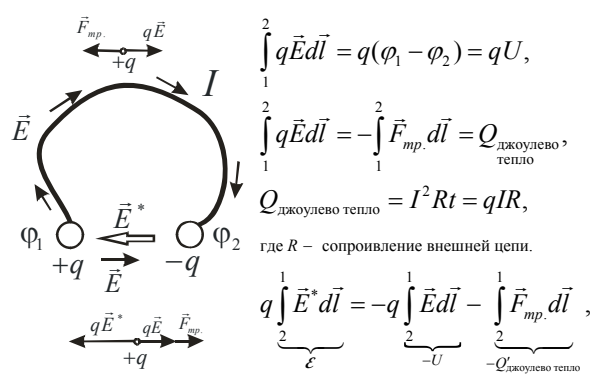
Сторонние силы. ЭДС.



Для поддержания электрического тока в замкнутой цепи необходимо устройство (источник тока), совершающее посредством сторонних сил перемещение зарядов против действия электрических сил.

 $ec{E}^*$ — сторонняя сила, действующая на единичный положительный заряд (напряженность сторонних сил), $ec{E}$ - напряженность электрических сил

9.6



 $Q'_{\text{джоулево тепло}}=qIr$, где r - внутреннее сопротивление цепи 3амечание. $Ir=I
ho[\frac{dl}{S}=\int_{\gamma}^{1}\rho\frac{I}{S}dl=\int_{\gamma}^{1}\rho\bar{J}d\bar{l}$ $\Rightarrow \rho\bar{J}=\bar{E}+\bar{E}^{*}$ 9.7

Врезультате имеем

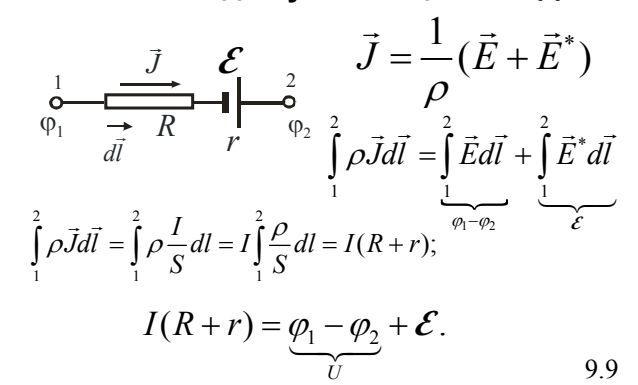
$$\mathcal{E} = U + Ir = IR + Ir$$

- закон Ома для замкнутой цепи.

Здесь $\mathcal{E} = \int\limits_{2}^{1} \vec{E}^{*} d\vec{l}$ - электродвижущая сила(ЭДС),

равная работе сторонних сил по перемещению единичного положительного заряда.

Закон Ома для участка цепи с ЭДС

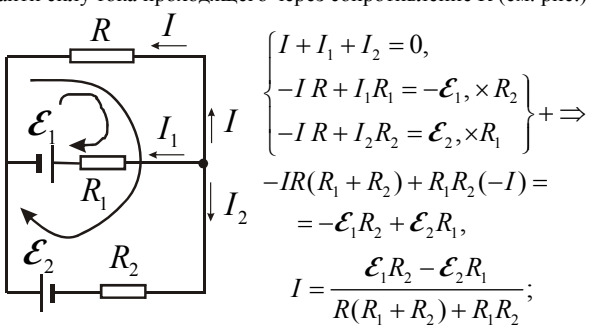


Правила Кирхгофа.

 $I_{6} \\ \mathcal{E}_{1} \\ R_{1} \\ I_{1} \\ I_{2} \\ I_{3} \\ I_{2} \\ I_{1} \\ I_{2} \\ I_{3} \\ I_{3} \\ I_{2} \\ I_{3} \\ I_{3} \\ I_{2} \\ I_{3} \\ I_{3} \\ I_{3} \\ I_{4} \\ I_{5} \\ I_{6} \\ I_{7} \\$

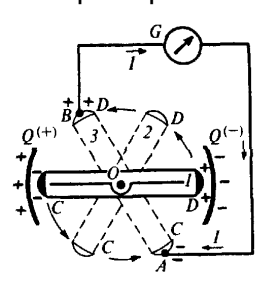
Пример применения правил Кирхгофа

Найти силу тока проходящего через сопротивление R (см. рис.)



9.11

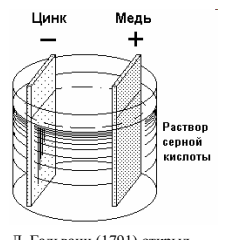
Примеры источников тока (ЭДС)



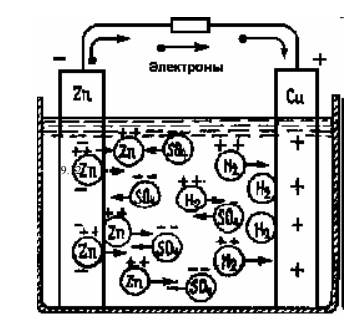
111 Схема электростатической машины

9.12

Гальванический элемент Вольта

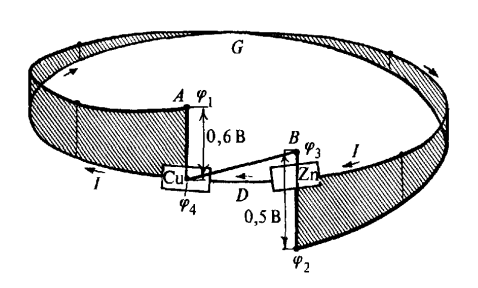


Л. Гальвани (1791) открыл электрический ток в мышцах лягушки. А. Вольт (1792) правильно объяснил происхож дение этого тока и создал химический элемент тока.



9.13

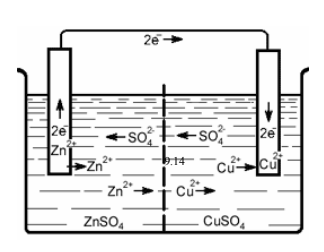
Изменение потенциала в цепи с гальваническим элементом.



9.14

9.17

Элемент Даниэля-Якоби



9.15

Свинцово- кислотный аккумулятор

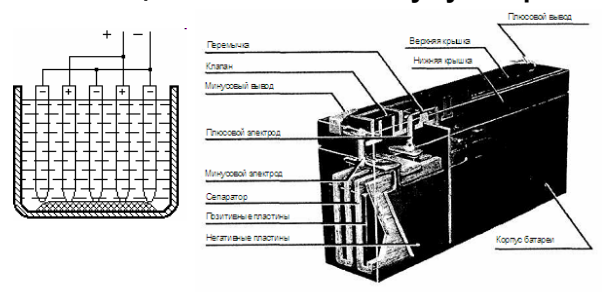


Рис. 3.2. Устройство VRL A батареи Panason

Решетчатые свинцовые пластины, заполненые пастой PbO, помещаются в 30% раствор H_2SO_4

9.16

Происходит реакция

$$PbO+H_{2}SO_{4} = PbSO_{4} + H_{2}O.$$

При зарядке ионы H^+ , двигаясь к катоду, приводят к реакции $PbSO_4 + 2H = Pb + H_2SO_4$.

Ионы SO_4^{2-} , достигая анода, встпают в реакцию $PbSO_4 + SO_4 = Pb(SO_4)_2$,

 $Pb(SO_4)_2 + 2H_2O \rightleftharpoons 2PbO_2 + 2H_2SO_4$.

При разрядке на свинцовом катоде ионы $SO_4^{2^-}$ из раствора $Pb + SO_4 = PbSO_4$.

На аноде идет обратимая рекция

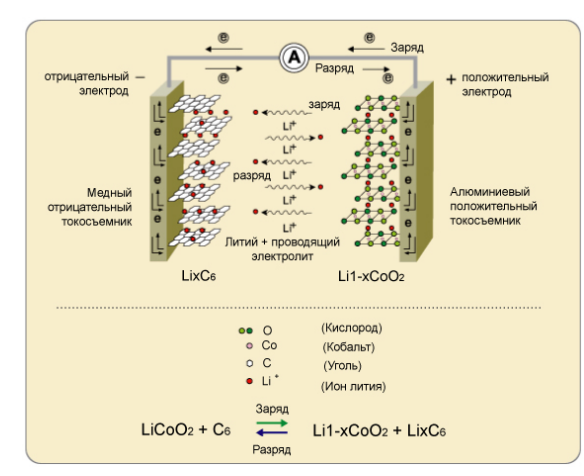
$$\label{eq:pbO2} \text{PbO}_2 + 2\text{H}_2\text{SO}_4 \rightleftarrows \text{Pb}(\text{SO}_4)_2 + 2\text{H}_2\text{O}.$$

Ионы ${\rm H^+}$ из раствора нейтрализуются на аноде и вступают в реакцию

Pb(SO₄)₂ + 2H = PbSO₄ + H₂SO₄.

Li-lon - литий-ионные аккумуляторы.

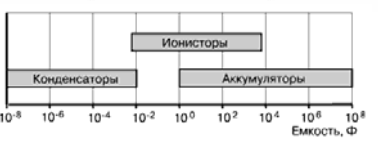
- Литий наиболее химически активный металл. На его основе работают современные источники питания для ноутбуков. Практически все высокоплотные источники питания используют литий в силу его химических свойств.
- Килограмм лития способен хранить 3860 амперчасов. Для сравнения, показатель цинка 820, свинца 260.
- В литий-ионных элементах ионы лития связаны молекулами графита С6 и литийкобальтоксида (LiCoO2)



9.18

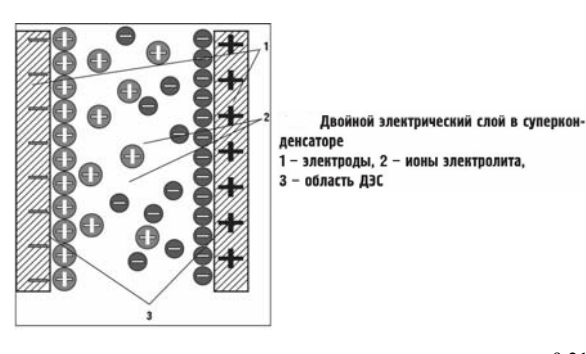
Сравнительные характеристики современных аккумуляторов

Источники тока	Энергетическая мощность (Вт*час/кг)	Срок службы (число циклов заряд — разряд)
Свинцово-кислотные аккумуляторы	30	300
Никель-кадиневые (Ni-Cd)	40-60	1500
Никель-металлгидридные (Ni-MH)	75	500
Ионно-литиевые аккумуляторы (Li-OH)	100	500
Полимерно-литиевые акнумуляторы	175	150



9.20

Суперконденсаторы(ионистеры).



9.21

Лекция 10.

- Электромагнетизм. Магнитостатика. Взаимодействие токов. Элемент тока. Закон Био – Савара – Лапласа и его полевая трактовка. Вектор индукции магнитного поля.
- Действие магнитного поля на ток. Закон Ампера.
- Теорема о циркуляции вектора индукции магнитного поля. Дифференциальная форма теоремы о циркуляции. Вихревой характер магнитного поля. Уравнение div $\mathbf{B} = 0$. Понятие о векторном потенциале.

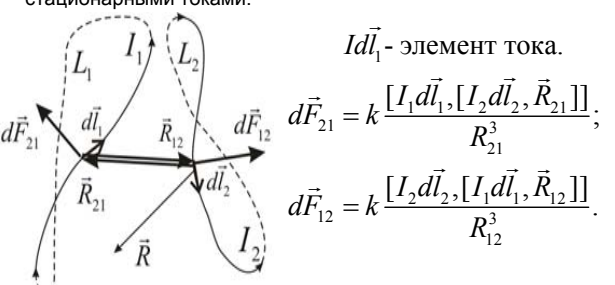
10.1

Магнитное взаимодействие.

• Исторически под магнитным взаимодействием понималось взаимодействие между намагниченным телом (намагниченный кусок железа) с другими железными телами. В 1820 году Х.К.Эрстед обнаружил, что магнитное взаимодействие может оказывать электрический ток. Поэтому под магнитными взаимодействиями понимается взаимодействие межу токами, магнитными телами. токами и магнитными телами. В рамках представлений близкодействия это взаимодействие осуществляет магнитное поле. Почти одновременно с Эрстедом Закон взаимодействия стационарных токов был открыт благодаря исследованиям Ампера. Био. Савара и Лапласа. 10.2

Магнитостатика. Взаимодействие токов. Элемент тока.

Магнитостатика изучает законы взаимодействия между неподвижными магнитными телами и проводниками со стационарными токами.



 $Id\vec{l}_1$ - элемент тока.

$$d\vec{F}_{21} = k \frac{[I_1 u I_1, [I_2 u I_2, R_{21}]]}{R_{21}^3};$$

$$d\vec{F}_{12} = k \frac{[I_2 d\vec{l}_2, [I_1 d\vec{l}_1, \vec{R}_{12}]]}{R_{12}^3}.$$

10.3

$$\vec{F}_{21} = k \int_{L_1} \int_{L_2} \frac{[I_1 d\vec{l}_1, [I_2 d\vec{l}_2, \vec{R}_{21}]]}{R_{21}^3};$$

$$\vec{F}_{12} = \int_{L_1} \int_{L_1} k \frac{[I_2 d\vec{l}_2, [I_1 d\vec{l}_1, \vec{R}_{12}]]}{R_{12}^3}.$$

Отметим, что $d\vec{F}_{21} \neq d\vec{F}_{12}$, однако для замкнутых токов $\vec{F}_{21} = \vec{F}_{12}$.

10.4

В абсолютной магнитной (электромагнитной) системе единиц СГСМ единица силы тока или заряда вибирается из условия k = 1 и обозначается 1СГСМ_{I} . Отношение

$$\frac{1 \text{СГСЭ}_{I}}{1 \text{СГСМ}_{I}} = c$$
 - электродинамическая постоянная,

равная скорости света $c = 3 \cdot 10^{10}$ см/с. В системе единиц СИ $k = \frac{\mu_0}{4\pi} = 10^{-7} \frac{\text{H}}{\text{A}^2}.$

$$d\vec{F}_{21} = [I_1 d\vec{l}_1, \underbrace{k \underbrace{\begin{bmatrix} I_2 d\vec{l}_2, \vec{R}_{21} \\ R_{21}^3 \end{bmatrix}}_{d\vec{R}_1}]; \quad d\vec{F}_{12} = [I_2 d\vec{l}_2, \underbrace{k \underbrace{\begin{bmatrix} I_1 d\vec{l}_1, \vec{R}_{12} \end{bmatrix}}_{R_{12}^3}].$$

Закон Био-Савара-Лапласа и его полевая трактовка. Вектор индукции магнитного поля. С точки зрения полевой трактовки взаимодействия

токов величину

$$d\vec{B}_2 = k \frac{[I_2 d\vec{l}_2, \vec{R}_{21}]}{R_{21}^3}$$

можно интерпретировать как силовую характеристику магнитного поля, создаваемого элементом тока I_2dl_2 в пространственной точке, определяемой \vec{R}_{21} . Эта величина называется вектором индукции магнитного поля элемента тока $I_2d\vec{l}_2$ в точке \vec{R}_{21} .

В произвольной точке пространства \vec{R} элемент тока $I_{z}d\vec{l}_{z}$ создаст магнитное поле с индукцией $d\vec{B}$, равной

$$d\vec{B} = \frac{\mu_0}{4\pi} \frac{[I_2 d\vec{l}_2, \vec{R}]}{R^3}.$$

Эта формула получила название закона Био-Савара-Лапласа.

Величина индукции магнитного поля \vec{B}_2 в точке \vec{R}_{21} , создаваемого током всего контура L, согласно принципу суперпозици равна

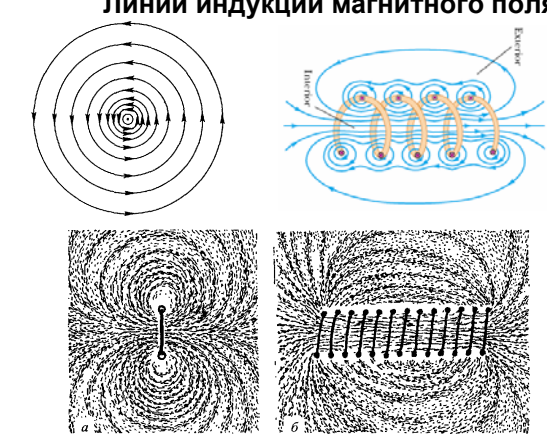
$$\vec{B}_2 = \sum d\vec{B}_2 = \frac{\mu_0}{4\pi} \int_{L} \frac{[I_2 d\vec{l}_2, \vec{R}_{21}]}{R_{21}^3} \ .$$

Тогда сила действия магн. поля \vec{B}_2 на элемент тока $I_1 d\vec{l}_1$ равна: $d\vec{F}_{21} = [I_1 d\vec{l}_1, \vec{B}_2]$ - закон Ампера (сила Ампера).

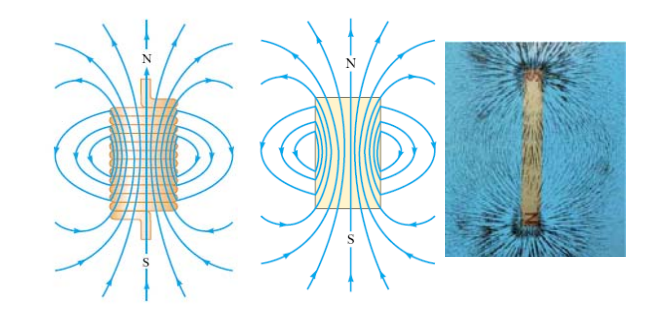
Пример расчета индукции магнитного поля с помощью закона Био-Савара-Лапласа.



Линии индукции магнитного поля

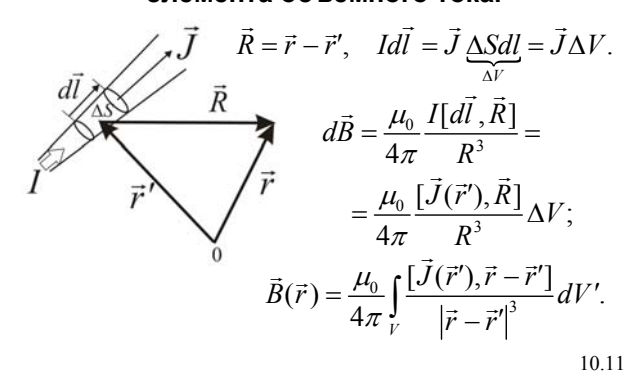


Линии магнитной индукции соленоида и полосового магнита идентичны.



10.10

Закон Био-Савара-Лапласа для элемента объемного тока.



Векторный потенциал магнитного поля тока.

$$\nabla_{\vec{r}} \frac{1}{\frac{R}{|\vec{r} - \vec{r}'|}} = -\frac{\vec{R}}{|R|^{3}}; \begin{cases} \frac{\partial}{\partial x} \frac{1}{((x - x')^{2} + (y - y')^{2} + (z - z')^{2})^{1/2}} = \\ = -\frac{1}{2} \frac{2(x - x')}{((x - x')^{2} + (y - y')^{2} + (z - z')^{2})^{3/2}} \end{cases}$$

$$\vec{B}(\vec{r}) = \frac{\mu_{0}}{4\pi} \int_{V} [\vec{J}(\vec{r}'), \frac{\vec{R}}{|R|^{3}}] dV' = \frac{\mu_{0}}{4\pi} \int_{V} [\nabla_{\vec{r}} \frac{1}{R}, \vec{J}(\vec{r}')] dV'$$

$$[\nabla_{\vec{r}} \frac{1}{R}, \vec{J}(\vec{r}')] = \begin{vmatrix} \vec{i} & \vec{j} & \vec{k} \\ \frac{\partial}{\partial x} \frac{1}{R} & \frac{\partial}{\partial y} \frac{1}{R} & \frac{\partial}{\partial z} \frac{1}{R} \\ J_{x} & J_{y} & J_{z} \end{vmatrix} = \begin{vmatrix} \vec{i} & \vec{j} & \vec{k} \\ \frac{\partial}{\partial x} & \frac{\partial}{\partial y} & \frac{\partial}{\partial z} \\ \frac{J_{x}}{R} & \frac{J_{y}}{R} & \frac{J_{z}}{R} \end{vmatrix} = [\nabla, \frac{\vec{J}}{R}] = \operatorname{rot}_{\vec{r}} \frac{\vec{J}}{R};$$

$$\vec{B}(\vec{r}) = \frac{\mu_0}{4\pi} \int_{V} \operatorname{rot}_{\vec{r}} \frac{\vec{J}}{R} dV' = \operatorname{rot}_{\vec{r}} \int_{\underbrace{V}} \frac{\mu_0}{4\pi} \frac{\vec{J}}{R} dV' = \operatorname{rot} \vec{A};$$

$$\vec{A}(r) = \int_V \frac{\mu_0}{4\pi} \frac{\vec{J}}{R} dV' - \left(egin{matrix} ext{векторный потенциал} \ ext{магнитного поля } \vec{B} = ext{rot } \vec{A}. \end{matrix}
ight)$$

1) Представление $\vec{B} = \text{rot } \vec{A}$ неднозначно, $\vec{A}' = \vec{A} + \operatorname{grad} \varphi$, так как $\operatorname{rot}(\operatorname{grad} \varphi) \equiv 0$.

10.13

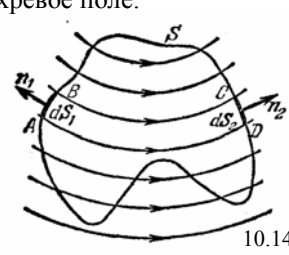
Вихревой характер магнитного поля.

2)
$$\operatorname{div} \vec{B} = \operatorname{div}(\operatorname{rot} \vec{A}) \equiv 0$$
, τακ κακ

$$\frac{\partial}{\partial x} \left(\frac{\partial A_z}{\partial y} - \frac{\partial A_y}{\partial z} \right) + \frac{\partial}{\partial y} \left(\frac{\partial A_x}{\partial z} - \frac{\partial A_z}{\partial x} \right) + \frac{\partial}{\partial z} \left(\frac{\partial A_y}{\partial x} - \frac{\partial A_x}{\partial y} \right) \equiv 0,$$

то есть магнитное поле вихревое поле.

По формуле Гаусса
$$\int\limits_{S_{-}} \vec{B} d\vec{S} = \int\limits_{V} \text{div} \vec{B} \cdot dV = 0.$$



3)
$$\operatorname{div}_{\vec{r}}\vec{A} = \operatorname{div}_{\vec{r}}\int_{V} \frac{\mu_{0}}{4\pi} \frac{\vec{J}(\vec{r}')}{|\vec{r} - \vec{r}'|} dV' = \frac{\mu_{0}}{4\pi}\int_{V} \operatorname{div}_{\vec{r}} \frac{\vec{J}(\vec{r}')}{|\vec{r} - \vec{r}'|} dV' =$$

$$= \frac{\mu_{0}}{4\pi}\int_{V} \left(-\operatorname{div}_{\vec{r}} \frac{\vec{J}(\vec{r}')}{|\vec{r} - \vec{r}'|} + \frac{1}{|\vec{r} - \vec{r}'|} \underbrace{\operatorname{div}_{\vec{r}}\vec{J}(\vec{r}')}_{\text{стационарного тока}} \right) dV' =$$

$$= -\frac{\mu_{0}}{4\pi}\int_{S} \frac{\vec{J}(\vec{r}')}{|\vec{r} - \vec{r}'|} d\vec{S}' = 0, \text{ так как } J_{n} = 0.$$

Имеем $\operatorname{div} \vec{A} = 0$.

Уравнение для векторного потенциала

$$ec{A}=rac{\mu_0}{4\pi}\int\limits_Vrac{ec{J}(ec{r}')}{\left|ec{r}-ec{r}'
ight|}dV'.$$
 Какому диффернциальному уравнению удовлетворяет эта функция?

Аналогия с электростатикой

$$\varphi(\vec{r}) = \frac{1}{4\pi\varepsilon_0} \int_{V} \frac{\rho(\vec{r}')}{|\vec{r} - \vec{r}'|} dV'; \implies \Delta \varphi = -\frac{\rho}{\varepsilon_0};$$

$$A(\vec{r})_x = \frac{\mu_0}{4\pi} \int_{V} \frac{J(\vec{r}')_x}{|\vec{r} - \vec{r}'|} dV'; \implies \Delta A_x = -\mu_0 J_x;$$

$$\Delta \vec{A} = -\mu_0 \vec{J}.$$

10.15

10.9

Теорема о циркуляции вектора индукции магнитного поля в дифференциальной и интегральной форме.

rot
$$\vec{B}$$
 = rot rot \vec{A} = grad $\underbrace{\text{div}}_{0}\vec{A}$ - $\underbrace{\Delta}_{-\mu_{0}\vec{J}}\vec{A}$ = $\mu_{0}\vec{J}$;

 $\cot ec{B} = \mu_0 ec{J}$. $\left\{ egin{align*} \begin{subarray}{ll} \bella \begin{subarray}{ll} \begin{subarray}{ll} \begin{subarray}{ll$

По формуле Стокса

$$\oint_{L} \vec{B} \cdot d\vec{l} = \int_{S_{t}} \operatorname{rot} \vec{B} \cdot d\vec{S} = \mu_{0} \int_{S_{t}} \vec{J} \cdot d\vec{S} = \mu_{0} \sum_{S_{L}} I;$$

10.17

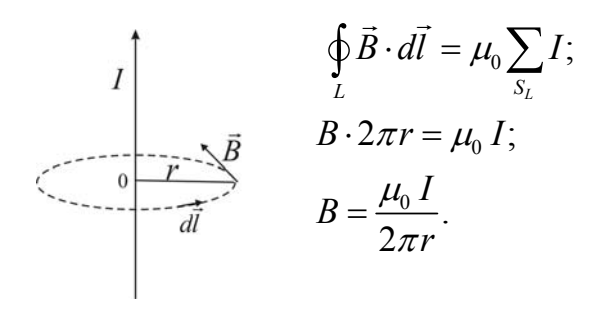
Система полевых уравнений магнитостатики в вакууме в дифференциальной и интегральной формах.

$$\begin{cases} \operatorname{div} \vec{B} = 0, \\ \operatorname{rot} \vec{B} = \mu_0 \vec{J}. \end{cases} \begin{cases} \int_{S_V} \vec{B} d\vec{S} = 0, \\ \oint_{L} \vec{B} \cdot d\vec{l} = \mu_0 \int_{S_L} \vec{J} \cdot d\vec{S}. \end{cases}$$
$$\int \rho dV$$

$$\begin{cases} \operatorname{div} \vec{E} = \frac{\rho}{\varepsilon_0}, & \begin{cases} \int\limits_{S_{\mathcal{V}}} \vec{E} d\vec{S} = \frac{\vec{V}}{\varepsilon_0}, \\ \operatorname{rot} \vec{E} = 0. \end{cases} \end{cases} \begin{cases} \int\limits_{S_{\mathcal{V}}} \vec{E} d\vec{S} = \frac{\vec{V}}{\varepsilon_0}, \\ \int\limits_{S_{\mathcal{V}}} \vec{E} \cdot d\vec{l} = 0. \end{cases} \end{cases} \begin{cases} \text{Система полевых уравнений }$$

10.18

Пример решения задач магнитостатики с помощью теоремы о циркуляции вектора индукции магнитного поля.



10.19

Магнитное поле тороида

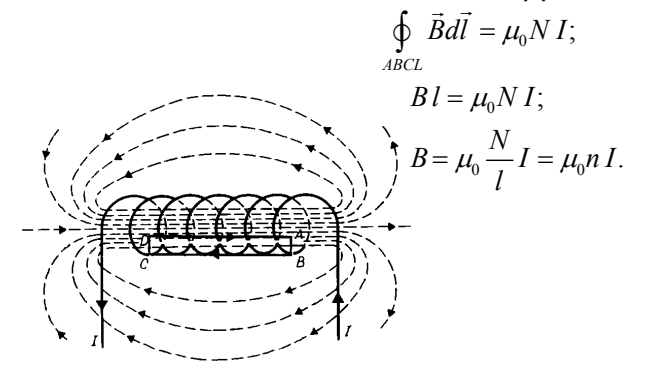


$$B \cdot 2\pi r = \mu_0 N I$$

$$B = \mu_0 \frac{N}{2\pi r} I = \mu_0 n I.$$

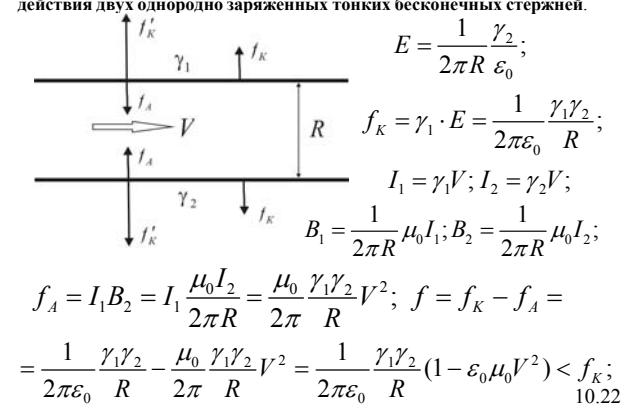
10.20

Магнитное поле соленоида



10.21

Релятивистская природа магнитных взаимодействий на примере взаимодействия двух однородно заряженных тонких бесконечных стержней.



Лекция 11.

• Элементарный ток и его магнитный момент. Поле элементарного тока. Магнитное поле движущегося заряда. Силы, действующие на токи в магнитном поле. Определение единицы силы тока — ампера. Элементарный ток в магнитном поле. Сила Лоренца. Эффект Холла.

Элементарный ток - это линейный замкнутый ток, обтекающий поверхность с бесконечно малыми линейными размерами.

Элементарный ток и его магнитный момент.

Векторный потенциал элементарного тока.

Учитывая, что для линейного тока $\vec{J}dV = Id\vec{l}$ $\vec{A} = \frac{\mu_0}{4\pi} \int_L \frac{Id\vec{l}'}{|\vec{r} - \vec{r}'|}; \quad A(\vec{r})_x = \frac{\mu_0}{4\pi} \int_L \frac{Idl'_x}{|\vec{r} - \vec{r}'|} = \frac{1}{4\pi\varepsilon_0} \frac{1}{c^2} \int_L \frac{Idl'_x}{|\vec{r} - \vec{r}'|}, \text{ где } c^2 = \frac{1}{\varepsilon_0\mu_0};$

$$\varphi(\vec{r}) = \frac{1}{4\pi\varepsilon_0} \int\limits_{V} \frac{\gamma(\vec{r}')dl'}{|\vec{r} - \vec{r}'|}; \qquad \text{Функция } A(\vec{r})_x \text{ равна } \varphi(\vec{r}) \\ \text{при } \gamma(\vec{r}')dl' = Idl'_x / c^2.$$

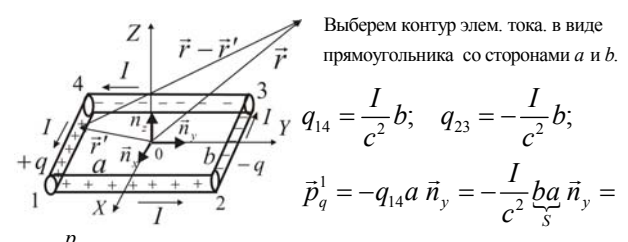
так как $l=l_0\sqrt{1-\frac{V^2}{c^2}}$, то $\gamma_1'=\frac{\gamma_1}{\sqrt{1-\frac{V^2}{c^2}}}; \gamma_2'=\frac{\gamma_2}{\sqrt{1-\frac{V^2}{c^2}}}.$ $f=\frac{1}{2\pi\varepsilon_0}\frac{\gamma_1\gamma_2}{R}\frac{(1-\varepsilon_0\mu_0V^2)}{1-\frac{V^2}{c^2}}.$ Если $\varepsilon_0\mu_0=\frac{1}{c^2},$ то $f=f_K'-f_A=f_K.$

На самом деле из-за релятивистских эффектов $f_{\kappa}' > f_{\kappa}$,

 $f_A = \frac{\mu_0}{2\pi} \frac{\gamma_1 \gamma_2}{R} V^2 = \underbrace{\frac{1}{2\pi\varepsilon_0} \frac{\gamma_1 \gamma_2}{R}}_{f} \underbrace{\varepsilon_0 \mu_0}_{\frac{1}{2}} V^2 = f_K \frac{V^2}{c^2}.$

Сила Ампера является релятивистской поправкой $\sim V^2/c^2$ к статической силе Кулона.

11.1

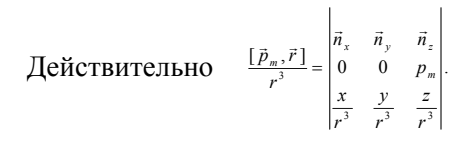


 $=-rac{p_m}{c^2}\vec{n}_y$, где $p_m=IS$ - магнитный момент элементарного тока.

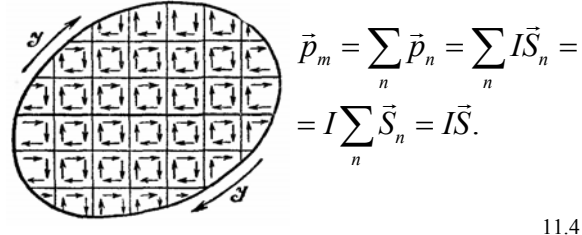
$$A_x = \varphi = \frac{1}{4\pi\varepsilon_0} \frac{\vec{p}_q^1 \vec{r}}{r^3} = -\frac{1}{4\pi\varepsilon_0} \frac{p_m y}{c^2 r^3}; \quad \text{Аналогично находим:} \\ A_y = \frac{1}{4\pi\varepsilon_0} \frac{p_m x}{c^2 r^3}; \quad A_z = 0.$$

Если ввести вектор $\vec{p}_m = p_m \vec{n}_z = I S \vec{n}_z$, то $\vec{A} = \frac{\mu_0}{4\pi} \frac{[\vec{p}_m, \vec{r}]}{r^3}$.

Здесь учтено равенство $c^2 = 1/\varepsilon_0 \mu_0$.



Элементарный ток произволной формы можно свести к совокупности прямоугольных элем. токов



Поле элементарного тока.

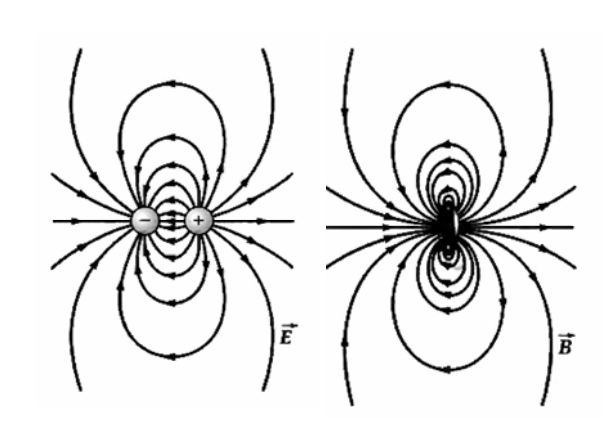
$$\vec{B} = \operatorname{rot} \vec{A} = [\nabla, \vec{A}] = [\sum_{\vec{a}}, \frac{\mu_0}{4\pi} [\vec{p}_m, \frac{\vec{r}}{r^3}]] =$$

$$= \frac{\mu_0}{4\pi} (\vec{p}_m (\nabla \frac{\vec{r}}{r^3}) - (\vec{p}_m \nabla) \frac{\vec{r}}{r^3});$$

$$(\nabla \frac{\vec{r}}{r^3}) = \frac{(\nabla \vec{r})}{r^3} + (\vec{r} \nabla \frac{1}{r^3}) = \frac{3}{r^3} - \frac{(\vec{r} \cdot 3\vec{r})}{r^5} = 0.$$

$$(\vec{p}_m \nabla) \frac{\vec{r}}{r^3} = \frac{(\vec{p}_m \nabla)\vec{r}}{r^3} + \vec{r} (\vec{p}_m \nabla) \frac{1}{r^3} = \frac{\vec{p}_m}{r^3} - \vec{r} (\vec{p}_m \frac{3\vec{r}}{r^5});$$

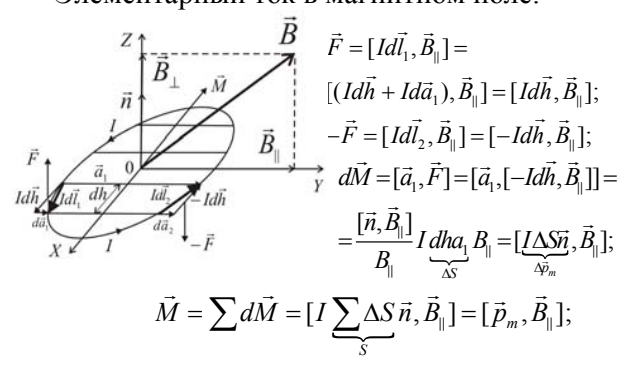
$$\vec{B} = \frac{\mu_0}{4\pi} (\frac{3(\vec{p}_m \vec{r})\vec{r}}{r^5} - \frac{\vec{p}_m}{r^3}).$$
11.5



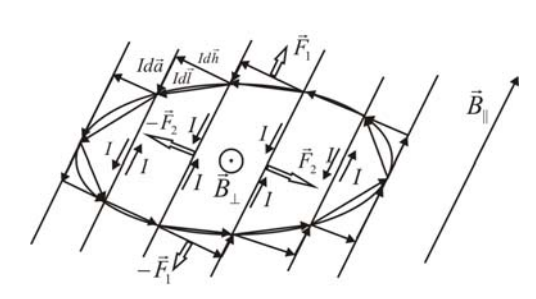
11.6

11.9

Элементарный ток в магнитном поле.



11.7

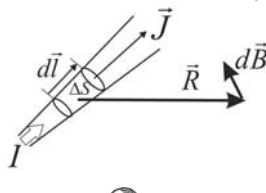


 $\vec{M} = \sum d\vec{M} = [I \sum_{S} \Delta S \vec{n}, \vec{B}_{\parallel}] = [\vec{p}_{m}, \vec{B}_{\parallel}] = [\vec{p}_{m}, \vec{B}_{\parallel} + \vec{B}_{\perp}] = [\vec{p}_{m}, \vec{B}];$

В однородном поле,сила действнющая на контур с током, равна $\vec{F} = \sum [\textit{Id}\vec{l}\;, \vec{B}] = \textit{I}[\sum \textit{d}\vec{l}\;, \vec{B}] = 0.$

11.8

Магнитное поле движущегося заряда



$$d\vec{B} = \frac{\mu_0}{4\pi} \frac{[\vec{J}, \vec{R}]}{R^3} dV;$$
$$\vec{J} = qn\vec{u};$$

$$d\vec{B} = \frac{\mu_0}{4\pi} \frac{[\vec{u}, \vec{R}]}{R^3} q \underbrace{ndV}_{N};$$

$$\vec{B} = \frac{d\vec{B}}{N} = \frac{\mu_0}{4\pi} q \frac{[\vec{u}, \vec{R}]}{R^3};$$

$$B = \frac{\mu_0}{4\pi} \frac{qu \sin \theta}{R^2};$$

Движущийся заряд создает элемент тока $q\vec{u}$.

$$\vec{B} = \frac{\mu_0}{4\pi} q \frac{[\vec{u}, \vec{R}]}{R^3} = \underbrace{\varepsilon_0 \mu_0}_{1/c^2} [\vec{u}, \underbrace{\frac{1}{4\pi\varepsilon_0} \frac{q\vec{R}}{R^3}}_{\vec{E}}] = \frac{1}{c^2} [\vec{u}, \vec{E}];$$

Силы, действующие на токи в магнитном поле. Сила Лоренца.

$$d\vec{F}_{\scriptscriptstyle A} = I[d\vec{l}\;,\vec{B}] = [\vec{J}\;,\vec{B}]dV\;;\;\; \vec{F}_{\scriptscriptstyle A} = I\!\int_L [d\vec{l}\;,\vec{B}] = \int_V [\vec{J}\;,\vec{B}]dV\;.$$

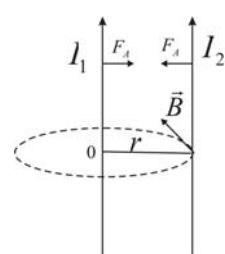
Так как элемент тока движущего заряда $Id\vec{l}=q\vec{u}$, то сила, действующая на движущий заряд в магнитном поле, равна

$$\vec{F} = q[\vec{u}, \vec{B}].$$

Если имеется и электрическое поле, то

$$\vec{F} = q\vec{E} + q[\vec{u}, \vec{B}]$$
 — Сила Лоренца.

Определение единицы силы тока — Ампера.



$$F_{A} = \mu_0 \frac{I_2 I_1}{2\pi r} L;$$

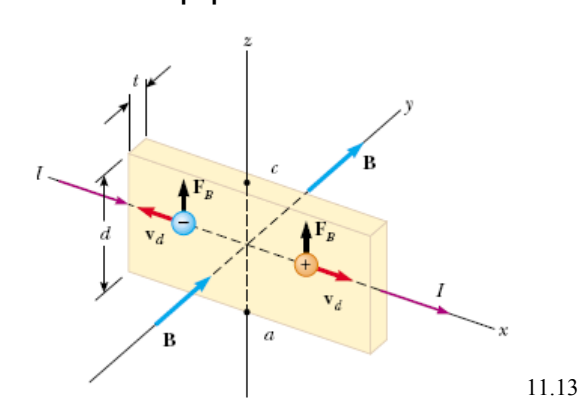
$$2 \cdot 10^{-7} H = \mu_0 \frac{1A \cdot 1A}{2\pi \cdot 1M} \cdot 1M; \Rightarrow$$

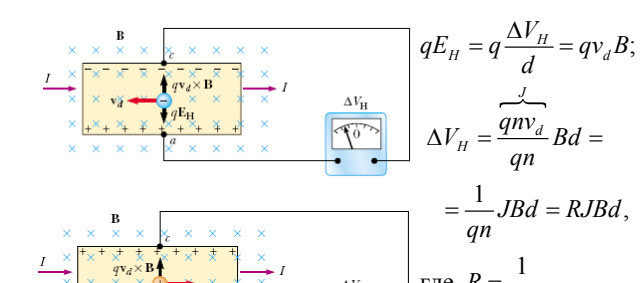
$$\mu_0 = 4\pi \cdot 10^{-7} \frac{H}{A^2} = 4\pi \cdot 10^{-7} \frac{\Gamma_H}{M};$$

$$\mu_0 = 4\pi \cdot 10^{-7} \frac{H}{A^2} = 4\pi \cdot 10^{-7} \frac{\Gamma_H}{M};$$

11.12

Эффект Холла.



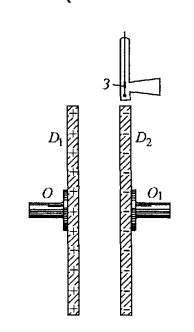


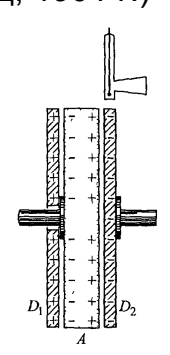
где $R = \frac{1}{qn}$ -

постоянная Холла.

11.14

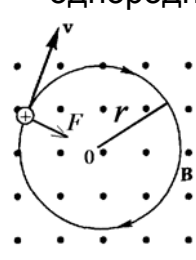
Опыты Роулонда и Эйхенвальда. (А.А.Эйхенвалд, 1901 г.)





11.15

Движение заряженных частиц в однородном магнитном поле.



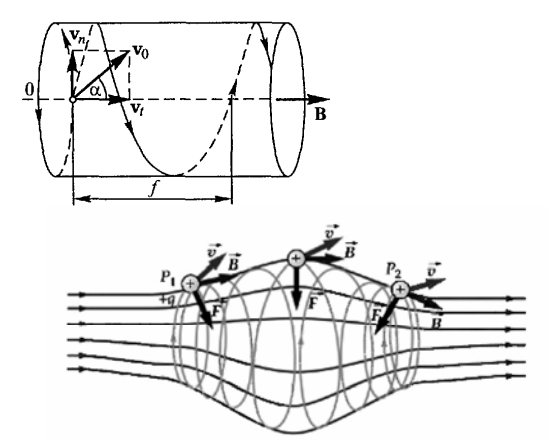
$$F = qvB;$$

$$m\frac{v^2}{r} = qvB; \Rightarrow r = \frac{mv}{qB};$$

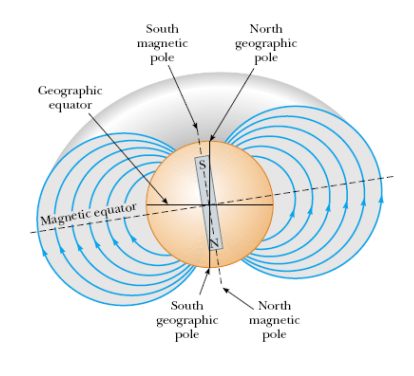
$$T = \frac{2\pi r}{v} = \frac{2\pi m}{qB};$$

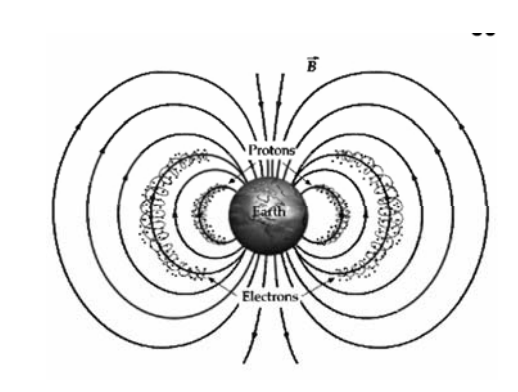
$$\omega_c = \frac{2\pi}{T} = \frac{q}{m}B.$$

11.16

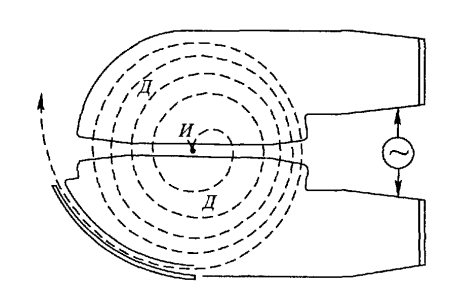


11.17





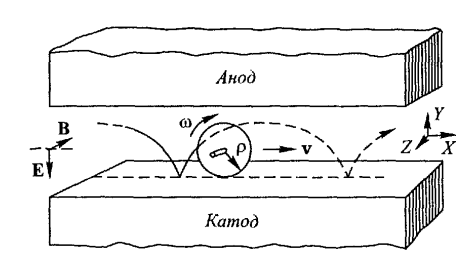
Принцип действия циклотрона



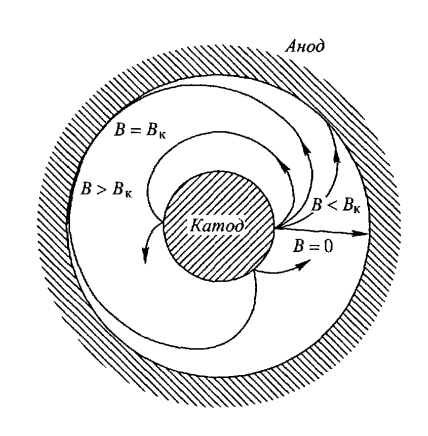
11.18

11.19

Магнетрон

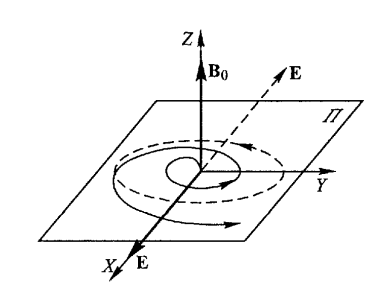


11.21



11.22

Циклотронный резонанс.



11.23

In an experiment designed to measure the magnitude of a uniform magnetic field, electrons are accelerated from rest through a potential difference of 350 V. The electrons travel along a curved path because of the magnetic force exerted on them, and the radius of the path is measured to be 7.5 cm.



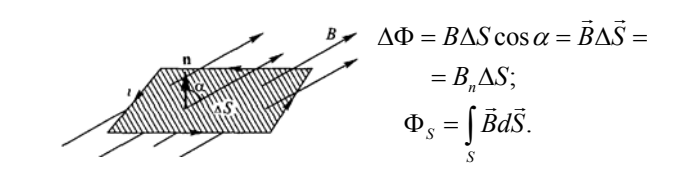
11.24

Лекция 12.

• Работа сил Ампера. Поток вектора магнитной индукции (магнитный поток). Потенциальная функция тока. Взаимодействие двух контуров с током. Коэффициент взаимной индукции двух контуров. Учет собственного поля уединенного контура с током. Коэффициент самоиндукции (индуктивность).

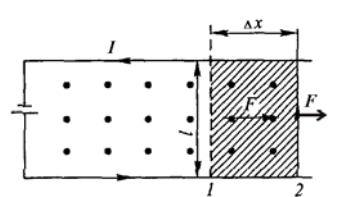
12.1

Поток вектора магнитной индукции (магнитный поток).



12.2

Работа сил Ампера. Потенциальная функция тока.



F = IlB, $\Delta A = F \Delta x =$ $= IBl\Delta x = I \underbrace{B\Delta S}_{BS_2 - BS_1} =$ $I(\Phi_2 - \Phi_1) = I\Delta\Phi$.

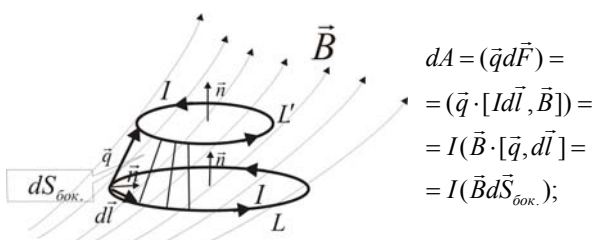
Определим потенциальную функцию тока

$$U = -I\Phi$$
 , тогда

 $\Delta A = F \Delta x = -\Delta U$, из этого соотношения имеем

$$F = -\frac{\Delta U}{\Delta x} = -\frac{\partial U}{\partial x}.$$

12.3



$$\begin{split} \Phi_L &= \int\limits_{S_L} \vec{B} d\vec{S}; \ \Phi_{L'} = \int\limits_{S_{L'}} \vec{B} d\vec{S}, \end{split} \qquad \Delta A = I \oint\limits_{S_{\delta o \kappa}} (\vec{B} d\vec{S}) = I \Delta \Phi_{\delta o \kappa} \\ \Phi_L &+ \Delta \Phi_{\delta o \kappa} = \Phi_{L'}; \Rightarrow \Phi_{L'} - \Phi_L = \Delta \Phi_L = \Delta \Phi_{\delta o \kappa}. \end{split}$$

Имеем $dA = Id\Phi_L = -dU_{I=const}$, где $U = -I\Phi_L$

Используя потенциальную или силовую функцию, можно рассчитать обобщенные силы, действующие на контур с током.

$$dA = \sum_{i=1}^{N} F_i d\xi_i = -dU(\xi_1, \xi_2, \dots, \xi_N) = -\sum_{i=1}^{N} \frac{\partial U}{\partial \xi_i} \bigg|_{I=const} d\xi;$$

$$F_i = -\frac{\partial U}{\partial \xi_i} \bigg|_{I=const}.$$

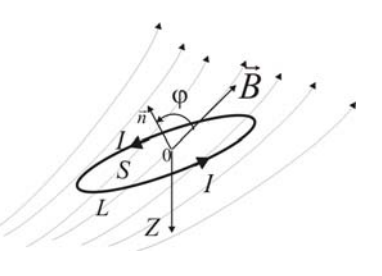
12.4

Пример
$$dA = M_z d\varphi =$$

$$= -\frac{\partial U}{\partial \varphi} d\varphi;$$

$$U = -I\Phi =$$

$$= -IBS \cos \varphi;$$



$$M_z = -\frac{\partial U}{\partial \varphi} = -\underbrace{IS}_{p_m} B \sin \varphi; \Rightarrow \vec{M} = [\vec{p}_m, \vec{B}];$$

12.6

Сила, действующая на контур с током в неоднородном магнитном поле.

Для элементарного тока, когда I=const и S=const , потуенциальная функция будет равна энергии взаимодействия элементарного тока или магнитного момента с внешним полем

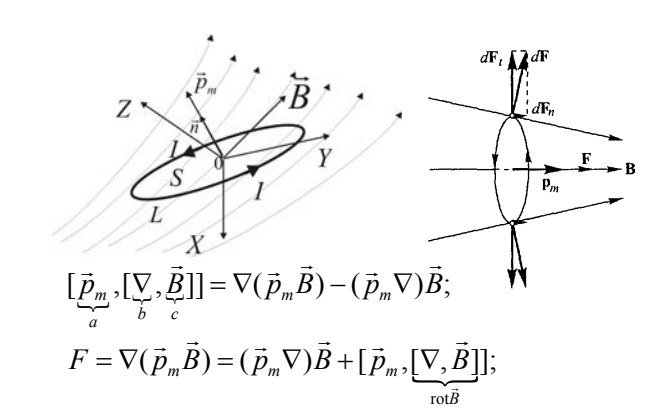
$$F_{x} = -\frac{\partial U}{\partial x};$$

$$U = W = -(\vec{p}_{m}\vec{B}); \Rightarrow F_{y} = -\frac{\partial U}{\partial y};$$

$$\vec{F} = -\nabla U = \nabla(\vec{p}_{m}\vec{B});$$

$$F_{z} = -\frac{\partial U}{\partial z};$$

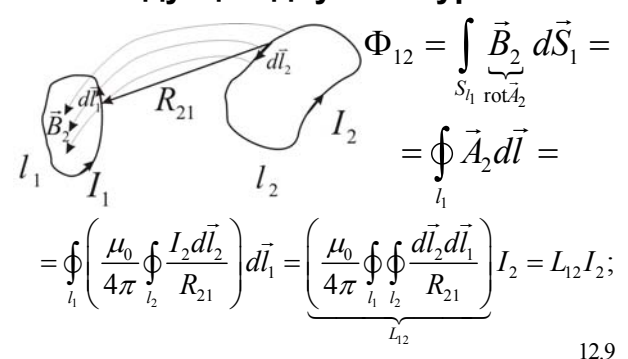
$$12.7$$



Если $\operatorname{rot} \vec{B} = 0$, то $F = (\vec{p}_m \nabla) \vec{B}$.

12.8

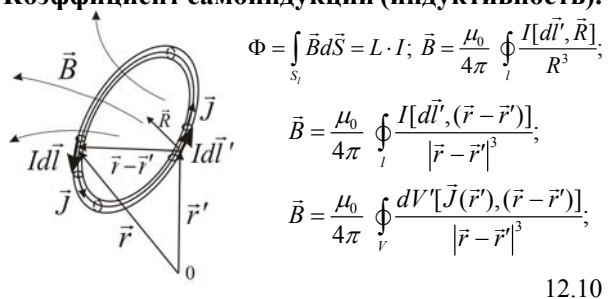
Коэффициент взаимной индукции двух контуров.



Аналогично получим

$$\Phi_{21} = L_{21}I_1$$
, где $L_{21} = L_{12}$.

Коэффициент самоиндукции (индуктивность).

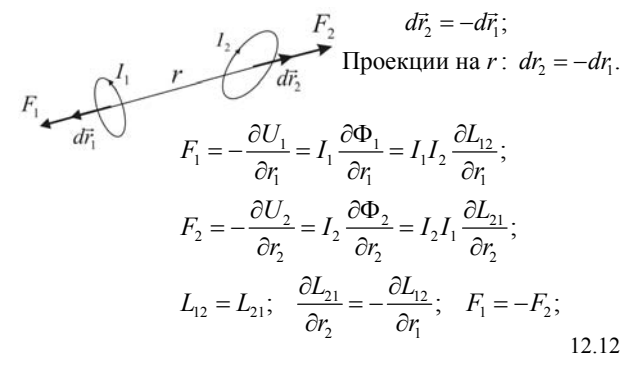


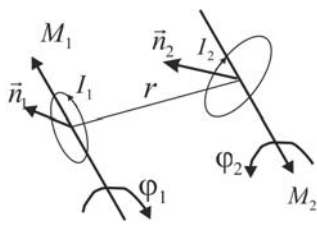
Коэффициенты индуктивности контуров с токами.

$$\begin{split} & \Phi_1 = L_{11}I_1 + L_{12}I_2; \quad \Phi_2 = L_{22}I_2 + L_{21}I_1; \\ & \Phi_i = \sum_j L_{ij}I_j; \quad L_{ij} = L_{ji}; \end{split}$$

12.11

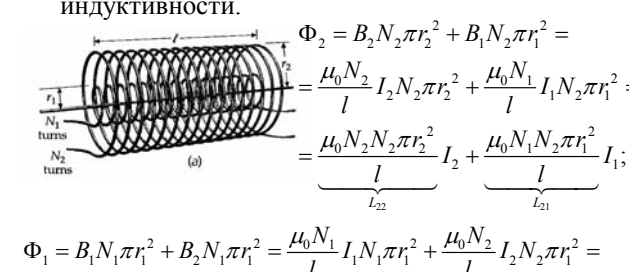
Взаимодействие двух контуров с током.





$$\begin{split} d\varphi_1 &= -d\varphi_2;\\ M_1 &= -\frac{\partial U_1}{\partial \varphi_1} = I_1 \frac{\partial \Phi_1}{\partial \varphi_1} = I_1 I_2 \frac{\partial L_{12}}{\partial \varphi_1};\\ M_2 &= -\frac{\partial U_2}{\partial \varphi_2} = I_2 \frac{\partial \Phi_2}{\partial \varphi_2} = I_2 I_1 \frac{\partial L_{21}}{\partial \varphi_2};\\ \text{так как } \frac{\partial L_{12}}{\partial \varphi_2} &= -\frac{\partial L_{12}}{\partial \varphi_1}; \quad M_1 = -M_2; \end{split}$$

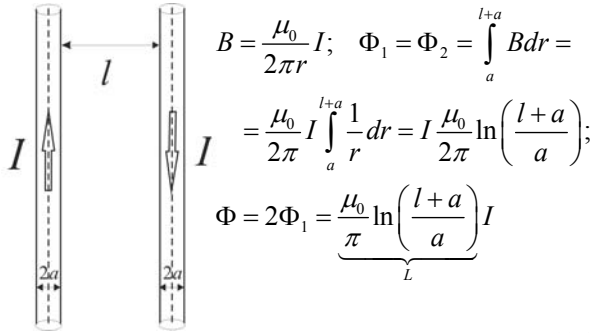
Пример задачи на вычисление коэффициентов индуктивности.



$$\Phi_{1} = B_{1}N_{1}\pi r_{1}^{2} + B_{2}N_{1}\pi r_{1}^{2} = \frac{\mu_{0}N_{1}}{l}I_{1}N_{1}\pi r_{1}^{2} + \frac{\mu_{0}N_{2}}{l}I_{2}N_{2}\pi r_{1}^{2} =$$

$$= \underbrace{\frac{\mu_{0}N_{1}N_{1}\pi r_{1}^{2}}{l}}_{L_{11}}I_{1} + \underbrace{\frac{\mu_{0}N_{2}N_{1}\pi r_{1}^{2}}{l}}_{L_{12}}I_{2}; \quad L_{12} = L_{21};$$
12

Индуктивность двухпроводной линии из пустотелых проводников.



12.15

13.3

13.6

Лекция 13.

- Электромагнитная индукция. Закон электромагнитной индукции Фарадея и его формулировка в дифференциальной форме. Правило Ленца. Индукционные методы измерения магнитных полей. Токи Фуко.
- Явление самоиндукции. Экстратоки замыкания и размыкания.
- Магнитная энергия тока. Магнитная энергия системы контуров с током. Энергия магнитного поля. Её объемная плотность.

13.1

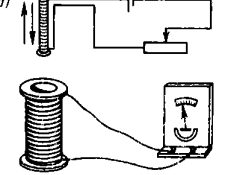
13.4

Электромагнитная индукция.



М. Фарадей в 1831 году экспериментально открыл явление электромагнитной индукции, состоящее в возникновении электрического тока в замкнутом проводнике при изменении потока магнитной индукции, охватываемого контуром.



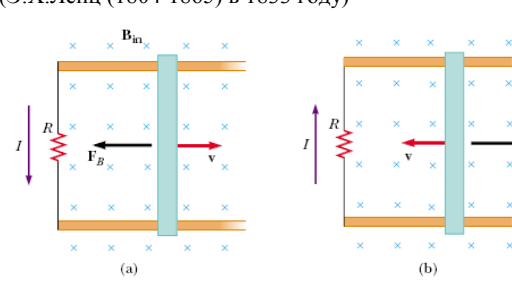


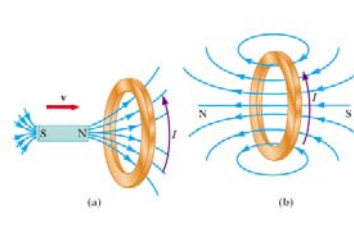
13.2

Anumeter (a) (b)

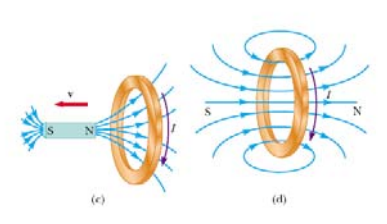
Правило Ленца.

Индукционный ток всегда имеет такое направление, что он ослабляет действие причины, возбуждающей этот ток. (Э.Х.Ленц (1804-1865) в 1833 году)





Индукционный ток направлен так, что создаваемое им поле препятствует изменению магнитного потока.



13.5

Закон электромагнитной индукции Фарадея и его формулировка в интегральной форме.

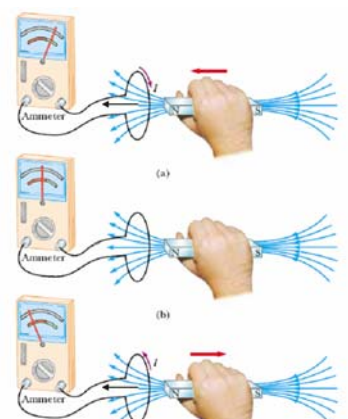
Современную математическую форму закона электромагнитной индукции Фарадея предложил в 1845 году Ф.Э.Нейман (1798-1895).

$$\mathcal{E} = f \frac{d\Phi}{dt}$$
,

где f - множитель пропорциональности, зависящий от выбора единиц. В системе единиц СИ f = 1.

$$\mathscr{E} = -\frac{d\Phi}{dt},$$

где знак минус согласует знаки ЭДС индукции и изменения потока магнитной индукции.



Выбор положительной нормали к поверхности контура определяет положительное направление проекции вектора индукции магнитного поля (положительное значение потока магнитного поля) и тока (или ЭДС) индукции. В приведенной записи закон электромагнитной индукции соответствует правилу Ленца.

1) ЭДС индукции в движущихся проводниках.

Вывод формулы для ЭДС индукции:

Сила Лоренца: $\vec{F} = q[\vec{v}, \vec{B}] - q[\vec{v}$

$$\mathcal{E}^{un\partial.} = \int_{G}^{D} \vec{E}_{cm.} d\vec{l} = \int_{G}^{D} ([\vec{v}, \vec{B}] \cdot d\vec{l}) = vBl = \frac{d(xBl)}{dt} = -\frac{d\Phi}{dt};$$

Знак минус означает, что \vec{n} и \vec{B} противоположны по направлению, то есть $\Phi = \vec{B}\vec{S} = BS\cos 180^\circ = -BS$.

13.7

2)Вывод формулы для ЭДС индукции из закона сохранения энергии (Метод Гельмгольца).

Пусть виток с током движется в стационарном магнитном поле. Тогда амперовы силы совершают работу: $\Delta A = I \Delta \Phi$, и в контуре выделится джоулево тепло: $\Delta Q = I^2 R \Delta t$. Источником этой работы и тепловой энергии является ЭДС стронних сил в контуре

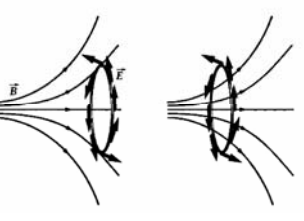
$$\mathscr{E} \cdot I\Delta t = \Delta Q + \Delta A = I^2 R\Delta t + I\Delta \Phi; \implies I = \frac{1}{R} \left(\mathscr{E} - \frac{\Delta \Phi}{\Delta t} \right);$$

Следовательно, в контуре возникает ЭДС индукции

$$\mathcal{E}^{und.} = -\frac{\Delta\Phi}{\Delta t}.$$

13.9

Закон электромагнитной индукции Фарадея и его формулировка в дифференциальной форме.



Максвелловская трактовка электромагнитной индукции.

$$\mathscr{E}^{uno.} = \oint_L \vec{E} d\vec{l} \; ; \quad \Phi = \int_S \vec{B} d\vec{S} \; ,$$

$$\oint_L \vec{E} d\vec{l} = -\frac{d}{dt} \int_S \vec{B} d\vec{S}.$$

По формуле Стокса $\oint \vec{E} d\vec{l} = \int {
m rot} \vec{E} \cdot d\vec{S}. \Rightarrow$

$$\int_{S} \operatorname{rot} \vec{E} \cdot d\vec{S} = -\frac{d}{dt} \int_{S}^{L} \vec{B} d\vec{S} = -\int_{S} \frac{\partial \vec{B}}{\partial t} d\vec{S}; \implies \operatorname{rot} \vec{E} = -\frac{\partial \vec{B}}{\partial t}.$$

Непотенциальность индукционного электрического поля.

Так как $\frac{\partial \vec{B}}{\partial t} \neq 0$, то $\text{rot} \vec{E} \neq 0$.

Следовательно, $\vec{E} \neq -\operatorname{grad} \varphi$ и $\oint_L \vec{E} d\vec{l} \neq 0$.

13.11

Векторный и скалярный потенциал нестационарного электромагнитного поля.

В нестационарном случае магнитное поле остается вихревым, то есть ${\rm div}\vec{B}=0$. Следовательно, $\vec{B}={\rm rot}\vec{A}$. Тогда, по закону электромагнитной индукции.

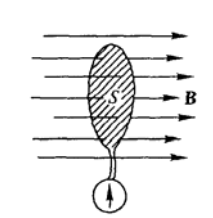
$$\begin{split} & \operatorname{rot} \vec{E} = -\frac{\partial}{\partial t} \vec{B} = -\frac{\partial}{\partial t} \operatorname{rot} \vec{A} = -\operatorname{rot} \frac{\partial}{\partial t} \vec{A}; \Rightarrow \\ & \operatorname{rot} \left(\vec{E} + \frac{\partial \vec{A}}{\partial t} \right) = 0; \Rightarrow \vec{E} + \frac{\partial \vec{A}}{\partial t} = -\nabla \varphi, \text{ то есть } \vec{E} = -\nabla \varphi - \frac{\partial \vec{A}}{\partial t}. \end{split}$$

Выбор потенциалов ϕ и \vec{A} неоднозначен (каибровочные преобразования)

$$\begin{split} \vec{A}' &= \vec{A} + \nabla \chi, \quad \varphi' = \varphi - \frac{\partial \chi}{\partial t}; \quad \vec{E} = -\nabla \varphi' - \frac{\partial \vec{A}'}{\partial t} = \\ &= -\nabla \varphi + \nabla \frac{\partial \chi}{\partial t} - \frac{\partial \vec{A}}{\partial t} - \frac{\partial}{\partial t} \nabla \chi = -\nabla \varphi - \frac{\partial \vec{A}}{\partial t}. \end{split}$$

13.12

Индукционные методы измерения магнитных полей.



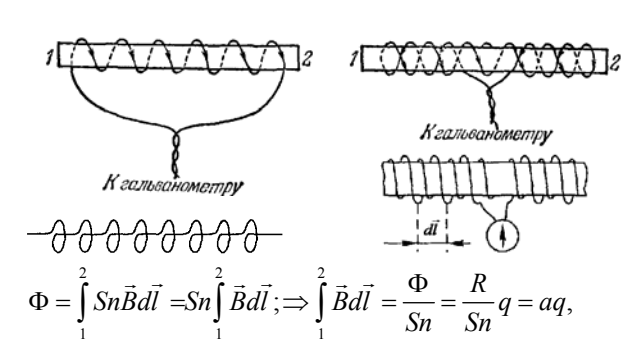
Принцип флюксметра

 $I = -\frac{1}{R}\frac{d\Phi}{dt}; \ q = \int Idt = -\frac{1}{R}\int_{\Phi}^{0} d\Phi = \frac{\Phi}{R}.$

На этом соотношении основано определение единицы магнитного потока в системе СИ: Вебер - магнитный поток, при убывании которого до нуля в сцепленном с ним контуре сопротивлением 1 Ом проходит количество электричества 1 Кл.

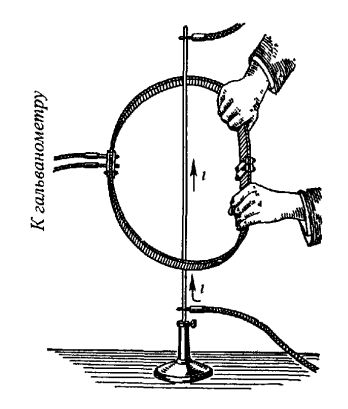
Отсюда следует определение единицы СИ для магнитной индукции: Тесла - магнитная индукция, при которой магнитный поток сквозь поперечное сечение площадью 1 м² равен 1 Вб. 13.13

Пояс Роговского

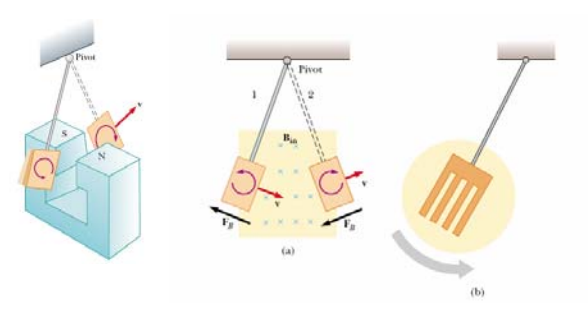


где a - постоянная баллистического гальванометра.

13.14



Токи Фуко (вихревые токи).









Магнитная энергия тока.

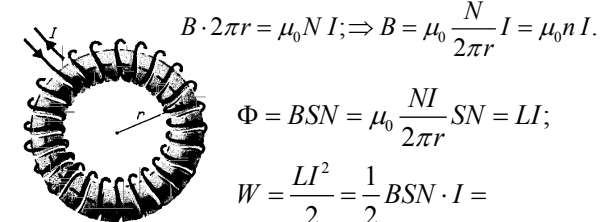
$$\begin{split} dA &= -\mathcal{E}^{\text{uhd.}} Idt = \frac{d\Phi}{dt} Idt = Id\Phi; \\ \Phi &= LI; \Rightarrow dA = dW = I \cdot LdI = d\left(\frac{LI^2}{2}\right); \\ W &= L\int_0^I IdI = \frac{LI^2}{2}; \end{split}$$

13.18

Магнитная энергия системы контуров с током.



Энергия магнитного поля. Её объемная плотность.



 $\Phi = BSN = \mu_0 \frac{NI}{2\pi n} SN = LI;$

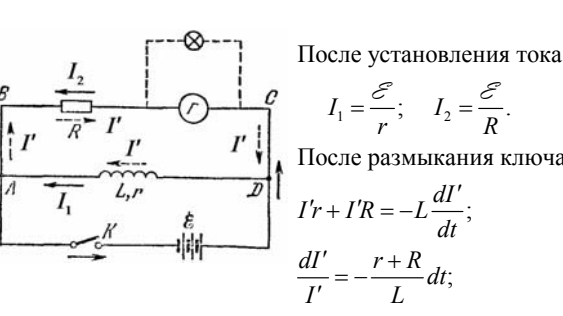
$$W = \frac{LI^2}{2} = \frac{1}{2}BSN \cdot I =$$

$$= \frac{1}{2}BSN \cdot \frac{B2\pi r}{\mu_0 N} = \frac{B^2}{2\mu_0} \underbrace{S2\pi r}_{V}; \quad w = \frac{W}{V} = \frac{B^2}{2\mu_0};$$
13.20



Явление самоиндукции. Экстратоки замыкания и размыкания. [3,§68]





 $\ln I' = -\frac{r+R}{I}t + C$. При t=0 $C = \ln I_0$, где $I_0 = I_1 = \frac{\mathcal{E}}{r}$. $I' = I_0 e^{\frac{-l}{r}} = \frac{\mathscr{E}}{r} e^{\frac{-l}{r}}; \Rightarrow U = I'R = \frac{R}{r} \mathscr{E} \cdot e^{\frac{-l}{r}} -$ экстраток

13.23

Лекция 14.

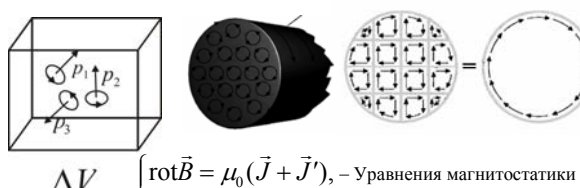
- Магнетики. Понятие о молекулярных токах. Вектор намагниченности вещества и его связь с молекулярными токами. Вектор напряженности магнитного поля. Магнитная проницаемость и магнитная восприимчивость вещества. Материальное уравнение для векторов магнитного
- Граничные условия для векторов напряженности и индукции магнитного поля. Магнитная защита Влияние формы магнетика на его намагниченность.
- Силы, действующие на магнетики в магнитном поле.

Магнетики. Понятие о молекулярных токах.

• Магнетиками называются вещества, которые при внесении их во внешнее магнитное поле сами становятся источниками магнитного поля. В этом случае говорят, что вещество намагничивается. Полная индукция магнитного поля равна векторной сумме внешнего магнитного поля и поля порожденного магнетиком.

$$\vec{B} = \vec{B}_0 + \vec{B}'$$

Согласно гипотезе Ампера, внешнее магнитное поле индуцироет в магнетике молекулярные токи, которые и порождают доплнительное магнитное поле \vec{B}' .



 $\operatorname{div} \vec{B} = 0$.

Для характеристики намагниченности магнетика вводят понятие вектора намагниченности \vec{I} .

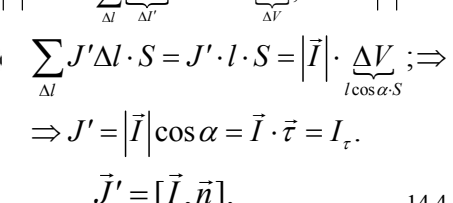
$$\vec{p}_1 = I_1 \vec{S}_1, \ \vec{p}_2 = I_2 \vec{S}_2, \ \vec{p}_3 = I_3 \vec{S}_3, \cdots. \qquad \vec{I} = \frac{1}{\Delta V} \sum_{\Delta V} \vec{p}_i \ .$$

Вектор намагниченности вещества и его связь с молекулярными токами.



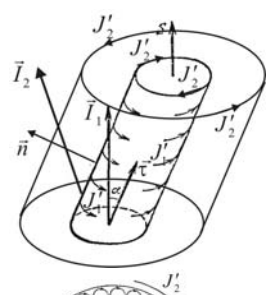
где J' — поверхностная плотность мол. тока. Магнитный момент этого цилиндра равен

$$\left| \vec{I} \right| \cdot \Delta V = \sum_{\Delta I} \underbrace{J'\Delta I}_{\Delta I'} \cdot S = J' \cdot \underbrace{l \cdot S}_{\Delta V}; \Rightarrow J' = \left| \vec{I} \right|.$$



14.4

14.7



Плотность поверхностного молекулярного тока на границе двух магнетиков

$$\vec{J}' = [(\vec{I}_1 - \vec{I}_2), \vec{n}]$$

14.5

14.8

14.11



 $dI' = J'_{nog} dl = \vec{I} \vec{\tau} dl = \vec{I} d\vec{l}$;

 \vec{J}' =rot \vec{I}

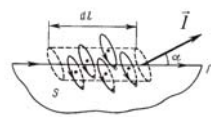
 $= \oint \vec{l}d\vec{l} = \int_{S} \operatorname{rot} \vec{l} \cdot d\vec{S};$

Если вещество намагниченно

объемные молекулярные токи.

неоднородно, то возникают





14.6

Вектор напряженности магнитного поля.

$$\mathrm{rot} \vec{B} = \mu_0 (\vec{J} + \vec{J}') = \mu_0 (\vec{J} + \mathrm{rot} \vec{I}); \Longrightarrow$$
 $\mathrm{rot} \left(\frac{\vec{B}}{\mu_0} - \vec{I} \right) = \vec{J}; \Longrightarrow \mathrm{rot} \vec{H} = \vec{J}, \; \mathrm{где}$

$$\vec{H} = \left(\frac{\vec{B}}{\mu_0} - \vec{I} \right) -$$
 вектор напряженности магнитного поля.

Материальное уравнение для векторов магнитного поля. Магнитная проницаемость и магнитная восприимчивость вещества.

 $\vec{I} = \vec{I}(\vec{B}), \text{ HO } \vec{B} = \mu_0(\vec{H} + \vec{I}); \Rightarrow \vec{H} = \vec{H}(\vec{B}). \text{ Имеем}$ $\vec{B} = \vec{B}(\vec{H})$ или $\vec{I} = \vec{I}(\vec{H})$ - материальные уравнения. Для изотропных сред $\vec{I} = \chi \cdot \vec{H}$, где χ – магнитная восприимчивость.

$$ec{B} = \mu_0 (ec{H} + ec{I}) = \mu_0 \underbrace{(1 + \chi)}_{\mu} ec{H} = \mu_0 \mu ec{H},$$
 где $\mu = 1 + \chi - \chi$

магнитная проницаемость (относительная магнитная проницаемость).

 $I_i = \sum_{j=1}^{3} \chi_{ij} H_j,$

где χ_{ii} - тензор магнитной восприимчивости. Индукция магнитного поля в однородном, изотропном и бесконечном магнетике.

$$\begin{cases} {\rm rot} \vec{H} = \vec{J}, \\ {\rm div} \vec{H} = 0. \end{cases} \Longrightarrow \begin{cases} {\rm rot} \frac{\vec{B}}{\mu} = \mu_0 \vec{J}, \\ {\rm div} \frac{\vec{B}}{\mu} = 0. \end{cases} \Longrightarrow \frac{\vec{B}}{\mu} = \vec{B}_{\rm вакуум}$$

Из первого уравнения следует, что \vec{H} в однородном бесконечном магнетике такое же, что и в вакууме.

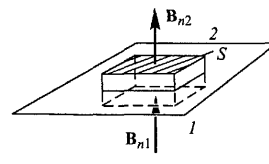
14.9

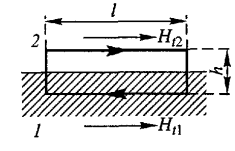
Система полевых уравнений магнитостатики в изотропных бесконечных магнитных средах.

$$\begin{cases} {\rm rot} \vec{H} = \vec{J}, \\ {\rm div} \vec{B} = 0. \end{cases} \Rightarrow \begin{cases} \int\limits_{S_L} {\rm rot} \vec{H} d\vec{S} = \int\limits_{S_L} \vec{J} d\vec{S}, \\ \int\limits_{V} {\rm div} \vec{B} dV = 0. \end{cases} \Rightarrow \begin{cases} \int\limits_{L} \vec{H} d\vec{l} = \int\limits_{S_L} \vec{J} d\vec{S}, \\ \int\limits_{S_V} \vec{B} d\vec{S} = 0. \end{cases}$$
 дифференциальная интегральная

$$\vec{B} = \vec{B}(\vec{H}), \ (\vec{B} = \mu_0 \mu \vec{H}),$$
 –материальные уравнения.

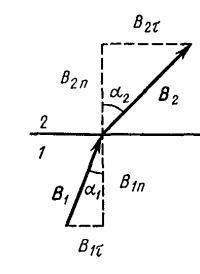
Граничные условия для векторов напряженности и индукции магнитного поля.



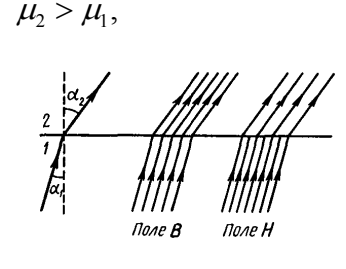


$$B_{n2}S - B_{n1}S = 0, \quad H_{\tau 2}l - H_{\tau 1}l = J_k l, \text{ где } \vec{k} \perp h \cdot l.$$
 $B_{n2} = B_{n1}. \qquad H_{\tau 2} - H_{\tau 1} = J_k, \text{ если } J_k = 0, \text{ то } H_{\tau 2} = H_{\tau 1}.$ $H_{\tau 2} = H_{\tau 1}.$

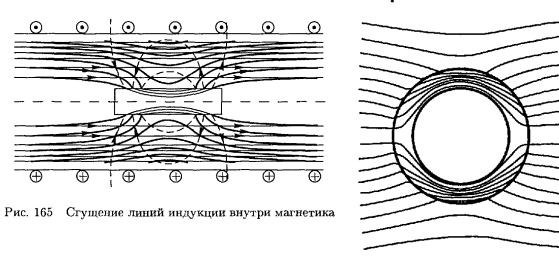
Преломление линий магнитной индукции магнитного поля на границе двух магнетиков



$$\frac{\operatorname{tg}\alpha_2}{\operatorname{tg}\alpha_1} = \frac{\mu_2}{\mu_1}$$



Магнитная защита.

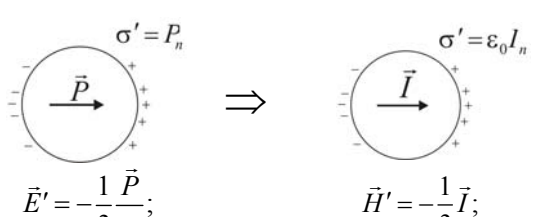


14.13

Аналогия с электростатикой диэлектриков.

$$\begin{split} \vec{D} &= \varepsilon_0 \vec{E} + \vec{P}, & \vec{B} &= \mu_0 (\vec{H} + \vec{I}), \\ \text{fot} \vec{E} &= 0, & \text{fot} \vec{H} &= \vec{J} &= 0, \\ \text{div} \vec{D} &= \rho &= 0, & \text{div} \vec{B} &= 0, \\ E_{\tau 1} &= E_{\tau 2}; D_{n 1} &= D_{n 1}, & H_{\tau 1} &= H_{\tau 2}; B_{n 1} &= B_{n 1}, \\ \text{fot} \vec{E} &= 0, & \text{fot} \vec{H} &= 0, \\ \text{div} \vec{E} &= -\frac{1}{\varepsilon_0} \text{div} \vec{P}, & \text{div} \vec{H} &= -\text{div} \vec{I}, \\ \vec{E} &\to \vec{H}; & \frac{\vec{P}}{\varepsilon_0} \to \vec{I}. \end{split}$$

Поле однородно намагниченного шара.



Если есть внешнее магнитное поле \vec{H}_0 , то

$$\vec{H} = \vec{H}_0 + \vec{H}_\odot = \vec{H}_0 - \frac{1}{3}\vec{I};$$

 $\vec{H}_{\odot} = \beta \vec{I}$ – размагничивающее поле, где β – размагничивающий фактор формы.

14.15

Влияние формы магнетика на его намагниченность.



 $\vec{H}=\vec{H}_0-\vec{H}_\odot; \quad \vec{H}_\odot=\beta\vec{I}-$ строго справедливо только для тел элипсоидальной формы.

1) для бесконечного цилиндра $\vec{H} = \vec{H}_0$, $\beta = 0$. 2)Для тонкого магнитного слоя (бескончного)



Из граничных условий $B_{u0} = B_u$; $\Rightarrow H_{u0} = \mu H_u$. При $r \to \infty,\; B_{\scriptscriptstyle n} = B,\; H_{\scriptscriptstyle n} = H.\;$ Тогда $H = H_{\scriptscriptstyle 0} \; / \; \mu =$ $=H_{0}-(H_{0}/\mu)\mu+H_{0}/\mu=H_{0}-(\mu-1)H=H_{0}-\frac{1}{2}I.$ В этом случае β =1.

Силы, действующие на магнетики в магнитном поле.

$$\vec{F}_{\Delta V} = \nabla(\underline{\vec{p}}_{\Delta V} \overset{\downarrow}{\vec{B}}); \Rightarrow \vec{f} = \frac{\vec{F}_{\Delta V}}{\Delta V} = \nabla(\vec{I} \overset{\downarrow}{\vec{B}}).$$

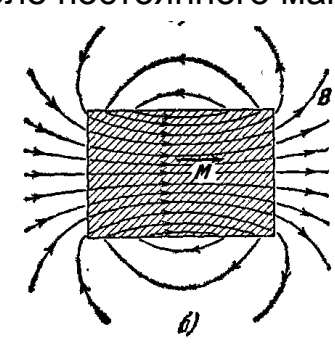
$$\vec{I} = (\mu - 1)\vec{H} = (\mu - 1)\frac{\vec{B}}{\mu_0 \mu};$$

$$\vec{f} = \nabla(\vec{I} \overset{\downarrow}{\vec{B}}) = \frac{(\mu - 1)}{\mu_0 \mu} \nabla(\vec{B} \overset{\downarrow}{\vec{B}}) = \frac{(\mu - 1)}{\mu_0 \mu} \frac{1}{2} \nabla(\overset{\downarrow}{\vec{B}} \overset{\downarrow}{\vec{B}});$$

$$\vec{f} = \frac{(\mu - 1)}{\mu_0 \mu} \frac{1}{2} \nabla \vec{B}^2. \quad \text{Если } \mu > 1, \text{ то магнетик втягивается в область сильного магнитного поля 14.17}$$

14.17

Поле постоянного магнита.



14.18

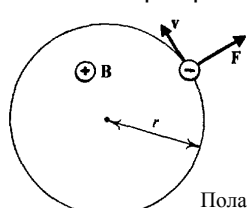
Лекция 15.

- Классификация магнетиков:диамагнетики, парамагнетики и ферромагнетики. Классическое описание диамагнетизма. Ларморова прецессия. Парамагнетизм. Теория Ланжевена.
- Микроскопические носители магнетизма. Магнитомеханический опыт Эйнштейна - де-Гааза. Механомагнитный опыт Барнетта. Гиромагнитное отношение.

Классификация магнетиков:диамагнетики, парамагнетики и ферромагнетики.

 μ < 1 или χ < 0 - диамагнетики, В отсутствии внешнего поля $\mu > 1$ или $\chi > 0$ - парамагнетики, $\int_{-\infty}^{\infty} \frac{1}{\mu} d\mu = 0$ $\mu >> 1$ или $\chi >> 1$ - ферромагнетики $\}$ В отсутствии внешнего поля в домене $I \neq 0$.

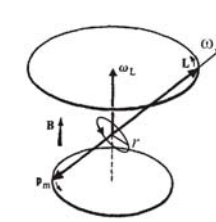
В отделные классы магнетиков относят антиферромагнетики, ферриты и суперпарамагнетики. Классическое описание диамагнетизма. Ларморова прецессия. [1, § 40]



 $m\omega_0^2 r = F_u$, $F = |e|\omega rB$, $m\omega^2 r = F_u \pm |e| \omega r B$, $m\omega^2 r - m\omega_0^2 r = \pm |e|\omega rB$.

Полагая $|\Delta\omega| = |\omega - \omega_0| << \omega$ и преобразуя $\omega^2 - \omega_0^2 = (\omega - \omega_0)(\omega + \omega_0) \approx 2\Delta\omega \cdot \omega$, находим

 $\Delta \omega = \pm |e|B/2m$; $\Rightarrow \omega_t = |e|B/2m$. Направление $\vec{\omega}_t$ совпадает с \vec{B} , то есть $\vec{\omega}_L = -\frac{eB}{2m}$, где учтено, что заряд электрона e < 0.



Для произвольной ориентации орбиты вращения электрона относительно индукци внешнего магнитного поля \vec{B}

$$rac{dec{L}}{dt}=ec{M}$$
, где $ec{L}=mr^2ec{\omega}$, $ec{M}=[ec{p}_m,ec{B}]$. $ec{p}_m=Iec{S}=erac{ec{\omega}}{2\pi}\pi r^2=rac{e}{2m}ec{L}$. Получим

$$\frac{d\vec{L}}{dt} = \frac{e}{2m} [\vec{L}, \vec{B}\,] = -\frac{e}{2m} [\vec{B}, \vec{L}\,]. \quad \text{Известно, что для произвольного} \\ \quad \text{вектора c } |\vec{A}| = \text{const}, \ d\vec{A} / dt = [\vec{\Omega}, \vec{A}].$$

$$-\frac{e}{2m}\vec{B} = \vec{\Omega} = \vec{\omega}_L.$$

15.4

Диамагнитная восприимчивость



$$\vec{p}_{m,i} = \vec{S}_i I_i = e r_i^2 \vec{\omega}_L / 2,$$
 $\vec{I} = \frac{1}{\Delta V} \sum_{\Delta V} \vec{p}_{m,i} = -\frac{e^2}{4m} \vec{B} \cdot Z \frac{N}{\Delta V} \underbrace{\frac{1}{Z \cdot N}}_{r_i^2},$
где N - число атомов в ΔV , Z - число электронов в атоме.

$$R_{i}^{2} = x_{i}^{2} + y_{i}^{2} + z_{i}^{2}; \Rightarrow \langle x_{i}^{2} \rangle = \langle y_{i}^{2} \rangle = \langle z_{i}^{2} \rangle = \frac{1}{3} \langle R_{i}^{2} \rangle,$$

$$\langle r_{i}^{2} \rangle = \langle x_{i}^{2} + y_{i}^{2} \rangle = 2 \langle R_{i}^{2} \rangle / 3 = 2 \langle R^{2} \rangle / 3. \text{ MMeem}$$

$$\vec{I} = -\frac{e^{2}}{6m} \underbrace{\vec{B}}_{\mu_{0}\mu\bar{H}} Zn \langle R^{2} \rangle = \underbrace{-\frac{e^{2}}{6m} Zn \langle R^{2} \rangle \mu_{0} \mu\bar{H}}_{i} \vec{H}.$$

15.5

$\chi = -\frac{e^2}{6m} Zn < R^2 > \mu_0.$

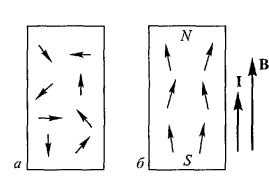
Вещество (диамагнетики)	$\chi = (\mu - 1), 10^{-6}$
вода	-9,0
Медь	-10,3
Стекло	-12,6
Висмут	-176

Ларморово вращение атомов не могут создать магнитные силы, оно создается при включении магнитногополя индукционным электрическим полем

$$2\pi rE = -\frac{d\Phi}{dt}; \Rightarrow M = reE = -\frac{e}{2\pi} \frac{d\Phi}{dt}; mr^2 \frac{d\omega}{dt} = M = -\frac{e}{2\pi} \frac{d\Phi}{dt}$$
$$mr^2 \int_{\omega_0}^{\omega_0 + \Delta\omega} d\omega = M = -\frac{e}{2\pi} \int_{0}^{\Phi} d\Phi; \Rightarrow \Delta\omega = \omega_L = -\frac{e}{2m} \frac{\Phi}{\pi r^2} = -\frac{e}{2m} B.$$

15.6

Парамагнетизм. Теория Ланжевена.



 $W = -\vec{p}_m \vec{B}; \Rightarrow dn = A \cdot e^{\frac{W}{K_B T}} do,$ $M = -\vec{p}_m \vec{B}; \Rightarrow dn = A \cdot e^{\frac{W}{K_B T}} do,$ $M = -\vec{p}_m \vec{B}; \Rightarrow dn = A \cdot e^{\frac{W}{K_B T}} do,$ $M = -\vec{p}_m \vec{B}; \Rightarrow dn = A \cdot e^{\frac{W}{K_B T}} do,$ $M = -\vec{p}_m \vec{B}; \Rightarrow dn = A \cdot e^{\frac{W}{K_B T}} do,$ $M = -\vec{p}_m \vec{B}; \Rightarrow dn = A \cdot e^{\frac{W}{K_B T}} do,$ $M = -\vec{p}_m \vec{B}; \Rightarrow dn = A \cdot e^{\frac{W}{K_B T}} do,$ $M = -\vec{p}_m \vec{B}; \Rightarrow dn = A \cdot e^{\frac{W}{K_B T}} do,$ $M = -\vec{p}_m \vec{B}; \Rightarrow dn = A \cdot e^{\frac{W}{K_B T}} do,$ $M = -\vec{p}_m \vec{B}; \Rightarrow dn = A \cdot e^{\frac{W}{K_B T}} do,$ $M = -\vec{p}_m \vec{B}; \Rightarrow dn = A \cdot e^{\frac{W}{K_B T}} do,$ $M = -\vec{p}_m \vec{B}; \Rightarrow dn = A \cdot e^{\frac{W}{K_B T}} do,$ $M = -\vec{p}_m \vec{B}; \Rightarrow dn = A \cdot e^{\frac{W}{K_B T}} do,$ $M = -\vec{p}_m \vec{B}; \Rightarrow dn = A \cdot e^{\frac{W}{K_B T}} do,$ $M = -\vec{p}_m \vec{B}; \Rightarrow dn = A \cdot e^{\frac{W}{K_B T}} do,$ $M = -\vec{p}_m \vec{B}; \Rightarrow dn = A \cdot e^{\frac{W}{K_B T}} do,$ $M = -\vec{p}_m \vec{B}; \Rightarrow dn = A \cdot e^{\frac{W}{K_B T}} do,$ $M = -\vec{p}_m \vec{B}; \Rightarrow dn = A \cdot e^{\frac{W}{K_B T}} do,$ $M = -\vec{p}_m \vec{B}; \Rightarrow dn = A \cdot e^{\frac{W}{K_B T}} do,$ $M = -\vec{p}_m \vec{B}; \Rightarrow dn = A \cdot e^{\frac{W}{K_B T}} do,$ $M = -\vec{p}_m \vec{B}; \Rightarrow dn = A \cdot e^{\frac{W}{K_B T}} do,$ $M = -\vec{p}_m \vec{B}; \Rightarrow dn = A \cdot e^{\frac{W}{K_B T}} do,$ $M = -\vec{p}_m \vec{B}; \Rightarrow dn = A \cdot e^{\frac{W}{K_B T}} do,$ $M = -\vec{p}_m \vec{B}; \Rightarrow dn = A \cdot e^{\frac{W}{K_B T}} do,$ $M = -\vec{p}_m \vec{B}; \Rightarrow dn = A \cdot e^{\frac{W}{K_B T}} do,$ $M = -\vec{p}_m \vec{B}; \Rightarrow dn = A \cdot e^{\frac{W}{K_B T}} do,$ $M = -\vec{p}_m \vec{B}; \Rightarrow dn = A \cdot e^{\frac{W}{K_B T}} do,$ $M = -\vec{p}_m \vec{B}; \Rightarrow dn = A \cdot e^{\frac{W}{K_B T}} do,$ $M = -\vec{p}_m \vec{B}; \Rightarrow dn = A \cdot e^{\frac{W}{K_B T}} do,$ $M = -\vec{p}_m \vec{B}; \Rightarrow dn = A \cdot e^{\frac{W}{K_B T}} do,$ $M = -\vec{p}_m \vec{B}; \Rightarrow dn = A \cdot e^{\frac{W}{K_B T}} do,$ $M = -\vec{p}_m \vec{B}; \Rightarrow dn = A \cdot e^{\frac{W}{K_B T}} do,$ $M = -\vec{p}_m \vec{B}; \Rightarrow dn = A \cdot e^{\frac{W}{K_B T}} do,$ $M = -\vec{p}_m \vec{B}; \Rightarrow dn = A \cdot e^{\frac{W}{K_B T}} do,$ $M = -\vec{p}_m \vec{B}; \Rightarrow dn = A \cdot e^{\frac{W}{K_B T}} do,$ $M = -\vec{p}_m \vec{B}; \Rightarrow dn = A \cdot e^{\frac{W}{K_B T}} do,$ $M = -\vec{p}_m \vec{B}; \Rightarrow dn = A \cdot e^{\frac{W}{K_B T}} do,$ $M = -\vec{p}_m \vec{B}; \Rightarrow dn = A \cdot e^{\frac{W}{K_B T}} do,$ $M = -\vec{p}_m \vec{B}; \Rightarrow dn = A \cdot e^{\frac{W}{K_B T}} do,$ $M = -\vec{p}_m \vec{B}; \Rightarrow dn = A \cdot e^{\frac{W}{K_B T}} do,$ M =

$$\langle p_{m,z} \rangle = \int p_{m,z} dn / \int dn.$$

Воспользуемся теорией полярных диэлектриков $\vec{p} \rightarrow \vec{p}_{m}; \quad \vec{E} \rightarrow \vec{B}; \Rightarrow \langle p_{m,z} \rangle = p_{m}L(\beta), \; \Gamma$ де

$$\beta = \frac{p_m B}{K T}$$
, $L(\beta) = \operatorname{cth} \beta - \frac{1}{\beta}$. Если $\beta <<1$, $L(\beta) \approx \frac{\beta}{3}$,

$$< p_{\scriptscriptstyle m,z}> = p_{\scriptscriptstyle m} \, rac{p_{\scriptscriptstyle m} B}{3 K_{\scriptscriptstyle E} T} = rac{p_{\scriptscriptstyle m}^2 \mu_0 \mu H}{3 K_{\scriptscriptstyle E} T}.$$
 Если $\mu \approx 1$, то

 $I_z = n < p_{m,z} > = \underbrace{\frac{n\mu_0 p_m^2}{3K_B T}}_{x} H, \qquad \vec{I} = \chi \vec{H}.$

$$\chi = \mu - 1 = \frac{n\mu_0 p_m^2}{3K_{\scriptscriptstyle E}T} = \frac{C}{T}$$
 – закон Кюри.

Температурная зависимость $\chi \sim 1/T$ экспериментально обнаружил П. Кюри в 1896 году, в 1905 году Ланжевен разработал теорию парамагнетизма и диамагнеизма.

Терия Ланжевена хорошо описивает лишь газы.

Характерные значения парамагнитной восприимчивости $\chi \sim 10^{-3}$, что приблизительно в 100 раз больше хорактерного значения ~ 10⁻⁵ восприимчивости диамагнетиков..

Magnetic Susceptibilities of Some Paramagnetic and Diamagnetic Substances at 300 K

Paramagnetic Substance	х	Diamagnetic Substance	χ
Aluminum	2.3×10^{-5}	Bismuth	-1.66×10^{-1}
Calcium	1.9×10^{-5}	Copper	-9.8×10^{-2}
Chromium	2.7×10^{-4}	Diamond	-2.2×10^{-2}
Lithium	2.1×10^{-5}	Gold	-3.6×10^{-2}
Magnesium	1.2×10^{-5}	Lead	-1.7×10^{-1}
Niobium	2.6×10^{-4}	Mercury	-2.9×10^{-2}
Oxygen	2.1×10^{-6}	Nitrogen	-5.0×10^{-2}
Platinum	2.9×10^{-4}	Silver	-2.6×10^{-2}
Tungsten	6.8×10^{-5}	Silicon	$-4.2 \times 10^{-}$

15.9

Магнитомеханический опыт Эйнштейна – де-Гааза.



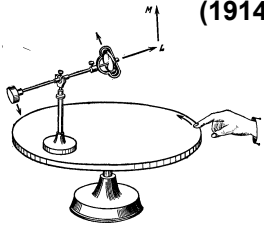
Магнитомеханическое явление - это возникновение вращения тел при их намгничивании. В 1915 году экспериментально обнаружено в опытах Эйнштена и Гааза.

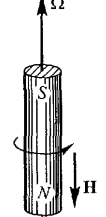
$$\sum_{V} \vec{p}_{m,i} = \vec{I} \cdot V, \text{ Ho } \vec{p}_{m,i} = \Gamma \vec{L}_{i}, \Rightarrow \vec{L} = \sum_{V} \vec{L}_{i} = \frac{1}{\Gamma} \vec{I} \cdot V.$$

$$L_z = J_z \omega_z = \frac{1}{\Gamma} I_z \cdot V$$
. Так для железного цилиндра

с диаметром 1мм в магнитном поле $H = 10^4 A / M$ $\omega_{z} = 10^{-3} \text{ рад/с}.$







Механомагнитное явление-это намагничивание магнетика при его вращение.

В опытах Барнетта при вращени железного цилинра 6000 об/мин наблюдалось намагничивание эквивалентное наличию внешнего поля $10^{-2} A / M$. 15.12

Микроскопические носители магнетизма. Гиромагнитное отношение.

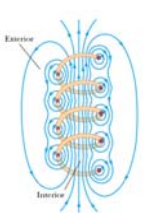
Исследование магнитомеханического и механомагнитного явлений показало $\Gamma<0$, следовательно, магнетизм обусловлен движением электронов. Для магнетиков $-\frac{e}{m}<\Gamma<-\frac{e}{2m}$. Для ферромагнетиков (железо, никель, кобальт и др.) $\Gamma=-\frac{e}{m}$, что указывает на то, что магнеизм магнетиков нельзя объяснить только орбитальным движением электронов. Совокупность имещихся данных указывает на то, что электрон обладает собственным механическим (спином) и магнитным моментом $\vec{p}_{m,s}=-\frac{e}{m}\vec{S}$. Спин квантуется, его проекция $S_z=\pm\frac{1}{2}\frac{h}{2\pi}$, где $h=6,62\cdot 10^{-34}$ Дж с. Квантуется и проекция собственного магнитного момента $p_{m,s}=\pm\mu_B=\pm\frac{eh}{4\pi m}$ — магнетон Бора $\mu_B=9,27\cdot 10^{-24}\,A\cdot m^2$.

Классическая модель спина электрона.



15.14

Энергия магнитного поля (тока) в бесконечной изотропной магнитной среде.



В магнитной среде $\vec{B} = \mu \vec{B}_0$. Следовательно, $\Phi = \mu \Phi_0 = \underbrace{\mu L_0}_{L} I = LI; \Rightarrow W = \frac{LI^2}{2} = \mu \frac{L_0 I^2}{2} =$ $= \mu \frac{1}{2} \int_{\infty}^{B_0^2} \frac{B_0^2}{\mu_0} dV = \frac{1}{2} \int_{\infty}^{\frac{\vec{B}}{\mu_0}} \frac{\vec{B}_0}{\mu_0 \mu} dV = \int_{\infty}^{\frac{w}{\mu_0}} \frac{\vec{B}}{2} dV.$ $W = \frac{\vec{H}\vec{B}}{2} = \frac{B^2}{2\mu_0 \mu} = \frac{\mu_0 \mu H^2}{2} = \frac{\vec{H} \mu_0 (\vec{H} + \vec{I})}{2} =$

$$=\frac{\overbrace{\mu_0\vec{H}}^{ar{B}_0}\underbrace{\mu_0\vec{H}}^{ar{B}_0}}{2\mu_0}+\frac{\mu_0\vec{H}\vec{I}}{2}$$
, где $\frac{\mu_0\vec{H}\vec{I}}{2}$ - \begin{cases} плотность энергии намагнетика.

15.15

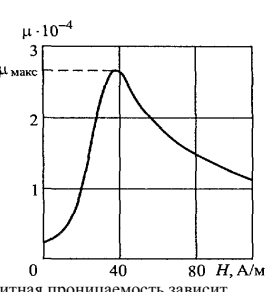
Лекция 16.

• Ферромагнетики. Спонтанная намагниченность и температура Кюри. Доменная структура. Гистерезис намагничивания, кривая Столетова. Остаточная индукция и коэрцитивная сила. Температурная зависимость намагниченности.

16.1

Ферромагнетики.

Ферромагнетики — это сильномагнитные магнетики, относительная магнитная проницаемость которых может достигать десятков тысяч единиц. Кроме этого, ферромагнетики обладают рядом других отличительных особенностей по сравнению с диа- и парамагнетиками.

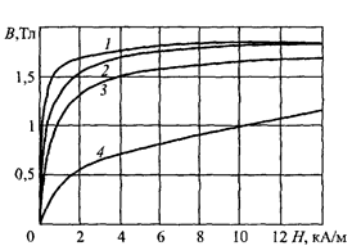


Магнитная проницаемость зависит от напряженности магнитного поля. На рисунке приведена такая зависимость для чистого железа (кривая Столетова).

ова). 16.2

16.5

Кривая намагничивания



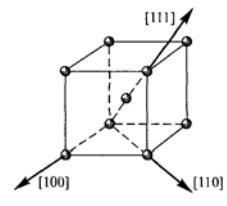
Зависимость магнитной индукции от напряженности магнитного поля: I — электролитическое железо, 2 — малоуглеродистое железо, 3 — литая сталь, 4 — чугун

i.

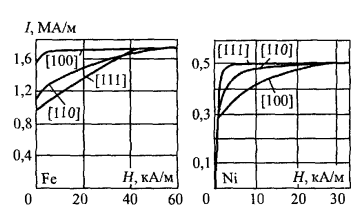
Кривая намагнинивания ферромагнетиков

16.3

Анизотропия намагничивания.



Элементарная кристаллическая ячейка железа и ее основные кристаллографическию направления: [100] — легкого, [111] — трулного намагничивания



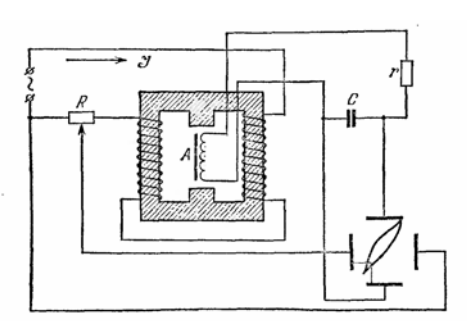
Кривые намагничивания Fe и Ni по различным напрвлениям монокристаллических образцов.

Гистерезис намагничивания.

Остаточная индукция и коэрцитивная сила.



Схема установки для наблюдения петли гистерезиса.





Если Н_к>>1А/см, жесткий ферромагнетик



Если Н / <1А/см, мягкий ферромагнетик



размагничивания

16.7

Работа при намагничивании ферромагнетика.

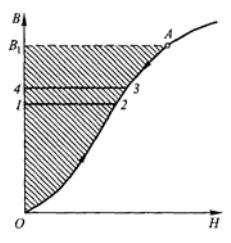


Пусть тороид заполнен ферромагнетиком. При увеличении тока в обмотке на dI возникает ЭДС самоиндукции, против которой ток совершает работу $dA = -Idt \mathcal{E}^{uno} = Id\Phi$, где $\Phi = BNS$, N - число витков. По теореме о циркуляции вектор \vec{H} имеем $H2\pi r = M$. Находим

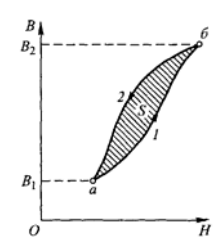
$$dW = dA = \frac{H2\pi r}{N} NSdB = HdB \underbrace{2\pi rS}_{V}.$$

Таким образом, работа dw, неоходимая для увеличения индукции на $d\vec{B}$ в единице объема, равна $dw = \vec{H}d\vec{B} = \mu_0 \vec{H}d(\vec{H} + \vec{I}) = \mu_0 \vec{H}d\vec{H} + \mu_0 \vec{H}d\vec{I}$

16.8



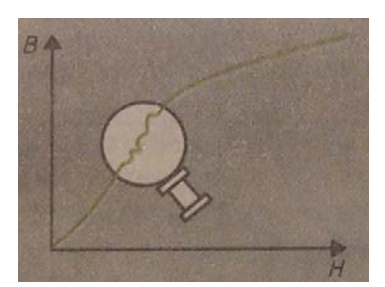
Работа намагиичивания магнетика без гистерезиса



порциональна площади петли гистерезиса

16.9

Эффект Баркгаузена (1919).



16.10

16.13

Спонтанная намагниченность и температура Кюри.

Исследования показали, что даже в отсутствии внешнего магнитного поля ферромагнитик разбит на микроскопические области (домены), в которых ферромагнетик спонтанно намагничен до насыщения. Спонтанная намагниченность ферромагнетика обусловлена ориентацией собственных магнитных моментов электронов (Г=-е/m).

Ферромагнитное упорядочение существует только при температурах меньшей некоторого критического значения T_{κ} . При $T > T_{\kappa}$, ферромагнитное упорядочение проподает и ферромагнети превращается в парамагнетик. Зависимость магнитной проницаемости от температуры для таких парамагнетиков подчиняется закону Кюри-Вейса

$$\chi = \frac{C}{T - T_K}.$$

16.11

Температура Кюри некоторых ферромагнетиков

Вещество	T_K , °C	Вещество	T_K , °C
Кобальт Железо	1150 770	Никель 30%-ный пермаллой	360 70
78 %-ный пермаллой	550	50 %-ный пермаллой Гадолиний	17
(сплав 22 % Fe, 78 % Ni)			

Механизм ориентации спинов ферромагнетика объясняет квантовая терия взаимодействия заряженных чатиц (электронов) со спином $\hbar/2$ находящихся на незаполненных d-оболочках атомов ферромагнетика

$$W = -A \cdot \vec{S}_1 \vec{S}_2,$$

где A - обменная костанта (интеграл). Если A > 0, то спинам энергетически выгодно ориентироватся параллелно (ферромагнитное упорядочение). Если A < 0, то выгодно антипараллельная ориентация (антиферромагнитное упорядочение).

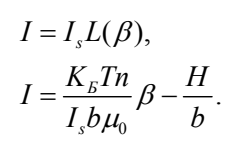
Таким образом, ферромагнитное упорядочение обусловлено сильным обменным взаимодействием электронов атомов с нескомпенсированными спинами и имеет немагнитное происхождения. (Дорфман 1927)

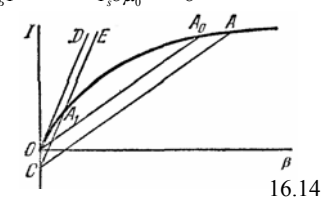
Первая терия ферромагнетизма была разработана Вейсом в 1907 году по аналогии с теорией парамагнетизма Ланжевена, в которой дополнительно к микоскопическому полю добавлено гипотетическое "молекулярное поле"

$$\vec{B}_{s\phi\phi} = \mu_0 (\vec{H} + b\vec{I}),$$

где b - постоянная Вейса. Тогда для формулы Ланжевена получим

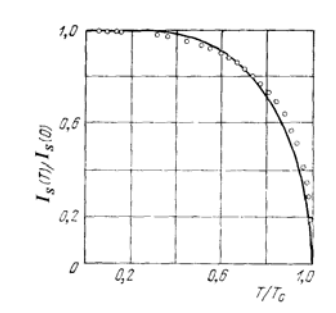
$$I = I_s L(\beta)$$
, где $I_s = np_m$, $\beta = \frac{p_m B_{\nu\phi\phi}}{K_b T}$; $\Rightarrow I = \frac{K_b T n}{I_s b \mu_0} \beta - \frac{H}{b}$.





Наклон кривой *OD* определяет критическую температуру ферромагнитного упорядочения (фазовый переход 2-го рода).

Намагниченность насыщения ферромагнетика зависит от температуры



Намагниченность насышения никеля как функция температуры. Сплошная кривая - теоретическая, построенная на $L_{1/2}(x)$.

16.15









Механизм возникновения доменов



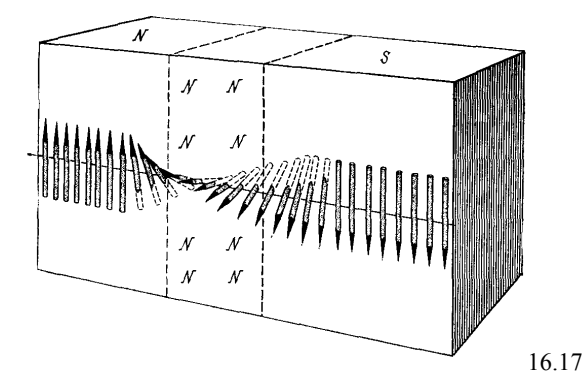




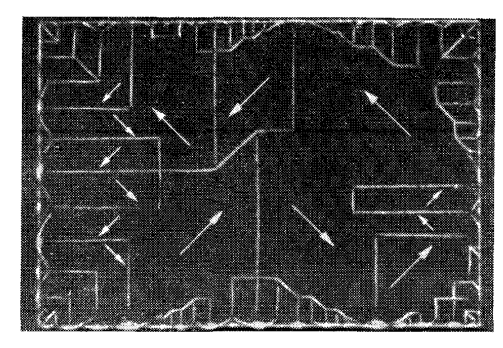




Доменная граница(стенка) Блоха



Доменная структура на поверхности монокристаллической никелевой пластины



16.18









Различные типы процессов

намагничивания ферромагнетика: a-e) смещение границ, г) намаг-

ничивание вращения, д) намагни-

чивание насыщения; участок 1 -

обратимое смещение ДГ, 2 - ис-

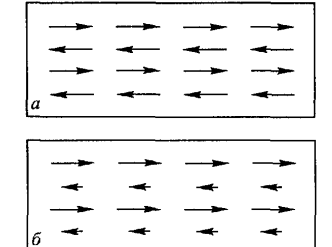
3 - вращение намагниченности

внутри домена.

чезновение невыгодных доменов,

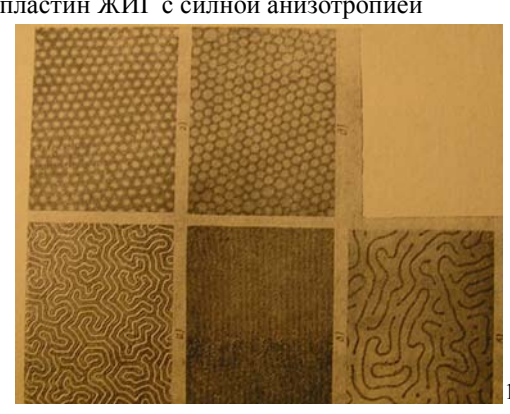


Антиферромагнетики. Ферриты. Суперпарамагнетики.



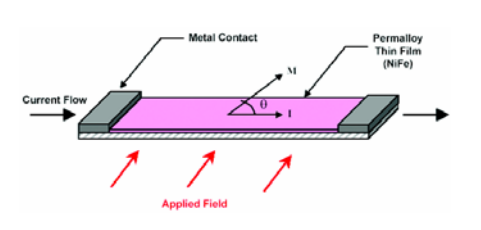
Ферриты - бладают большим удельным сопротивлением, то есть являются магнитными полупроводниками. Находят важное применение в радиотехнике СВЧ. Ферриты-гранаты являются магнитными диэлектриками. Прозрачны для света.

Доменная структура тонких магнитоодносных пластин ЖИГ с силной анизотропией



16.19

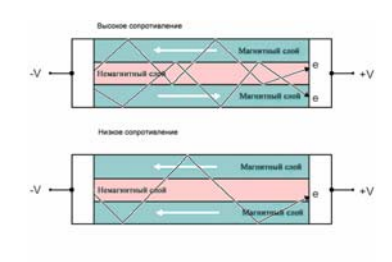
Гиганский магниторезистивный (ГМР) эффект. Спинтроника.



Анизотропный магниторезистивный

эффект

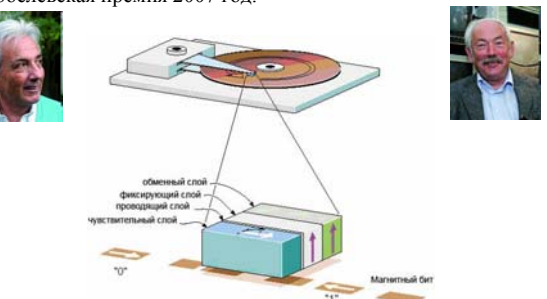
$$\Delta R = \frac{\Delta \rho}{\rho} R \cos^2 \theta$$



ГМР датчик.

Альберт Ферт (Albert Fert) и Петер Грюнберг (Peter Grunberg)

Нобелевская премия 2007 год.



16.22

16.23

16.20

Лекция 17.

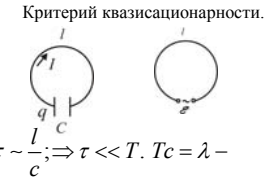
- Квазистационарные поля. Критерий квазистационарности. Переходные процессы в RC- и
- Электромагнитные колебания. Колебательный контур. Собственные колебания в контуре. Уравнение гармонических колебаний.
- Энергия гармонических колебаний. Затухающие колебания в контуре и их уравнение. Показатель затухания. Время релаксации. Логарифмический декремент затухания. Добротность контура.
- Колебания в связанных контурах. Парциальные колебания и их частоты. Нормальные колебания (моды) и их частоты.

17.1

Квазистационарные поля. Критерий квазистационарности.

приближении полагается, что в распределенные в пространстве заряды, токи и поля изменяются синхронно и мгновенно. То есть в каждый момент времени

рассматриваемой электродинамической системе все нестационарные заряды и токи магнитное поле соответствующее эквивалентным стационарным



излучаемой волны. $\Rightarrow l << \lambda$.

Если
$$l = 1\kappa_M = 10^3 M$$
, то $\tau = \frac{10^3 M}{3 \cdot 10^8 M/c} = \frac{1}{3} 10^{-5} c$. $\nu = \frac{1}{T} << 10^5 \Gamma_U = 100 \kappa \Gamma_U$.

Если
$$l=100$$
м, то $\tau=\frac{10^2\,\mathrm{M}}{3\cdot 10^8\,\mathrm{M}\,/\,c}=\frac{1}{3}10^{-6}$ с. $v=\frac{1}{T}<<10^6\,\Gamma\mathrm{_{I}}=1$ М $\Gamma\mathrm{_{I}}$. Близок к пределу Микропроцессор $l=1$ см. $\Rightarrow v_0=1/\tau=c/l\sim 10$ Г $\Gamma\mathrm{_{I}}$. Квазистационарности

Уравнение колебательного контура в квазистационарном приближении.

Пусть q - заряд первой пластины конденсатора, встречающейся при положительном обходе контура Тогда напряжение $U_c = q/c$ и ток в контуре

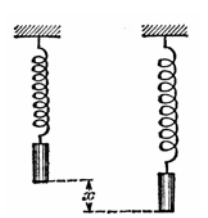
I = dq / dt будут иметь правилный знак. Согласно правилу Кирхгофа, имеем

$$IR + \underbrace{U_c}_{q/c} = \underbrace{\mathcal{E}^{\text{самоинд.}}}_{-LdI/dt} + \mathcal{E},$$

$$L\frac{d^2q}{dt^2} + R\frac{dq}{dt} + \frac{q}{c} = \mathcal{E}.$$

17.3

Механическая аналогия

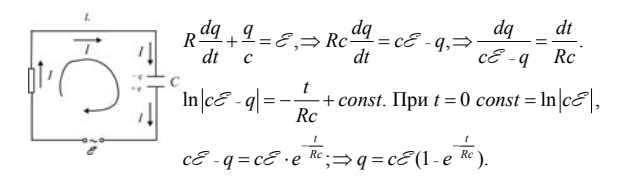


$$m\frac{d^2x}{dt^2} = -kx - \mu v_x + F,$$

$$m\frac{d^2x}{dt^2} + \mu \frac{dx}{dt} + kx = F.$$

17.4

Переходные процессы в RC- и RL-цепях.

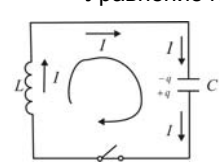




$$\begin{split} L\frac{d^2q}{dt^2} + R\frac{dq}{dt} &= \mathcal{E}; \Rightarrow L\frac{dI}{dt} + RI = \mathcal{E}; \\ c &\to \frac{1}{R}; \ R \to L; \ q \to I. \\ I &= \frac{1}{R}\mathcal{E}(1 - e^{\frac{Rt}{L}}). \end{split}$$

17.5

Электромагнитные колебания. Колебательный контур. Собственные колебания в контуре. Уравнение гармонических колебаний.

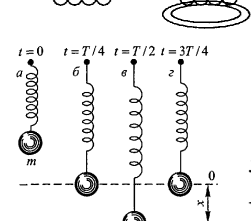


$$L\frac{d^2q}{dt^2} + \frac{q}{c} = 0; \Rightarrow \frac{d^2q}{dt^2} + \frac{1}{\underbrace{Lc}}q = 0.$$

$$\ddot{q} + \omega_0^2 q = 0, \text{ где } \omega_0 = \frac{1}{\sqrt{Lc}}.$$

 $q = A \sin \omega_0 t + B \cos \omega_0 t = a \cos(\omega_0 t + \varphi_0), I = \dot{q} = -a\omega_0 \sin(\omega_0 t + \varphi_0),$ где $a = \sqrt{A^2 + B^2}$, $\operatorname{tg} \varphi_0 = -\frac{A}{R}$. Начальные условия: при t = 0, q_0, I_0 .

В частности, если при $t=0, q=q_0, I=I_0=0, \text{ то } A=0, B=q_0; \Rightarrow$ $q = q_0 \cos \omega_0 t$, $I = -\omega_0 q_0 \sin \omega_0 t$. $W_c = \frac{q^2}{2c}$, $W_I = W_L = \frac{LI^2}{2}$.



$$q = q_0 \cos \omega_0 t,$$

$$I = -\omega_0 q_0 \sin \omega_0 t.$$

$$x = x_0 \cos \omega_0 t,$$

17.7

Энергия гармонических колебаний.

$$I \cdot \left| L \frac{dI}{dt} + \frac{q}{c} = 0, \Rightarrow L \frac{d}{dt} \frac{I^{2}}{2} + \frac{dq}{dt} \frac{q}{c} = 0, \Rightarrow \frac{d}{dt} \left(\underbrace{\frac{LI^{2}}{2}}_{W_{L}} + \underbrace{\frac{q^{2}}{2c}}_{W_{c}} \right) = 0. \Rightarrow$$

$$\Rightarrow \underbrace{\frac{LI^{2}}{2}}_{W_{L}} + \underbrace{\frac{q^{2}}{2c}}_{W_{c}} = const.$$

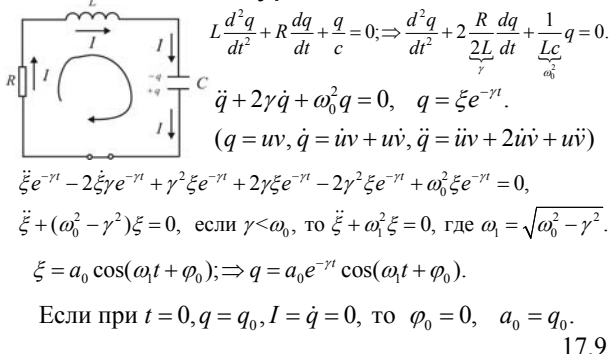
$$W_{L} = \underbrace{\frac{LI^{2}}{2}}_{2} = \underbrace{\frac{L}{2}}_{2} a^{2} \omega_{0}^{2} \sin^{2}(\omega_{0}t + \varphi_{0}) = \underbrace{\frac{a^{2}}{2c}}_{2} \frac{1}{2} (1 - \cos[2(\omega_{0}t + \varphi_{0})])$$

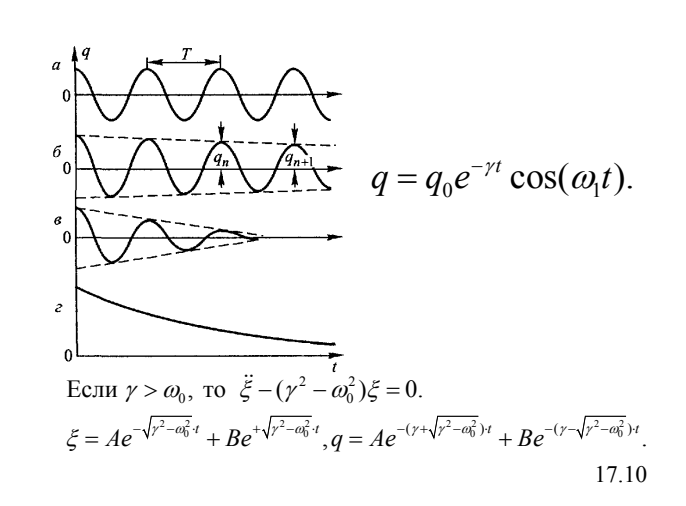
$$W_{c} = \underbrace{\frac{q^{2}}{2c}}_{2c} = \underbrace{\frac{a^{2}}{2c}}_{2c} \cos^{2}(\omega_{0}t + \varphi_{0}) = \underbrace{\frac{a^{2}}{2c}}_{2c} \frac{1}{2} (1 + \cos[2(\omega_{0}t + \varphi_{0})])$$

$$\left\langle W_{L,c} \right\rangle = \underbrace{\frac{1}{T}}_{L,c}^{t+T} W_{L,c} dt = \underbrace{\frac{a^{2}}{4c}}_{2c} \Rightarrow \left\langle W_{L} \right\rangle = \left\langle W_{c} \right\rangle.$$

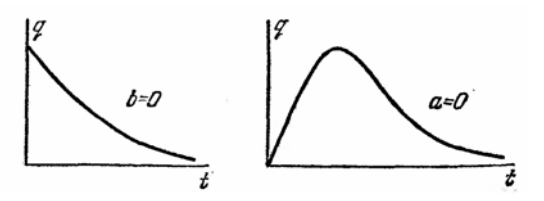
$$17.8$$

Затухающие колебания в контуре и их уравнение.





Если
$$\gamma=\omega_0$$
, то $\ddot{\xi}=0$, $\xi=(a+b\cdot t)$,
$$q=(a+b\cdot t)e^{-\gamma t}.$$



17.11

Показатель затухания (декремент затухания). Время релаксации. Логарифмический декремент затухания. Добротность контура.

 $a=a(t)=a_0e^{-\gamma t}$ – амплитуда затухающих колебаний; $\gamma=\frac{R}{2L}$ — декремент (показатель) затухания; $\tau=\frac{1}{\gamma}$ — время релаксации, время за которое амплитуда колебаний уменьшиться в e=2,7 раз. $\theta=\ln\frac{a(t)}{a(t+T)}=\gamma T$ — логарифмический декремент затухания.

 $Q = \frac{\pi}{\theta}$ — добротность колебательного контура.

17.12

Колебания в связанных контурах. Парциальные колебания и их частоты. Нормальные колебания (моды) и их частоты.

$$\begin{bmatrix}
I_{1} & I_{1} & I_{1} \\
I_{1} & I_{1} & I_{1}
\end{bmatrix}
\begin{bmatrix}
L_{12} & I_{12} & I_{12} \\
I_{1} & I_{1} & I_{1}
\end{bmatrix}
\begin{bmatrix}
L_{12} & I_{12} & I_{12} \\
I_{11} & I_{12} & I_{12}
\end{bmatrix}
\begin{bmatrix}
I_{11} & I_{12} & I_{12} & I_{12} \\
I_{12} & I_{12} & I_{12}
\end{bmatrix}
\begin{bmatrix}
I_{11} & I_{12} & I_{12} & I_{12} \\
I_{12} & I_{12} & I_{12}
\end{bmatrix}$$

$$\begin{bmatrix}
L \frac{d^{2}I_{1}}{dt^{2}} + L_{12} \frac{d^{2}I_{2}}{dt^{2}} + \frac{I_{1}}{c} = 0, \\
L \frac{d^{2}I_{2}}{dt^{2}} + L_{12} \frac{d^{2}I_{1}}{dt^{2}} + \frac{I_{2}}{c} = 0,
\end{bmatrix}$$

$$= \begin{bmatrix}
L -L_{12} \frac{dI_{1}}{dt} - L_{12} \frac{dI_{2}}{dt} - L_{12} \frac{dI_{1}}{dt}, \\
L -L_{12} \frac{d^{2}I_{1}}{dt^{2}} + L_{12} \frac{d^{2}I_{1}}{dt^{2}} + \frac{I_{2}}{c} = 0,
\end{bmatrix}$$

$$\begin{bmatrix}
L -L_{12} \frac{d^{2}I_{1}}{dt^{2}} + L_{12} \frac{d^{2}I_{1}}{dt^{2}$$

17.13

 $\begin{cases} \frac{d^2}{dt^2}(I_1 + I_2) + \underbrace{\frac{1}{(L + L_{12})c}}_{\omega_1^2}(I_1 + I_2) = 0, & I_1 + I_2 = a_1 \cos(\omega_1 t + \varphi_1^0), \\ \frac{d^2}{dt^2}(I_1 - I_2) + \underbrace{\frac{1}{(L - L_{12})c}}_{\omega_2^2}(I_1 - I_2) = 0, & I_1 - I_2 = a_2 \cos(\omega_2 t + \varphi_2^0). \end{cases}$

$$I_{1} = \frac{a_{1}}{2}\cos(\omega_{1}t + \varphi_{1}^{0}) + \frac{a_{2}}{2}\cos(\omega_{2}t + \varphi_{2}^{0}),$$

$$I_2 = \frac{a_1}{2}\cos(\omega_1 t + \varphi_1^0) - \frac{a_2}{2}\cos(\omega_2 t + \varphi_2^0),$$

$$\omega_{\rm l} = \frac{1}{\sqrt{(L+L_{\rm l2})c}}$$
 и $\omega_{\rm 2} = \frac{1}{\sqrt{(L-L_{\rm l2})c}}$ – -нормальные частоты.

17.14

Парциальная частота - это частоты колебаний системы с N степенями свободы при фиксированных N -1 степенях. В рассмотренном случае обе парциалные частоты совпадают и равны

$$\omega_{II1} = \omega_{II2} = \frac{1}{\sqrt{Lc}}.$$

Для нормальных и парциальных частот справедливо неравенство

$$\omega_{\rm l} < \omega_{\Pi 1} \le \omega_{\Pi 2} < \omega_{2}$$
.

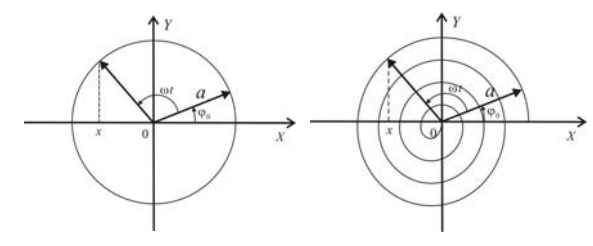
17.15

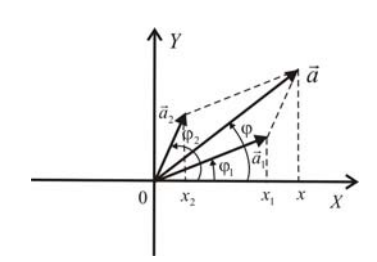
Лекция 18.

• Вынужденные колебания в контуре. Процесс установления вынужденных колебаний. Переменный синусоидальный ток. Активное, емкостное и индуктивное сопротивления. Импеданс. Закон Ома для цепей переменного тока. Метод векторных диаграмм и метод комплексных амплитуд.

Метод векторных диаграмм.

$$x = a\cos(\underbrace{\omega t + \varphi_0}_{\varphi}). \qquad x = \underbrace{a_0 e^{-\gamma t}}_{a}\cos(\omega t + \varphi_0).$$





 $egin{aligned} x_1 &= a_1 \cos(arphi_1), \quad \text{где} \quad arphi_1 &= \omega_1 t + arphi_{1,0}; \\ x_2 &= a_2 \cos(arphi_2), \quad \text{где} \quad arphi_2 &= \omega_2 t + arphi_{2,0}; \\ x &= x_1 + x_2 = a \cos(arphi). \end{aligned}$

метод комплексных амплитуд.

$$z = x + iy = \rho e^{i\varphi}$$
, где $\rho = \sqrt{x^2 + y^2}$; $\operatorname{tg} \varphi = \frac{y}{x}$.

Формула Эйлера

$$e^{i\varphi} = \cos \varphi + i \sin \varphi; \Rightarrow z = \rho \cos \varphi + i \rho \sin \varphi.$$

Имеем

$$x = a\cos(\omega t + \varphi_0) = \text{Re}[ae^{i(\omega t + \varphi_0)}].$$

$$z = ae^{i(\omega t + \varphi_0)} = a\cos(\omega t + \varphi_0) + ia\sin(\omega t + \varphi_0),$$

$$z = ae^{i(\omega t + \varphi_0)} = z = ae^{i\varphi_0}e^{i\omega t} = z_0e^{i\omega t},$$

где
$$z_0=ae^{i\varphi_0}$$
 - комлексная амплитуда.

Комплексная частота.

Пусть $\omega = \omega' + i\omega''$, тогда

$$z = z_0 e^{i\omega t} = z_0 e^{i(\omega' + i\omega'')t} = z_0 e^{-\omega''t} \cdot e^{i\omega't},$$

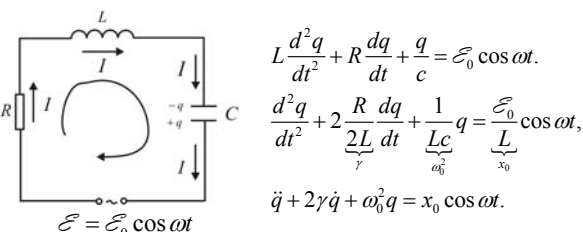
где $z_0 = a_0 e^{i\varphi_0}$ – комплексная амлитуда.

Если $\operatorname{Im} \omega = \omega'' = \gamma$ - декремент затухания,

το
$$x = \operatorname{Re} z = \operatorname{Re} \left[a_0 e^{-\gamma t} e^{i(\omega' t + \varphi_0)} \right] =$$

$$a_0e^{-\gamma t}\cos(\omega' t + \varphi_0)$$
 — затухающие колебания.

Вынужденные колебания в контуре.



$$L\frac{d^2q}{dt^2} + R\frac{dq}{dt} + \frac{q}{c} = \mathcal{E}_0 \cos \omega t.$$

$$\frac{d^2q}{dt^2} + 2\frac{R}{2I}\frac{dq}{dt} + \frac{1}{I_0}q = \frac{\mathcal{E}_0}{I_0} \cos \omega t,$$

$$\ddot{q} + 2\gamma \dot{q} + \omega_0^2 q = x_0 \cos \omega t.$$

$$q = q_{o \delta u, o \partial h} + q_{u a c m h, h e o \partial h}$$

$$\ddot{q} + 2\gamma \dot{q} + \omega_0^2 q = 0; \Rightarrow q_{o \delta u u, o \partial u} = a_0 e^{-\gamma t} \cos(\underbrace{\sqrt{\omega_0^2 - \gamma^2}}_{\omega_1} \cdot t + \varphi_0).$$
18.6

Для нахождения частного решения неоднородного уравнения вынужденных колебаний воспользуемся комплексным представлением гармонической функции.

$$\ddot{q}_{\kappa} + 2\gamma \dot{q}_{\kappa} + \omega_0^2 q_{\kappa} = x_0 e^{i\omega t},$$

$$q_{ii} = z_0 e^{i\omega t}$$
; $\Rightarrow (-\omega^2 + 2\gamma i\omega + \omega_0^2) z_0 e^{i\omega t} = x_0 e^{i\omega t}$;

$$z_0 = z_0(\omega) = \frac{x_0}{\omega_0^2 - \omega^2 + i2\gamma\omega}; \Rightarrow q_{\kappa} = \frac{x_0}{\omega_0^2 - \omega^2 + i2\gamma\omega}e^{i\omega t}.$$

$$\omega_0^2 - \omega^2 + i2\gamma\omega = \rho e^{i\varphi}$$
, где $\rho = \sqrt{\left(\omega_0^2 - \omega^2\right)^2 + 4\gamma^2\omega^2}$,

$$\operatorname{tg}\varphi = \frac{2\gamma\omega}{\omega_0^2 - \omega^2}; \Rightarrow q_{\kappa} = \frac{x_0}{\rho} e^{i(\omega t - \varphi)}; q = \operatorname{Re} q_{\kappa} = \frac{x_0}{\rho} \cos(\omega t - \varphi).$$

$$q = a_0 e^{-\gamma t} \cos(\omega_1 t + \varphi_0) + \frac{x_0}{\rho} \cos(\omega t - \varphi).$$

Общее решение равно

Структуру этого решения легко понять

с помощью метода векторных диаграм. В частности, если при t=0 величины $q=0,\ \dot{q}=0$, то





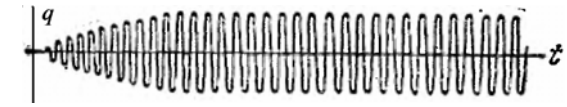
Процесс установления вынужденных колебаний при резонансе.

Пусть при t = 0, q = 0, $\dot{q} = I = 0$, тогда

$$a_0 \cos \varphi_0 + \frac{x_0}{\rho} \cos \varphi = 0,$$

$$\left| -a_0 \omega_1 \sin \varphi_0 - \gamma a_0 \cos \varphi_0 + \frac{x_0}{\varrho} \omega \sin \varphi = 0. \right|$$

Если $\gamma \ll \omega_0$ и $\omega = \omega_0$, то $\varphi_0 = -\varphi$, $a_0 = -x_0 / \rho$. $q \cong \frac{x_0}{2}(1-e^{-\gamma t})\cos(\omega t - \varphi); \quad t >> \tau = 1/\gamma.$



Переменный синусоидальный ток. Активное, емкостное и индуктивное сопротивления.

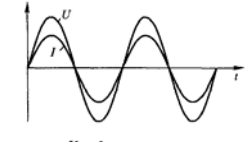
При
$$t >> \tau$$
, $q = \frac{x_0}{\rho} \cos(\omega t - \varphi)$, \Rightarrow

$$I = \frac{dq}{dt} = \underbrace{\frac{\omega x_0}{\rho}}_{I_0} \sin(\omega t - \underbrace{(\rho - \frac{\pi}{2})}_{\phi} + \frac{\pi}{2}) = I_0 \cos(\omega t - \phi);$$

$$U_c = \frac{q}{c} = \frac{x_0}{c\rho}\cos(\omega t - \varphi) = \frac{1}{\underbrace{\omega c}_{U_c}}I_0\cos(\omega t - \varphi - \frac{\pi}{2});$$

$$U_{L} = -L\frac{dI}{dt} = -LI_{0}\omega\sin(\omega t - \phi) = \underbrace{\omega LI_{0}}_{U_{L,0}}\cos(\omega t - \phi + \frac{\pi}{2});$$

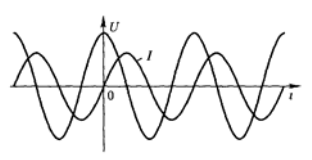
18.10



18.5



18.11



Колебания тока и напряжения на индук

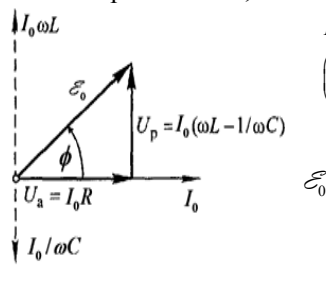


R – активное сопротивление,

$$R_c = \frac{1}{\alpha c}$$
 — емкостное сопротивление,

 $R_L = \omega L$ – индуктивное сопротивление.

Векторная диаграмма напряжений для последовательного соединения сопротивления, емкости и индуктивности.



R – активное сопр.,

$$(\omega L - \frac{1}{\omega c}) - \text{реактивное сопр.}$$

$$U_p = I_0(\omega L - 1/\omega C)$$

$$\mathcal{E}_0 = U_0 = I_0 \sqrt{R^2 + (\omega L - \frac{1}{\omega c})^2},$$

$$\text{tg} \phi = \frac{\omega L - \frac{1}{\omega c}}{R}.$$
18.13

Импеданс. Закон Ома для цепей переменного тока.

$$\begin{split} q_{\kappa} &= \frac{x_0}{\omega_0^2 - \omega^2 + i2\gamma\omega} e^{i\omega t}; \Rightarrow I_{\kappa} = \frac{dq_{\kappa}}{dt} = \frac{i\omega \cdot x_0}{\omega_0^2 - \omega^2 + i2\gamma\omega} e^{i\omega t}; \\ I_{\kappa} &= \frac{i\omega \cdot (\mathcal{E}_0/L)}{\frac{1}{Lc} - \omega^2 + i2\frac{R}{2L}\omega} e^{i\omega t} = \frac{i\omega \cdot (\mathcal{E}_0/L)}{\frac{1}{Lc} - \omega^2 + i2\frac{R}{2L}\omega} e^{i\omega t} = \\ &= \frac{\mathcal{E}_0 e^{i\omega t}}{\frac{1}{2L} + i\omega L + R} = \frac{\mathcal{E}_{\kappa}}{Z}, \text{ где } Z = \frac{1}{i\omega c} + i\omega L + R - \\ &= \frac{1}{\frac{i\omega c}{Z_c}} + \frac{i\omega L}{Z_L} + R - \\ &= \frac{1}{\frac{i\omega c}{Z_c}} + \frac{i\omega L}{Z_L} + R - \\ &= \frac{1}{\frac{i\omega c}{Z_c}} + \frac{i\omega L}{Z_L} + R - \\ &= \frac{1}{\frac{i\omega c}{Z_c}} + \frac{i\omega L}{Z_L} + R - \\ &= \frac{1}{\frac{i\omega c}{Z_c}} + \frac{i\omega L}{Z_L} + R - \\ &= \frac{1}{\frac{i\omega c}{Z_c}} + \frac{i\omega L}{Z_L} + R - \\ &= \frac{1}{\frac{i\omega c}{Z_c}} + \frac{i\omega L}{Z_L} + R - \\ &= \frac{1}{\frac{i\omega c}{Z_c}} + \frac{i\omega L}{Z_L} + R - \\ &= \frac{1}{\frac{i\omega c}{Z_c}} + \frac{i\omega L}{Z_L} + R - \\ &= \frac{1}{\frac{i\omega c}{Z_c}} + \frac{i\omega L}{Z_L} + R - \\ &= \frac{1}{\frac{i\omega c}{Z_c}} + \frac{i\omega L}{Z_L} + R - \\ &= \frac{1}{\frac{i\omega c}{Z_c}} + \frac{i\omega L}{Z_L} + R - \\ &= \frac{1}{\frac{i\omega c}{Z_c}} + \frac{i\omega L}{Z_L} + R - \\ &= \frac{1}{\frac{i\omega c}{Z_c}} + \frac{i\omega L}{Z_L} + R - \\ &= \frac{1}{\frac{i\omega c}{Z_c}} + \frac{i\omega L}{Z_L} + \frac{i\omega L}{Z_L} + R - \\ &= \frac{1}{\frac{i\omega c}{Z_c}} + \frac{i\omega L}{Z_L} + R - \\ &= \frac{1}{\frac{i\omega c}{Z_c}} + \frac{i\omega L}{Z_L} + R - \\ &= \frac{1}{\frac{i\omega c}{Z_c}} + \frac{i\omega L}{Z_L} + R - \\ &= \frac{1}{\frac{i\omega c}{Z_c}} + \frac{i\omega L}{Z_L} + R - \\ &= \frac{1}{\frac{i\omega c}{Z_c}} + \frac{i\omega L}{Z_L} + R - \\ &= \frac{1}{\frac{i\omega c}{Z_c}} + \frac{i\omega L}{Z_L} + R - \\ &= \frac{1}{\frac{i\omega c}{Z_c}} + \frac{i\omega L}{Z_c} + \frac{i\omega$$

$$I_{\scriptscriptstyle K} = \frac{\mathscr{E}_{\scriptscriptstyle K}}{Z} = \frac{\mathscr{E}_{\scriptscriptstyle K}}{|Z|} e^{i\phi}$$
, где $Z = R + i \left(\omega L - \frac{1}{\omega c}\right)$, $tg \phi = \frac{\omega L - \frac{1}{\omega c}}{R}$.

Так как
$$\left|I_{\kappa}\right|=I_{0},\;\left|\mathcal{E}_{\kappa}\right|=\mathcal{E}_{0},\;\left|Z\right|=\sqrt{R^{2}+\left(\omega L-\frac{1}{\omega c}\right)^{2}}$$

$$\left|I_{\kappa}\right|=\frac{\left|\mathcal{E}_{\kappa}\right|}{\left|Z\right|};\Rightarrow I_{0}=\frac{\mathcal{E}_{0}}{\sqrt{R^{2}+\left(\omega L-\frac{1}{\omega c}\right)^{2}}},\;\;\mathrm{tg}\phi=\frac{\omega L-\frac{1}{\omega c}}{R}.$$

R — активное сопротивление,

 $8\gamma^{2}(\omega_{0}^{2}-\gamma^{2})=(\omega_{0}^{2}-\omega^{2})^{2}+4\gamma^{2}\omega^{2};$

$$\left(\omega L - \frac{1}{\omega c}\right)$$
 – реактивное сопротивление.

18.15

19.3

Лекция 19.

- Резонанс напряжений. Напряжения и токи при резонансе. Ширина резонансной кривой.
- Резонанс токов. Правила Кирхгофа для цепей переменного тока.
- Работа и мошность переменного тока. Эффективные значения тока и напряжения.

Резонанс напряжений. Напряжения и токи при резонансе. Исследуем зависимость амплитуды $U_{c\,0}$ и фазы φ от частоты ω

вынуждающей ЭДС (напряжения) в последовательном RLC контуре. $\mathcal{E} = \mathcal{E}_0 \cos \omega t$.

$$U_{c} = \frac{q}{c} = \frac{x_{0}}{c\rho} \cos(\omega t - \varphi), \text{ где } \rho = \sqrt{\left(\omega_{0}^{2} - \omega^{2}\right)^{2} + 4\gamma^{2}\omega^{2}}, \text{ tg} \varphi = \frac{2\gamma\omega}{\omega_{0}^{2} - \omega^{2}};$$

$$U_{c,0} = \frac{x_{0}}{c\rho} = \frac{\mathcal{E}_{0}}{Lc\sqrt{\left(\omega_{c}^{2} - \omega^{2}\right)^{2} + 4\gamma^{2}\omega^{2}}} = \frac{\mathcal{E}_{0}\omega_{0}^{2}}{\sqrt{\left(\omega_{c}^{2} - \omega^{2}\right)^{2} + 4\gamma^{2}\omega^{2}}}.$$

При $\omega \to 0$, $U_{c0} \to \mathcal{E}_0$ – статическое напряжение. При $\omega \to \infty$, $U_{a0} \to 0$.

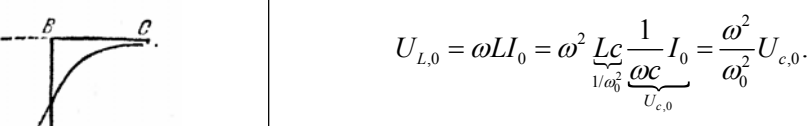
19.2

 $\omega_{nes}^2 = \omega_0^2 - 2\gamma^2; \quad \omega_{nes} = \sqrt{\omega_0^2 - 2\gamma^2}.$ $U_{c,\text{max}} = \frac{\mathcal{E}_0 \omega_0^2}{\sqrt{4\gamma^4 + 4\gamma^2 \omega_c^2 - 8\gamma^4}} = \frac{\mathcal{E}_0 \omega_0^2}{2\gamma_0 \sqrt{\omega_c^2 - \gamma^2}}.$ В частности, если $\gamma << \omega_0$, то $U_{c,\text{max}} = \mathcal{E}_0 \frac{\omega_0}{2\nu} = \mathcal{E}_0 \frac{1}{R} \sqrt{\frac{L}{c}}, \quad \frac{U_{c,\text{max}}}{\mathcal{E}_c} = \frac{\omega_0}{2\nu} = \frac{2\pi}{T} \frac{1}{2\nu} =$ $=\frac{\pi}{T\nu}=\frac{\pi}{\theta}=Q$ – добротность контура.

 $\omega_{1}^{2} = \underbrace{\omega_{0}^{2} - 2\gamma^{2}}_{3} - 2\gamma\sqrt{\omega_{0}^{2} - \gamma^{2}}; \omega_{2}^{2} = \underbrace{\omega_{0}^{2} - 2\gamma^{2}}_{3} + 2\gamma\sqrt{\omega_{0}^{2} - \gamma^{2}};$

 $\frac{dU_{c,0}}{d\omega} = \frac{\mathcal{E}_0 \omega_0^2}{2^3} (-\frac{1}{2})[-2(\omega_0^2 - \omega^2)2\omega + 4\gamma^2 2\omega] = 0;$

19.1



тогда $U_{I,0} = U_{c,0} = \mathcal{E}_0 Q$.

Ширина резонансной кривой. $\frac{U_{c,\text{max}}}{\sqrt{2}} = U_{c,0}(\omega); \quad \frac{1}{\sqrt{2}} \frac{\mathcal{E}_0 \omega_0^2}{2\gamma \sqrt{\omega_0^2 - \gamma^2}} = \frac{\mathcal{E}_0 \omega_0^2}{\sqrt{(\omega_0^2 - \omega^2)^2 + 4\gamma^2 \omega^2}};$

При резонансе
$$\omega=\omega_{pes}\approx\omega_0$$
, если $\gamma<<\omega_0$, тогда $U_{L,0}=U_{c,0}=\mathcal{E}_0Q$.

$$U_{c,0} = \frac{\mathcal{E}_0 \omega_0^2}{\sqrt{\left(\omega_0^2 - \omega^2\right)^2 + 4\gamma^2 \omega^2}} \qquad \text{tg} \varphi = \frac{2\gamma \omega}{\omega_0^2 - \omega^2}$$

$$U_{c,0} = \frac{\mathcal{E}_0 \omega_0^2}{\sqrt{\left(\omega_0^2 - \omega^2\right)^2 + 4\gamma^2 \omega^2}} \qquad \text{tg} \varphi = \frac{2\gamma \omega}{\omega_0^2 - \omega^2}$$

Если
$$\gamma << \omega_0$$
, то $\omega_1^2 = \omega_0^2 - 2\gamma \omega_0$; $\omega_2^2 = \omega_0^2 + 2\gamma \omega_0$; $\Rightarrow \omega_1 = \omega_0 - \gamma$; $\omega_2 = \omega_0 + \gamma$; $\Delta \omega = \omega_2 - \omega_1 = 2\gamma$.
$$\frac{\omega_0}{\Delta \omega} = \frac{\omega_0}{2\gamma} = \frac{2\pi}{2\gamma T} = \frac{\pi}{\theta} = Q - \text{добротность контура.}$$

Точные оценки дают

$$\omega_{pes} - \omega_1 > \omega_2 - \omega_{pes}$$

(в отличие от рисунка 301 в [3])

19.7

Токи при резонансе.

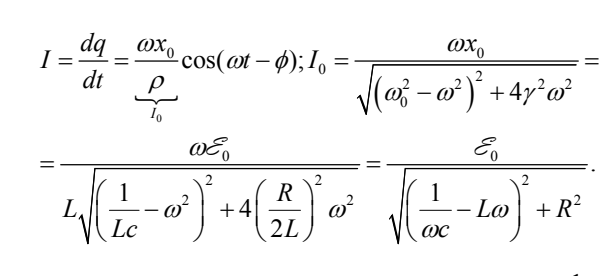
$$\mathcal{E} = \mathcal{E}_0 \cos \omega t$$
,

$$I = \frac{dq}{dt} = -\frac{\omega x_0}{\rho} \sin(\omega t - \varphi) = \frac{\omega x_0}{\rho} \cos(\omega t - (\varphi - \frac{\pi}{2})).$$

$$tg\phi = tg(\varphi - \frac{\pi}{2}) = -ctg\varphi = -\frac{1}{tg\varphi} = -\frac{\omega_0^2 - \omega^2}{2\gamma\omega} =$$
$$= -\frac{\frac{1}{Lc} - \omega^2}{2\frac{R}{2L}\omega} = -\frac{\frac{1}{\omega c} - \omega L}{R} = \frac{\omega L - \frac{1}{\omega c}}{R}.$$

$$\frac{1}{\omega} = -\frac{\omega c}{R} = \frac{\omega c}{R}$$
.

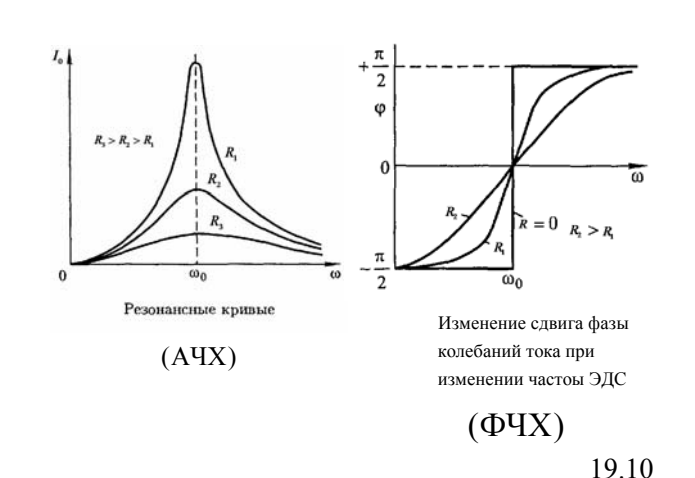
19.8



$$I = \frac{\mathcal{E}_0}{\sqrt{R^2 + \left(\omega L - \frac{1}{\omega c}\right)^2}} \cos(\omega t - \phi); \quad \text{tg}\phi = \frac{\omega L - \frac{1}{\omega c}}{R}.$$

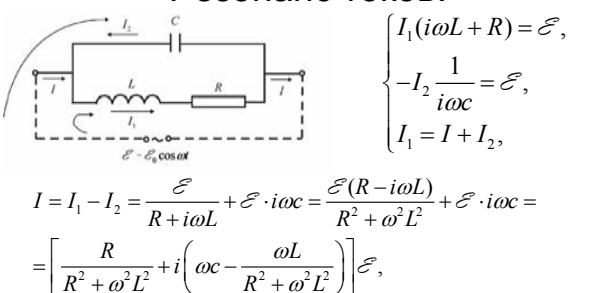
$$\omega_{pes} = \omega_0$$

19.9





Резонанс токов.



$$I_{0} = \sqrt{\left(\frac{R}{R^{2} + \omega^{2}L^{2}}\right)^{2} + \left(\omega c - \frac{\omega L}{R^{2} + \omega^{2}L^{2}}\right)^{2}} \cdot \mathcal{E}_{0}; \quad \text{tg}\phi = \frac{\omega c - \frac{\omega L}{R^{2} + \omega^{2}L^{2}}}{\frac{R}{R^{2} + \omega^{2}L^{2}}};$$

$$19.12$$



Работа и мощность переменного тока. Эффективные значения тока и напряжения

 $I = \frac{U}{Z} = \frac{U}{R + i\omega L - i\frac{1}{\omega C}} = \frac{U_0 e^{i\omega t}}{|Z|} = \frac{U_0 e^{i\omega t}}{|Z|},$ где $|Z| = \sqrt{R^2 + \left(\omega L - \frac{1}{\omega c}\right)^2}$; $tg\phi = \frac{\omega L - \frac{1}{\omega c}}{R}$. $I = \frac{U_0}{|\mathcal{I}|} \cos(\omega t - \phi) = I_0 \cos(\omega t - \phi); \Rightarrow P = UI = U_0 \cos(\omega t) I_0 \cos(\omega t - \phi) =$ $= [2\cos A\cos B = \cos(A+B) + \cos(A-B)] = \frac{I_0 U_0}{2} [\cos(\omega t - \phi) + \cos(\phi)].$ $< P > = \frac{1}{T} \int_{t}^{t+T} P dt = \frac{I_0 U_0}{2} \cos \phi = \underbrace{[U_0 \cos \phi = I_0 R]}_{\text{см. векторную диаграму}} = \frac{I_0^2 R}{2} = I_e^2 R,$

 $I_e = \frac{I_0}{\sqrt{2}}$ – эффективное значение тока,

 $U_e = \frac{U_0}{\sqrt{2}}$ — назывется эффективным значением напряжения.

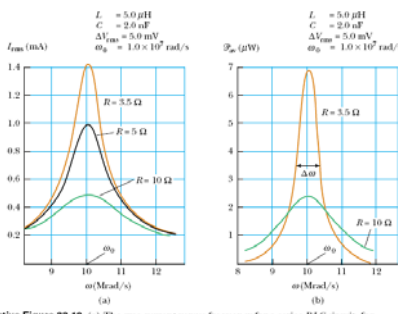
 $\cos \phi$ – соэффициент мощности.

$$\phi = \arg(R + i(\omega L - \frac{1}{\omega c})); \Rightarrow \cos \phi = \frac{R}{\sqrt{R^2 + (\omega L - \frac{1}{\omega c})^2}}.$$

Если $(\omega L - \frac{1}{\omega c})^2 >> R^2$, то $\cos \phi << 1$.

Зависимость средней мощности переменного тока поглощаемой в контуре от частоты имеет резонансный вид.





Active Figure 33.19 (a) The rms current versus frequency for a series RLC circuit, for three values of R. The current reaches its maximum value at the resonance frequency ω_0 . (b) Average power delivered to the circuit versus frequency for the series RLC circuit, for two values of R.

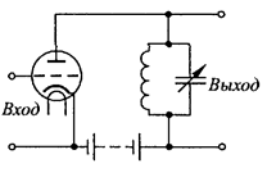
 $Q = \frac{\omega_0}{\Delta \omega}$

19.16

Входной контур радиоприемника (схематически)

19.17

Применение резонанса токов.



Резонансный усилитель

Cx

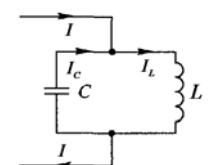


Схема нагревающего контура индукционной цепи

19.18

Лекция 20.

- Техническое использование переменных токов. Генераторы и электродвигатели. Трехфазный ток. Получение и использование вращающегося магнитного поля. Соединение обмоток генератора и нагрузки «звездой» и «треугольником». Фазное и линейное напряжения.
- Трансформатор. Принцип действия, устройство, применение. Коэффициент трансформации. Роль сердечника.

Генераторы и электродвигатели. Принцип действия генератора переменного тока.

Применение резонанса напряжений в

радиотехнике.

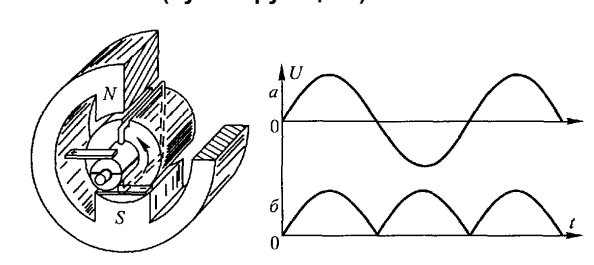
 $U_{0L} = \mathcal{E}_0 Q$

напряжений при резонансе



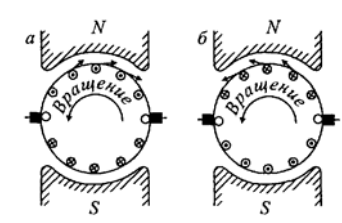
 $\mathcal{E} = -\frac{d\Phi}{dt} = -\frac{d}{dt}BS\cos(\omega t + \varphi_0) = \underbrace{BS\omega}_{\mathcal{E}_0}\sin(\omega t + \varphi_0) = \mathcal{E}_0\sin(\omega t + \varphi_0).$ $I = \frac{\mathcal{E}}{R} = \frac{\mathcal{E}_0}{R}\sin(\omega t + \varphi_0) = I_0\sin(\omega t + \varphi_0).$ 20.2

Принцип действия генератора постоянного (пульсирующего) тока.



20.3

Электродвигатель постоянного тока.



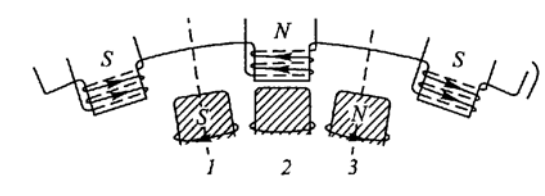
Электродинамические силы, действующие на якорь генерагора (a) и двигателя (b) постоянного тока

$$I_{\mathcal{A}} = \frac{(U - \mathcal{E}_{\text{инд.}})}{r_{-}}$$

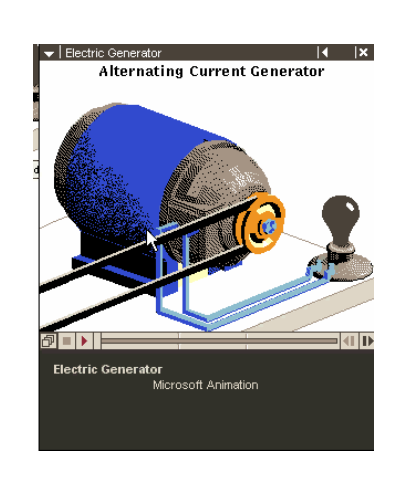
Т_Я
Для пуска мощных электродвигателей используется реостат, так как при неподвижном якоре ток

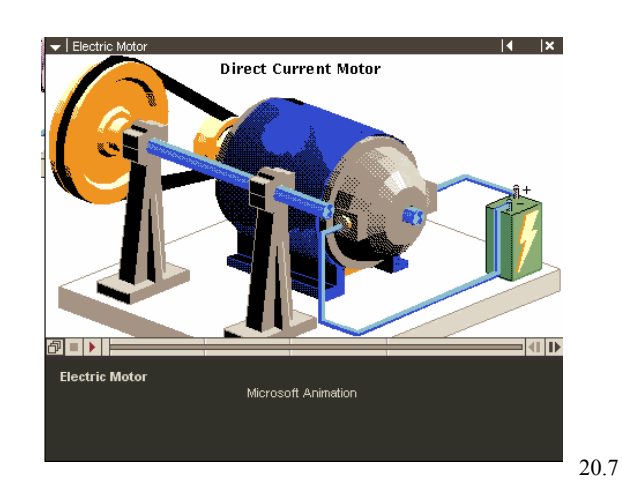
 $I_{\mathcal{A}} = U / r_{\mathcal{A}}$ большой.

Синхронные двигатели.



Принцип синхронного двигателя переменного тока





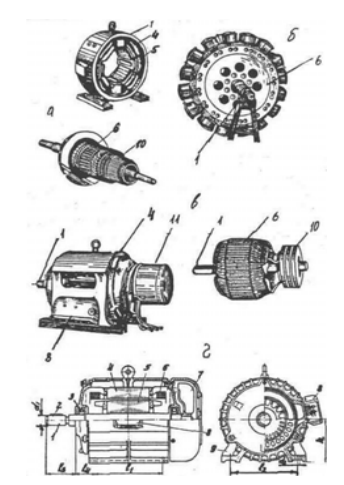
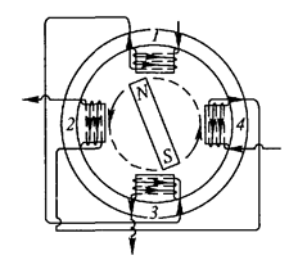


Рис. 2. Электрические двигатели: а - постоянного тока; 6 - синхронные; в ~ асинхронные с фазыми ротором; г - асинхронные трежфазные с коротко заинхронные трежфазные с коротко заинхронные трежфазные с коротко заинхронные трежфазные с коротко заинхронные дели и 4А. 1 - вал, 2 ~ шпонка, 3 - подшипник, 4 - статор, 5 - обмотка статора, 6 - ротор (якоры); 7 - вентилятор; 8 - коробка выводов; 9 - лапа, 10 - коллектор; 11 - щетки; 11, 12 - продольное и поперечное расстояния в лапах; 13 - длина выступающего конца вала; 14 - размер выступающего конца вала; 14 - размер выступающей крышки; h - высота оси вращения; d1, d2 - диаметры вала и отверстий в лапах.

Двухфазный ток.



 $\mathcal{E}_1 = \mathcal{E}_0 \sin(\omega t),$ $\mathcal{E}_2 = \mathcal{E}_0 \sin(\omega t - 90^0).$

Получение двухфазного тока

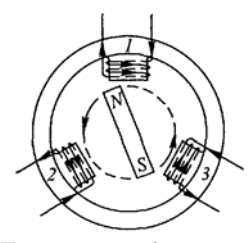
20.9

Схема двухфазной системы токов

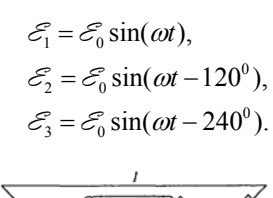
Напряжения между концами обмоток O_1 и O_2 называют фазными напряжениями, токи в O_1 и O_2 — фазными токами. Этими же названиями обозначают напряжения и токи в нагрузочных сопротивлениях r_1 и r_2 . Напряжения же между проводами линии I, 2 и 3 называют линейными напряжениями, а токи в этих проводах — линейными токами.

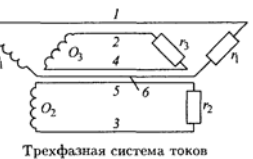
Если принять потенциал общего провода 1 за нуль, то $U_{12} = \mathcal{E}_0 \sin(\omega t), \quad U_{13} = \mathcal{E}_0 \sin(\omega t - 90^0), \quad U_{23} = U_{12} - U_{13} =$ $= \mathcal{E}_0 \sin(\omega t) - \mathcal{E}_0 \sin(\omega t - 90^0) = 2\mathcal{E}_0 \sin 45^0 \cos(\omega t - 45^0) =$ $= \sqrt{2}\mathcal{E}_0 \sin(\omega t + 45^0).$ 20.10

Трехфазный ток.



Получение трехфазного тока

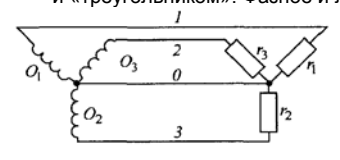




20.11

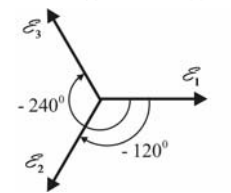
20.8

Соединение обмоток генератора и нагрузки «звездой» и «треугольником». Фазное и линейное напряжения.





Соединение звездой



Соединение трех источников тока звездой

20.12

\mathcal{E}_{3} -240^{0} \mathcal{E}_{1} -120^{0} \mathcal{E}_{2} \mathcal{E}_{3} U_{0}

$$U_{13} = \mathcal{E}_1 - \mathcal{E}_3 = \mathcal{E}_0 \sin(\omega t) - \mathcal{E}_0 \sin(\omega t - 240^0) =$$

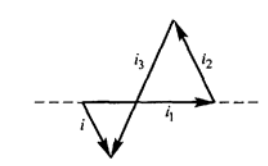
$$= 2\mathcal{E}_0 \underbrace{\cos(30^0)}_{\sqrt{3}/2} \sin(\omega t - 30^0) = \sqrt{3}\mathcal{E}_0 \sin(\omega t - 30^0).$$

Аналогично получим $U_{12} = \mathcal{E}_1 - \mathcal{E}_2 = \mathcal{E}_0 \sin(\omega t) - \mathcal{E}_0 \sin(\omega t - 120^0) = \sqrt{3} \mathcal{E}_0 \sin(\omega t + 30^0).$

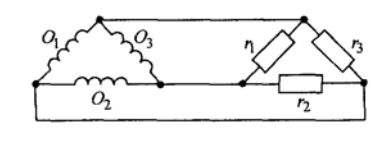
20.13

120°

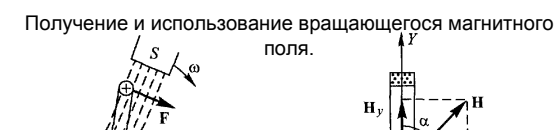
Векторная диаграмма токов в нулевом проводе. Симметричная нагрузка



Векторная диаграмма токов в нулевом проводе. Несимметричная нагрузка



Соединение треугольником



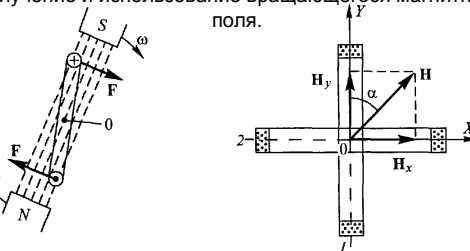


Рис 222. Действие врашающегося магнитного поля на замкнутый ви-

Рис. 223. Возникновение вращающегося магнитного поля двухфаз-

$$H_x = H_0 \sin \omega t; H_y = H_0 \sin(\omega t - 90^0) = -H_0 \cos \omega t.$$

20.16

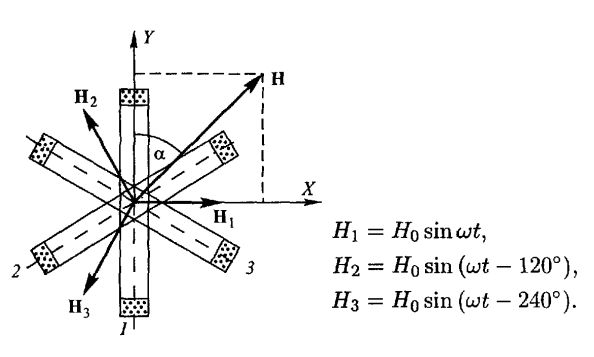
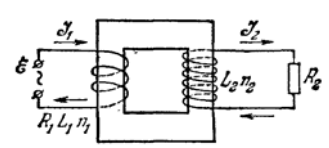


Рис 224 Возникновение вращающегося магнитного поля трехфазного

20.17

Трансформатор. Принцип действия, устройство, применение. Коэффициент трансформации. Роль сердечника.



$$R_1 I_1 - \underbrace{O_1}_{\mathscr{E}} - \underbrace{\Phi_1}_{i\omega\Phi_1},$$

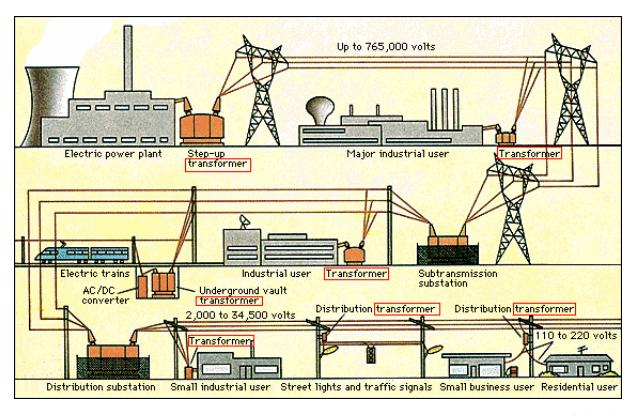
$$R_2 \underline{I_2} = -\dot{\Phi}_2.$$

Обычно
$$I_1R_1 << \mathcal{E} \Rightarrow U_1 = i\omega\Phi_1, U_2 = -i\omega\Phi_2. \;\; \Phi_1 = n_1\Phi_0, \Phi_2 = n_2\Phi_0,$$

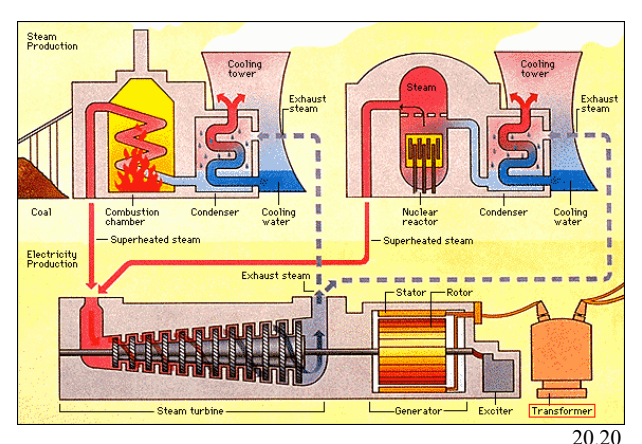
$$\frac{\left|U_{2}\right|}{\left|U_{1}\right|}=\frac{n_{2}}{n_{1}}=K-\text{коэффициент трансформации.}$$

$$P_{1}=P_{2};\Rightarrow I_{1}U_{1}=I_{2}U_{2};\Rightarrow\frac{I_{2}}{I_{1}}=\frac{U_{1}}{U_{2}}=\frac{n_{1}}{n_{2}}.$$

$$P_1 = P_2; \Rightarrow I_1U_1 = I_2U_2; \Rightarrow \frac{I_2}{I_1} = \frac{U_1}{U_2} = \frac{n_1}{n_2}$$



20.19



Лекция 21.

- Высокочастотные токи. Скин-эффект. Толщина скин-слоя.
- Система уравнений Максвелла как обобщение опытных данных. Ток проводимости и ток смещения. Взаимные превращения электрического и магнитного полей. Электромагнитные волны. Волновое уравнение. Вектор Умова-Пойтинга. Скорость распространения электромагнитных волн.

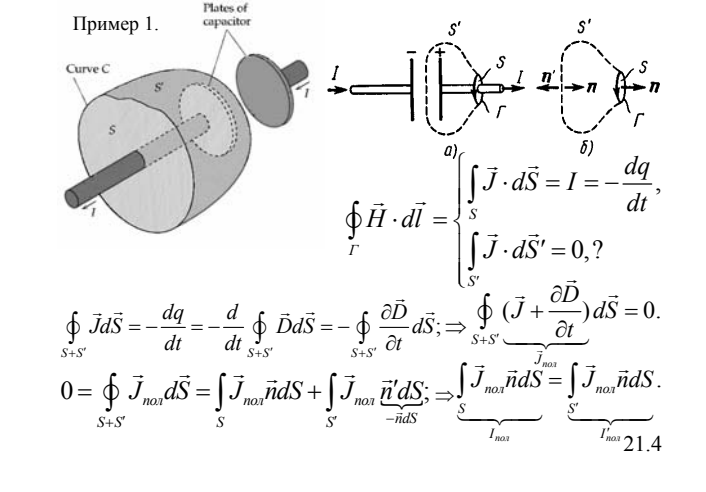
21.1

Система уравнений Максвелла как обобщение опытных данных. Ток проводимости и ток смещения.

$$\begin{cases} \operatorname{div} \vec{D} = \rho, \\ \operatorname{rot} \vec{E} = 0, \end{cases} \Leftrightarrow \begin{cases} \int_{S_r} \vec{D} d\vec{S} = \int_{V} \rho dV, \\ \oint_{L} \vec{E} \cdot d\vec{I} = 0. \end{cases}$$

$$\begin{cases} \operatorname{div} \vec{B} = 0, \\ \operatorname{rot} \vec{H} = \vec{J}, \end{cases} \Leftrightarrow \begin{cases} \int_{S_r} \vec{B} d\vec{S} = 0, \\ \oint_{L} \vec{H} \cdot d\vec{I} = \int_{S_L} \vec{J} \cdot d\vec{S}. \end{cases}$$

$$\begin{cases} \operatorname{div} \vec{D} = \rho, \\ \operatorname{div} \vec{B} = 0, \\ \operatorname{rot} \vec{E} = -\frac{\partial \vec{B}}{\partial t}, \end{cases} \Leftrightarrow \begin{cases} \int\limits_{S_{V}} \vec{D} d\vec{S} = \int\limits_{V} \rho dV, \\ \int\limits_{S_{V}} \vec{B} d\vec{S} = 0, \end{cases} \\ \operatorname{rot} \vec{H} = \vec{J} + \frac{\partial \vec{D}}{\partial t}, \\ \int\limits_{C_{M}} \vec{E} d\vec{l} = -\frac{d}{dt} \int\limits_{S_{L}} \vec{B} d\vec{S}, \\ \oint\limits_{L} \vec{H} \cdot d\vec{l} = \int\limits_{S_{L}} \vec{J} \cdot d\vec{S} + \frac{d}{dt} \int\limits_{S_{L}} \vec{D} d\vec{S}, \end{cases} \\ \vec{J}_{CM} = \frac{\partial \vec{D}}{\partial t} - \text{плотность тока смещения.} \\ I_{CM} = \int\limits_{S} \vec{J}_{CM} d\vec{S} = \int\limits_{S} \frac{\partial \vec{D}}{\partial t} d\vec{S} - \text{ток смещения.} \end{cases}$$





Электрическое поле в опредсленный момент времени. Величина поля Е всюду уменьшается со временем. Ток проводимости (белые стрелки) ток смещения (черные стрелки).



Пример 2.

$$\operatorname{rot} \underbrace{\vec{H}}_{=0} = \vec{J} + \frac{\partial \vec{D}}{\underbrace{\partial t}_{cx}} = 0; \quad D4\pi r^2 = q; \Rightarrow$$

$$J = -\frac{\partial D}{\partial t} = -\frac{\partial q}{\partial t} \frac{1}{4\pi r^2} = \frac{I}{4\pi r^2};$$

Высокочастотные токи. Скинэффект. Толщина скин-слоя

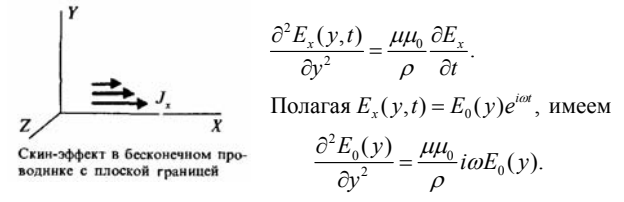
Второе условие квазистационарности: $|\vec{J}| \gg \frac{|\partial \vec{D}|}{\partial t}$

Пусть $\vec{E} = \vec{E}_0 \sin \omega t$. Тогда, учитывая $\vec{D} = \varepsilon \varepsilon_0 \vec{E}, \vec{J} = \vec{E} / \rho$, имеем $E_0 / \rho >> \omega \varepsilon \varepsilon_0 E_0$. Или $\omega << 1/(\varepsilon \varepsilon_0 \rho)$. Для меди

$$1/(\varepsilon_0 \rho) = 1/(8.85 \cdot 10^{-12} \Phi / M \cdot 1.72 \cdot 10^{-8} O_M \cdot M) = 6.6 \cdot 10^{18} pao/c$$

$$\begin{cases} \operatorname{rot}\vec{E} = -\frac{\partial\vec{B}}{\partial t}, & \underbrace{\operatorname{rot}(\operatorname{rot}\vec{E})}_{\operatorname{grad}\underbrace{\dim\vec{E}-\Delta\vec{E}}} = -\operatorname{rot}\frac{\partial\vec{B}}{\partial t} = -\frac{\partial\operatorname{rot}(\mu\mu_0\vec{H})}{\partial t} = -\mu\mu_0\frac{\partial\vec{J}}{\partial t}; \\ \operatorname{rot}\vec{H} = \vec{J}, & \Delta\vec{E} = \frac{\mu\mu_0}{\rho}\frac{\partial\vec{E}}{\partial t}. \end{cases}$$

21.6

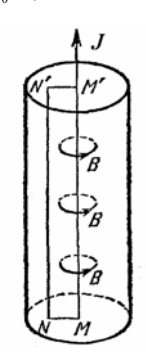


$$E_{0}(y) = Ae^{-ky} + Be^{ky}, \quad k^{2}E_{0}(y) = i\frac{\mu\mu_{0}\omega}{\rho}E_{0}(y), \quad \frac{1}{\delta^{2}} = \frac{\mu\mu_{0}\omega}{2\rho}.$$

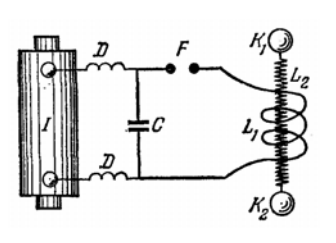
$$k = \frac{\sqrt{2}}{\delta}\sqrt{i} = \sqrt{2}\frac{1}{\delta}\frac{i+1}{\sqrt{2}}. \quad \text{Из граничных условий:} \quad |E_{0}(y)| < \infty \text{ при } y \to \infty, \quad \Rightarrow B = 0.$$

$$E_{x}(y,t) = Ae^{-\frac{x}{\delta}(1+i)}e^{i\omega t} = Ae^{-\frac{x}{\delta}}e^{i(\omega t - \frac{x}{\delta})}. \quad \delta = \sqrt{\frac{2\rho}{\mu\mu_{0}\omega}} - \text{-толщина скин-слоя.}$$

Например, если ω = 10^4 рад/с $^{-1}$, ρ = $1,72 \cdot 10^{-8}$ O $M \cdot M$ (медь), μ =1, μ ₀= $1,27 \cdot 10^{-6}$ Гн/м , δ =1,65 M M



Высокочастотный резонансный трансформатор Тесла



21.8

Взаимные превращения электрического и магнитного полей. Электромагнитные волны. Волновое уравнение.

Рассмотрим электромагнитное поле в однородной изотропной и бесконечной среде или в вакууме при ρ =0 и J = 0 .

$$\begin{cases} \operatorname{div}\vec{D} = 0, & \operatorname{div}\vec{B} = 0, \\ \vec{D} = \varepsilon\varepsilon_0\vec{E}, & \vec{B} = \mu\mu_0\vec{H}, \\ \operatorname{rot}\left(\operatorname{rot}\vec{E} = -\frac{\partial\vec{B}}{\partial t}\right), & \operatorname{grad}\underbrace{\frac{\operatorname{div}\vec{E}}{\varepsilon_0} - \Delta\vec{E}}_{=0} = -\frac{\partial}{\partial t}\operatorname{rot}\vec{B} = -\mu\mu_0\frac{\partial^2\vec{D}}{\partial t^2}, \\ \operatorname{grad}\underbrace{\frac{\operatorname{div}\vec{H}}{\varepsilon_0} - \Delta\vec{H}}_{=0} = \frac{\partial}{\partial t}\operatorname{rot}\vec{D} = -\varepsilon\varepsilon_0\frac{\partial^2\vec{B}}{\partial t^2}, \\ \operatorname{rot}\left(\operatorname{rot}\vec{H} = \frac{\partial\vec{D}}{\partial t}\right), & \left\{\Delta\vec{E} - \underbrace{\varepsilon\varepsilon_0\mu\mu_0}_{1/\sqrt{2}}\frac{\partial^2\vec{E}}{\partial t^2} = 0, & \Gamma_{\mathcal{H}}e \ v = \frac{1}{\sqrt{\varepsilon\varepsilon_0\mu\mu_0}} = \frac{c}{\sqrt{\varepsilon\mu}}, \\ \Delta\vec{H} - \underbrace{\varepsilon\varepsilon_0\mu\mu_0}_{1/\sqrt{2}}\frac{\partial^2\vec{H}}{\partial t^2} = 0, & C = \frac{1}{\sqrt{\varepsilon_0\mu_0}} \end{cases} \right.$$

21.9

21.12

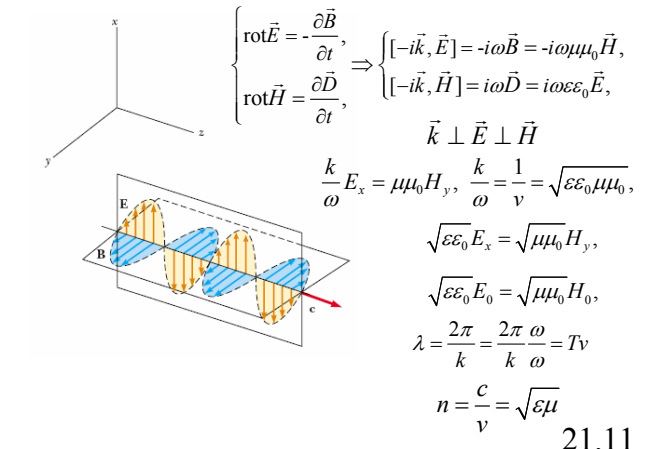
Пусть
$$\vec{E} = \vec{E}(z,t), \vec{H} = \vec{H}(z,t).$$

$$\begin{cases} \frac{\partial^2 \vec{E}}{\partial z^2} - \frac{1}{v^2} \frac{\partial^2 \vec{E}}{\partial t^2} = 0, \Rightarrow \vec{E}(t - \frac{z}{v}), \\ \Delta \vec{H} - \frac{1}{v^2} \frac{\partial^2 \vec{H}}{\partial t^2} = 0, \Rightarrow \vec{H}(t - \frac{z}{v}), \end{cases}$$

$$\vec{E} = \vec{E}_0 \cos[\omega(t - \frac{z}{v})] = \vec{E}_0 \cos[\omega t - \frac{\omega}{v}z] = \vec{E}_0 \cos[\omega t - kz],$$

$$\vec{E} = \vec{E}_0 \cos[\omega t - \vec{k}\vec{r}] = \vec{E}_0 e^{i(\omega t - \vec{k}\vec{r})}.$$
 Аналогично $\vec{H}_0 \cos[\omega t - \vec{k}\vec{r}] = \vec{H}_0 e^{i(\omega t - \vec{k}\vec{r})}.$
$$\frac{\partial}{\partial t} \vec{E}_0 e^{i(\omega t - \vec{k}\vec{r})} = i\omega \vec{E}_0 e^{i(\omega t - \vec{k}\vec{r})}; \operatorname{rot} \vec{E} = [\nabla, \vec{E}] = -i[\vec{k}, \vec{E}],$$

$$\operatorname{div} \vec{E} = \nabla \cdot \vec{E} = -i\vec{k} \cdot \vec{E}. \qquad 21.10$$



Вектор Умова-Пойтинга.

$$w = \vec{E}\vec{D}/2 + \vec{H}\vec{B}/2$$
 Учитывая равенства $\vec{D} = -[\frac{\vec{k}}{\omega}, \vec{H}], \ \vec{B} = [\frac{\vec{k}}{\omega}, \vec{E}], \ \text{имеем}$
$$w = -\vec{E}[\frac{\vec{k}}{\omega}, \vec{H}]/2 + \vec{H}[\frac{\vec{k}}{\omega}, \vec{E}]/2 = \vec{H}[\frac{\vec{k}}{\omega}, \vec{E}] = \frac{\vec{k}}{\omega}[\vec{E}, \vec{H}].$$
 $\vec{S} = [\vec{E}, \vec{H}] - \ \text{вектор Умова-Пойтинга}, \ \vec{k} \perp \vec{E} \perp \vec{H},$

 $\left| \vec{S} \right| = \frac{\omega}{k} w = vw = |$ для вакуума |= cw.

Вектор Умова-Пойтинга (строгий вывод).

$$P = \int_{\infty} \vec{J} \vec{E} dV = \int_{\infty} (\text{rot} \vec{H} - \frac{\partial \vec{D}}{\partial t}) \vec{E} dV = |\text{div}[\vec{E}, \vec{H}] = \text{rot} \vec{E} \cdot \vec{H} - \text{rot} \vec{H} \cdot \vec{E}| =$$

$$= \int_{\infty} (\text{rot} \vec{E} \cdot \vec{H} - \text{div}[\vec{E}, \vec{H}] - \frac{\partial \vec{D}}{\partial t} \vec{E}) dV = -\int_{\infty} \text{div}[\vec{E}, \vec{H}] dV +$$

$$+ \int_{\infty} (-\frac{\partial \vec{B}}{\partial t} \vec{H} - \frac{\partial \vec{D}}{\partial t} \vec{E}) dV = |\vec{B}| = \mu \mu_0 \vec{H}; \quad \vec{D} = \varepsilon \varepsilon_0 \vec{E}| =$$

$$- \int_{S_{R \to \infty}} [\vec{E}, \vec{H}] d\vec{\sigma} - \frac{\partial}{\partial t} \int_{\infty} (\frac{\vec{H} \vec{B}}{2} + \frac{\vec{E} \vec{D}}{2}) dV;$$

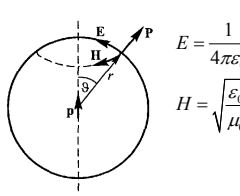
$$\frac{\partial}{\partial t} \int_{W_{\text{SNORTHOMAIN MINIMAL METRICAL METRICAL$$

Излучение электромагнитных волн элементарным диполем.



тарный диполь

$$\begin{split} p &= p_0 \sin \omega t, \text{ где } p_0 = q_0 I; \\ I &= dq \, / \, dt = q_0 \omega \cos \omega t = I_0 \cos \omega t, p_0 = I_0 I \, / \, \omega. \\ \Pi \text{ри } r >> \lambda - \text{волновая зона, поле равно} \end{split}$$

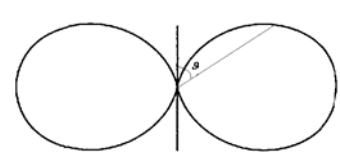


21.14

21.17

21.20

Для гармонических колебаний $\ddot{p}(t-r/c) = -p_0\omega^2\sin[\omega(t-r/c)].$ $S = EH = \frac{p_0^2\omega^4\sin^2\vartheta}{16\pi^2\varepsilon_0c^3r^2}\sin^2[\omega(t-r/c)]; \Longrightarrow < S > = \frac{p_0^2\omega^4\sin^2\vartheta}{16\pi^2\varepsilon_0c^3r^2}\frac{1}{2}.$



$$dW_{\text{\tiny HBBL}} = \int_{S_r} S d\sigma = \int_{S_r} S 2\pi r^2 \sin \theta d\theta = \frac{1}{12\pi} \frac{p_0^2 \omega^4}{\varepsilon_0 c^3}.$$

Форма линий напряженности поля излучающего диполя

21.16

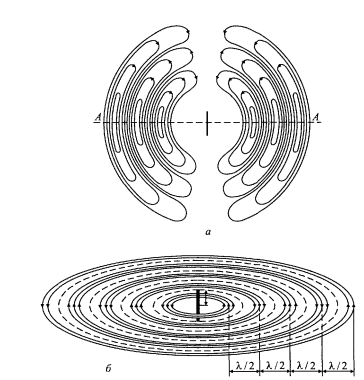


Рис 425 — Линии напряженности (а) и индукции (б) в шаровой электромагнитной волие диполя

21.18

21.15

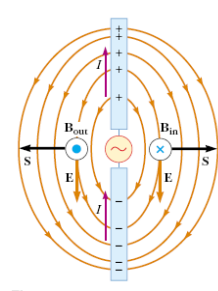
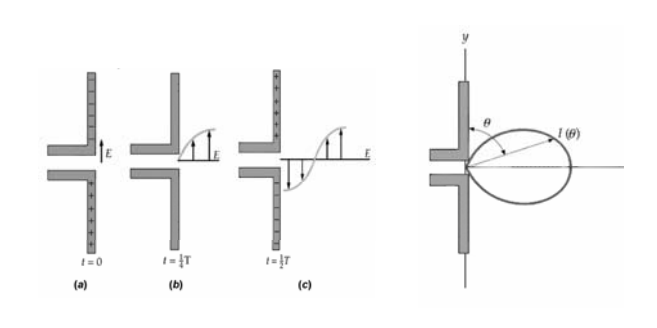
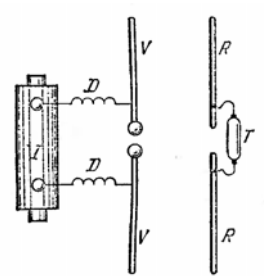


Figure 34.10 A half-wave antenna consists of two metal rods connected to an alternating voltage source. This diagram shows E and B at an arbitrary instant when the current is upward. Note that the electric field lines resemble those of a dipole (shown in Fig. 28.282).

21.19



Электромагнитные волны обнаружены Генрихом Герцем в 1888 году с помощью вибратора Герца.

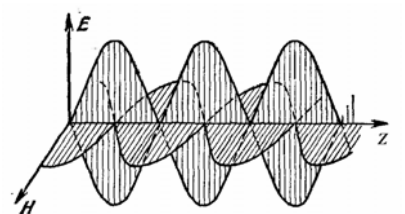


 $E_x = E_0 \cos(\omega t - kz), \quad H_y = H_0 \cos(\omega t - kz),$ $E_x = E_0 \cos(\omega t + kz), \quad H_y = -H_0 \cos(\omega t + kz).$

Поле стоячей электромагнитной

волны.

 $E_x = 2E_0 \cos kz \cos \omega t, H_y = 2H_0 \sin kz \sin \omega t.$



Лекция 22.

- Основные положения классической электронной теории проводимости Друде – Лоренца. Опыты Толмена и Стюарта. Законы Ома. Джоуля – Ленца и Видемана – Франца в классической теории.
- Понятие о зонной теории твердых тел. Энергетические уровни и формирование энергетических зон. Принцип Паули. Статистика Ферми-Дирака. Особенности зонной структуры диэлектриков, полупроводников и металлов. Объяснение проводимости твердых тел с помощью зонной теории.

22.1

22.7

Опыты Толмена и Стюарта (1916г.).

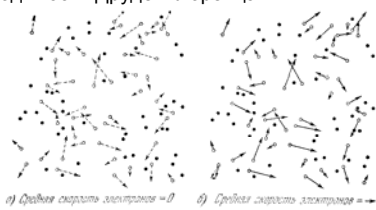


$$\begin{split} F_{\scriptscriptstyle \rm II} &= -m\frac{dv}{dt}; \quad E_{\scriptscriptstyle \rm CTOP} = \frac{F_{\scriptscriptstyle \rm II}}{e} = -\frac{m}{e}\frac{dv}{dt}, \\ \mathcal{E} &= \int\limits_{L} E_{\scriptscriptstyle \rm CTOP} dl = -\frac{m}{e}\frac{dv}{dt}L, \quad I = \frac{\mathcal{E}}{R} = -\frac{m}{e}\frac{dv}{dt}\frac{L}{R}. \\ q &= \int\limits_{I_0}^0 Idt = \frac{m}{e}\frac{L}{R}v_0. \end{split}$$

Схема опыта Толмена и Стюарта

Основные положения классической электронной теории проводимости Друде – Лоренца





$$\vec{J} = en < \vec{v} >$$
, где $< \vec{v} > = \frac{1}{n} \sum_{i=1}^{n} \frac{1}{2} (2\vec{v}_{i0} + \frac{e\vec{E}}{m}t_i)$.

$$\frac{1}{n}\sum_{i=1}^{n}\frac{1}{2}\vec{v}_{i0}=0, \quad <\vec{v}>=\frac{e\vec{E}}{m}\frac{1}{n}\sum_{i=1}^{n}t_{i}=\frac{e\vec{E}}{2m}\tau.$$

22.3

22.2

22.5

22.8

Законы Ома и Джоуля – Ленца.

$$au = rac{1}{n} \sum_{i=1}^n t_i = rac{1}{n} \sum_{j=1} n_j t_j$$
 — среднее время между соударениями.
Здесь n_j — число частиц из n , имеющих время межу столкновениями t_i

$$\vec{J}=enrac{e\vec{E}}{2m} au=rac{ne^2 au}{2m}\vec{E}=\lambda\vec{E}$$
— закон Ома.

Пусть n_i — число частиц в ед. объъема, имеющие время между столкновениями t_i Энергия приобретаемая этими частицами за время t_i равна

Эта энергия в результате столкновения с ионами переходит в тепло. За ед. времени число столкновений с ионами таких частиц равно $1/t_i$. Следовательно, энергия приобретенная n_i частицами за 1с равна

$$\frac{n_i}{t_i} \frac{m v_i^2}{2} = \frac{m}{2} \frac{e^2 E^2 n_i t_i}{m^2} = \frac{e^2 E^2}{2m} n_i t_i.$$
22.4

Энергия приобретаемая от электрического поля всеми электронами в единице объема за 1с и переходящая в тепло в результате столкновений с ионами будет равна

$$Q = \sum_{i} \frac{e^{2}E^{2}}{2m} n_{i} t_{i} = \frac{ne^{2}E^{2}}{2m} \underbrace{\frac{1}{n} \sum_{i} n_{i} t_{i}}_{T} = \frac{ne^{2}E^{2}}{2m} \tau = \lambda E^{2} - \frac{1}{n} \sum_{i} n_{i} t_{i} = \frac{ne^{2}E^{2}}{2m} \tau = \lambda E^{2} - \frac{1}{n} \sum_{i} n_{i} t_{i} = \frac{ne^{2}E^{2}}{2m} \tau = \lambda E^{2} - \frac{1}{n} \sum_{i} n_{i} t_{i} = \frac{ne^{2}E^{2}}{2m} \tau = \lambda E^{2} - \frac{1}{n} \sum_{i} n_{i} t_{i} = \frac{ne^{2}E^{2}}{2m} \tau = \lambda E^{2} - \frac{1}{n} \sum_{i} n_{i} t_{i} = \frac{ne^{2}E^{2}}{2m} \tau = \lambda E^{2} - \frac{1}{n} \sum_{i} n_{i} t_{i} = \frac{ne^{2}E^{2}}{2m} \tau = \lambda E^{2} - \frac{1}{n} \sum_{i} n_{i} t_{i} = \frac{ne^{2}E^{2}}{2m} \tau = \lambda E^{2} - \frac{1}{n} \sum_{i} n_{i} t_{i} = \frac{ne^{2}E^{2}}{2m} \tau = \lambda E^{2} - \frac{1}{n} \sum_{i} n_{i} t_{i} = \frac{ne^{2}E^{2}}{2m} \tau = \lambda E^{2} - \frac{1}{n} \sum_{i} n_{i} t_{i} = \frac{ne^{2}E^{2}}{2m} \tau = \lambda E^{2} - \frac{1}{n} \sum_{i} n_{i} t_{i} = \frac{ne^{2}E^{2}}{2m} \tau = \lambda E^{2} - \frac{1}{n} \sum_{i} n_{i} t_{i} = \frac{ne^{2}E^{2}}{2m} \tau = \lambda E^{2} - \frac{1}{n} \sum_{i} n_{i} t_{i} = \frac{ne^{2}E^{2}}{2m} \tau = \lambda E^{2} - \frac{1}{n} \sum_{i} n_{i} t_{i} = \frac{ne^{2}E^{2}}{2m} \tau = \lambda E^{2} - \frac{1}{n} \sum_{i} n_{i} t_{i} = \frac{ne^{2}E^{2}}{2m} \tau = \frac{ne^{2}E^{2}}{2m} \tau$$

закон Джоуля-Ленца.

Закон Видемана – Франца в классической теории.

В 1853 году Видеман и Франц установили, что для металлов $\chi/\lambda = aT$, где постоянная a не зависит от рода металла. То есть металлы, иемющие большую электропроводность, имеют и большую теплопроводность. Классическая электронная теория Друде-Лоренца объясняет этот феномелогический закон.

$$\vec{J}_O = \chi \nabla T$$
,

где $\chi = nc_{\nu}v_{\tau} < l > /3$, где $< l > = v_{\tau}\tau$, $c_{\nu} = 3k_{\tau}/2$ теплоемкость, приходящая на один электрон.

$$\frac{\chi}{\lambda} = \frac{nc_V v_T^2 \tau / 3}{ne^2 \tau / 2m} = \frac{2}{3} \frac{mv_T^2}{e^2} c_V = \left| v_T^2 = \frac{3k_B T}{m} \right| = \underbrace{3\frac{k_B^2}{e^2}}_{a} T = aT.$$
22.6

Трудности классической электронной теории.

1)
$$\rho = \frac{1}{\lambda} = \frac{2m}{ne^2} \frac{1}{\tau} = \frac{2m}{ne^2} \frac{v_T}{\langle 1 \rangle} = \frac{2m}{ne^2} \frac{\sqrt{3k_B T/m}}{\sqrt{2}n\sigma} \sim \sqrt{T}$$
,

a He $\sim T$ $(\rho = \rho_0 (1 + \alpha T))$.

2)
$$U=i\frac{k_{\scriptscriptstyle B}T}{2}N,\; C_{\scriptscriptstyle V}=\frac{\partial U}{\partial T}=i\frac{k_{\scriptscriptstyle B}}{2}N,$$
где $i=n_{\scriptscriptstyle noc}+n_{\scriptscriptstyle op}+2n_{\scriptscriptstyle KOT}$

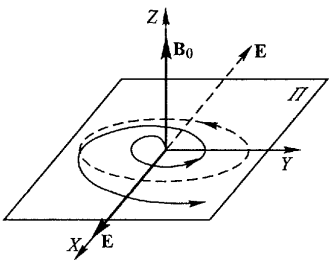
$$C_{v} = C_{v \text{ uonos}} + C_{v \text{ электронов}} = 2 \cdot 3 \frac{k_{E}}{2} N + 3 \frac{k_{E}}{2} N = 4,5 \frac{k_{E}}{2} N.$$

Эксперементальное значение: $C_{\nu} = 3k_{E}N$

3) Экспериментальные значения для средняя длина свободного пробега < l > составляет десятки перидов кристаллической решетки.

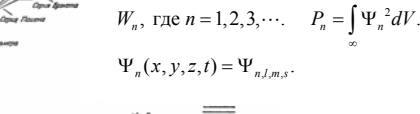
4) Значение эффективной массы электрона проводимости в металле, полученное на основании данных циклотронного резонанса оказалось меньше массы свободного электрона.

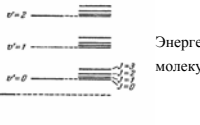
$$\omega_c = \frac{2\pi}{T} = \frac{q}{m^*} B$$
, где $m^* < m_e$



Поведение электронов в метаплах полчиняются законам квантовой или волновой механики. Лвижение эпектронов полобно волновому движению материи и описывается волновой функцией, определяемой квантовомеханическим нием Шредингера. Рассмотрим основные особенности

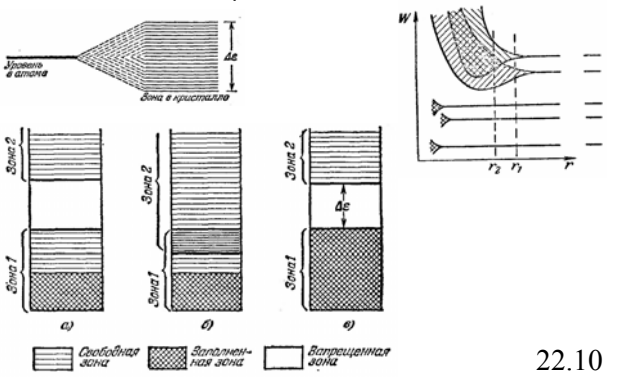






Энергетический спектр

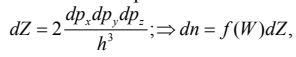
Понятие о зонной теории твердых тел. Энергетические уровни и формирование энергетических зон.



Принцип Паули. Статистика Ферми-Дирака.

Число частиц в ед. объема, имеющих импульс в интервале $p_{x}, p_{y} + dp_{y}; p_{y}, p_{y} + dp_{y}; p_{z}, p_{z} + dp_{z},$ равно $dn = f(W)dp_x dp_y dp_z$, где

 $f(W) = Ae^{-\frac{\ddot{\kappa}}{k_BT}}$ — плотность распределения частиц по импульсам. В квантовой статистике число микросостояной конечно

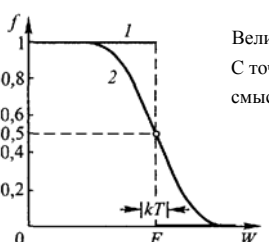


где для ферьми частиц

$$f(W) = \frac{1}{1 + \exp[(W - F)/k_B T]} -$$

-распределение Ферми-Дирака

Если
$$(W - F) / k_B T >> 1$$
, то $f(W) = \underbrace{e^{\frac{F}{k_B T}}}_{A} e^{-\frac{W}{k_B T}}$ 22.



Величина F называется энергия Ферми. С точки зрения термодинамики имеет смысл химического потенциала

$$\mu = \left(\frac{\partial U}{\partial N}\right)_{S,V}$$

В металлах $F = (1-6) \ni B$. При комнатной температуре $k_{\rm E}T = 0.039B$.

22.12

 Φ ункция Φ ерми-Дирака $1-T=0, \, 2-T \neq 0$

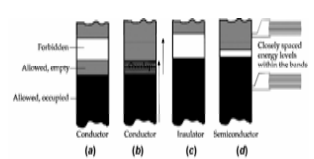
Для меди
$$\frac{k_B T}{F} = 0,004$$
.

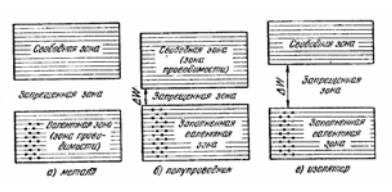
Число электронов участвующих в тепловом движении мало,

поэтому
$$C_v = 3k_E N$$
. $\rho = \frac{1}{\lambda} = \frac{2m}{ne^2} \frac{v_T}{\langle l \rangle}; v_T = v_F$, где $F = mv_F^2 / 2$,

$$\frac{1}{\langle l \rangle} = \frac{1}{l_{\phi s}} + \frac{1}{l_{np}}; \ \frac{1}{l_{\phi s}} \sim T, l_{np} = const; \Rightarrow \rho = \rho_0 + \alpha T.$$

Особенности зонной структуры диэлектриков, полупроводников и металлов. Объяснение проводимости твердых тел с помощью зонной теории.





22.13

23.1

Происхождение эффективной массы электронов.

$$W = U + \frac{1}{2m}(p_x^2 + p_y^2 + p_z^2) = W(\vec{p}).$$

В металле вблизи дна зоны проводимости (p) отсчитывается от p_a

$$W = W(\vec{p}) = W(\underbrace{0}_{\vec{p} - \vec{p}_c}) + \underbrace{\frac{1}{2!} \frac{\partial^2 W}{\partial p_x^2} p_x^2}_{1/m_x^*} + \underbrace{\frac{1}{2!} \frac{\partial^2 W}{\partial p_y^2} p_y^2}_{1/m_y^*} + \underbrace{\frac{1}{2!} \frac{\partial^2 W}{\partial p_z^2} p_z^2}_{1/m_z^*} + \cdots$$

22.14

Объяснение закона Видемана-Франца в рамках квантовых представлений.

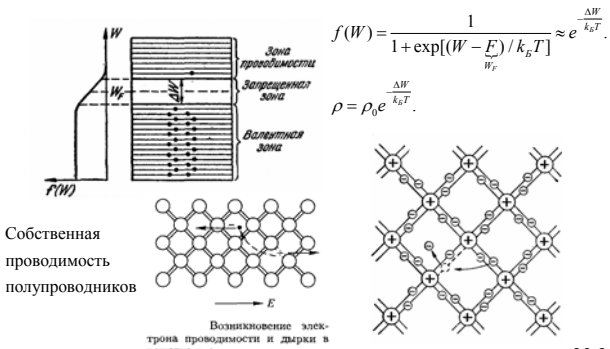
$$\frac{\chi}{\lambda} = \frac{2}{3} \frac{m v_T^2}{e^2} c_V$$
, где $\frac{m v_T^2}{2} = F$, $c_V = \frac{12}{5} k_E \frac{k_E T}{F}$

$$\frac{\chi}{\lambda} = \frac{4}{3} \frac{m v_T^2 / 2}{e^2} c_V = \frac{4}{3} \frac{F}{e^2} \frac{12}{5} k_E \frac{k_E T}{F} = \underbrace{\frac{16}{5} \frac{k_E^2}{e^2}}_{q} T.$$

Лекция 23.

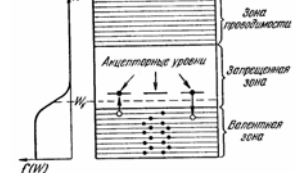
- Полупроводники. Собственная и примесная проводимость полупроводников. Полупроводники ри п-типа .р – п-переход. Применение полупроводников: полупроводниковые диоды, транзисторы, фотодиоды, фоторезисторы.
- Контактные явления. Контактная разность потенциалов. Термоэлектричество. Термодвижущая сила. Термопары. Эффект Пельтье. Явление
- Сверхпроводимость. Основные свойства сверхпроводников. Магнитная индукция внутри сверхпроводника. Эффект Мейснера. Критическое поле. Высокотемпературная сверхпроводимость. Применение сверхпроводников.

Полупроводники. Собственная и примесная проводимость полупроводников.



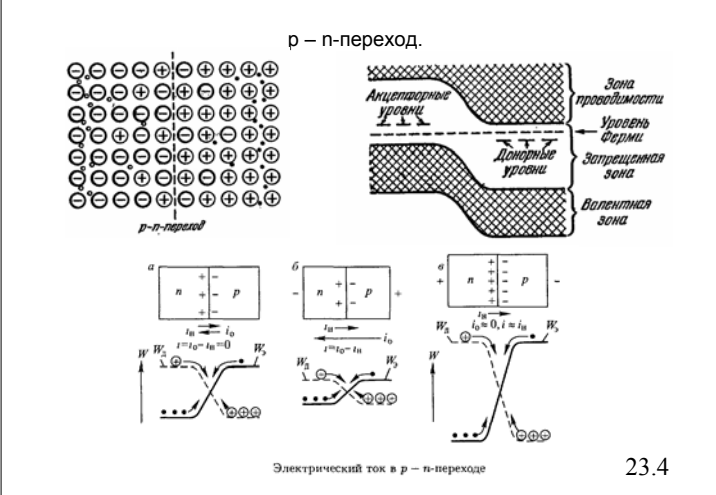
Примесеая проводимость полупроводников

Полупроводники р- и п-типа Донорные уровни FOW

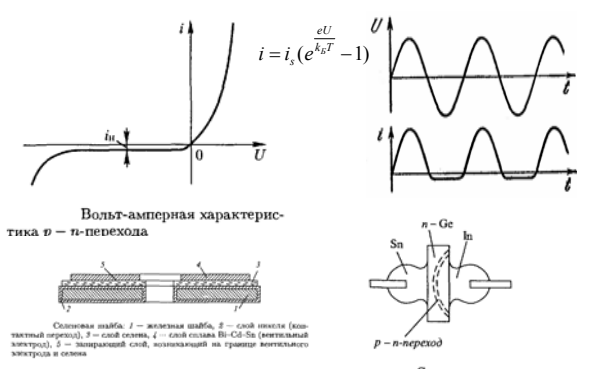


23.2

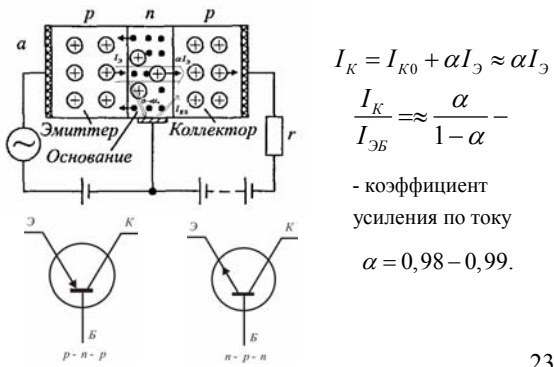
23.3



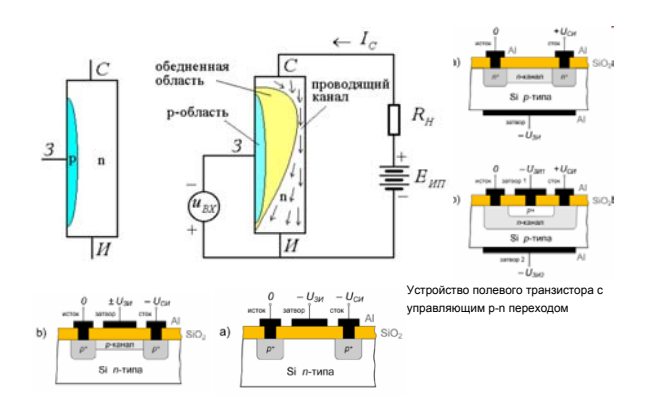
Применение полупроводников. Полупроводниковый диод.



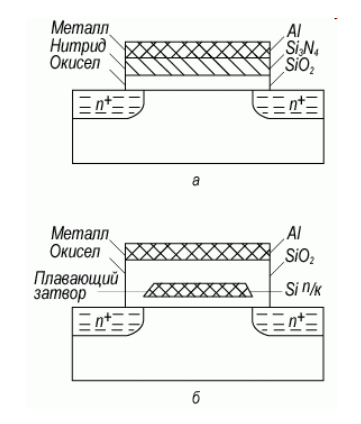
Применение полупроводников. Биполярные и полевые транзисторы.



23.6



Топология полупроводниковых запоминающих устройств: a) МНОП-транзистор; б) МОП ПТ с плавающим затвором



Зарядка плавающего затвора осуществляется за 0.1мкс, разрядка – более 100 лет при комнатной температуре

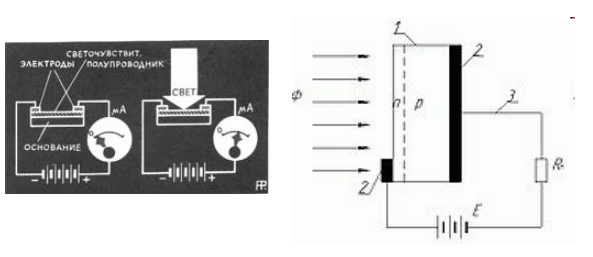
го выпрямителя

23.8

23.11

23.5

фотодиоды, фоторезисторы.



Структурная схема фотодиода. 1 — кристалл полупроводника; 2 — контакты; 3 — выводы; ф — поток электромагнитного излучения; Е — источник постоянного тока; Rн — нагрузка.

23.9

Контактные явления. Контактная разность потенциалов. [2,§198]

Устройство полевого транзистора с изолированным затвором.

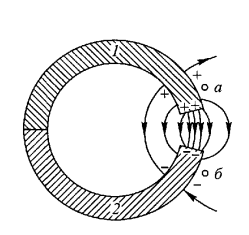
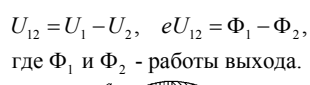


Рис 336 При соприкосновении двух различных металлов во внешнем пространстве появляется электрическое поле, а па поверхности металлов возникают заряды



23.7

23.10

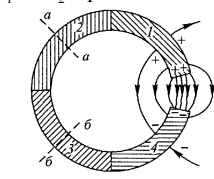


Рис 337. При соединении нескольких проводников (I, 2, 3, 4) электрическое поле между свободными концами цепи определяется только крайними проводниками ($I \ u$ 4)

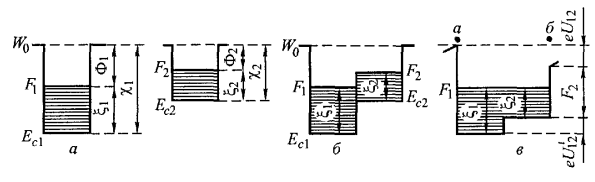
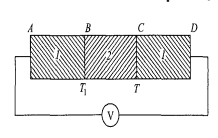


Рис. 339. Энергетическая диаграмма двух металлов: a — контакта нет; δ — контакт есть, но нет равновесия; ϵ — равновесие

Здесь W_0 — энергия покоящегося электрона в вакууме, $\chi_1=W_0-E_{c1}$ и $\chi_2=W_0-E_{c2}$ — глубина потенциальных ям (электронное сродство данного вещества), $F-E_c=\xi$ - химический потенциал электронов.

$$\begin{split} &\Phi_1 = W_0 - F_1 = \chi_1 - \xi_1, \quad \Phi_2 = W_0 - F_2 = \chi_2 - \xi_2, \\ &- e U_1 - (-e U_2) = (\chi_1 - \xi_1) - (\chi_2 - \xi_2) = \Phi_1 - \Phi_2. \\ &- e U_{12}^i = e(\varphi_1 - \varphi_2) = \xi_1 - \xi_2. \end{split}$$

Термоэлектричество (явление Зеебека 1821г.). Термодвижущая сила. [2,§199].







 $\Delta \mathcal{E} = (\alpha_1 - \alpha_2) \Delta T.$

Рис. 341. Распределение потенциала в цепи, изображенной на рис. 340, при $T_1=T$ (a) и при $T_1>T$ (b)

 $\Delta \mathcal{E}_i = \alpha_i \Delta T$ — термо-ЭДС каждого проводника.

 $\alpha = d\mathcal{E}/dT$ — дифференциальная термо-ЭДС, (коэффициент термо-ЭДС).

 $\mathscr{E} = \int_{1}^{T_{2}} (\alpha_{1} - \alpha_{2}) dT; \quad \Rightarrow \mathscr{E} = (\alpha_{1} - \alpha_{2})(T_{2} - T_{1}).$

$c = \int (\alpha_1 - \alpha_2)^{-\alpha_2}$	$(\alpha_1 - \alpha_2)(\alpha_1 - \alpha_2)(\alpha_2 - \alpha_2)(\alpha_1 - \alpha_2)(\alpha_1 - \alpha_2)(\alpha_2 - \alpha_2)(\alpha_2 - \alpha_2)(\alpha_1 - \alpha_2)(\alpha_2 - \alpha_$	$I_2 - I_1$).		
$Meтa^{T}_{JJJI}$	α - α _{Pt} , mkB/K	Металл	$\alpha - \alpha_{ m Pt}$, мк $ m B/K$	
Висмут	-65,0	Серебро	+7,10	
Константан	-34,4	Медь	+7,40	
Никель	-16,4	Железо	+16,0	
Палладий	-5,60	Сурьма	+47,0	

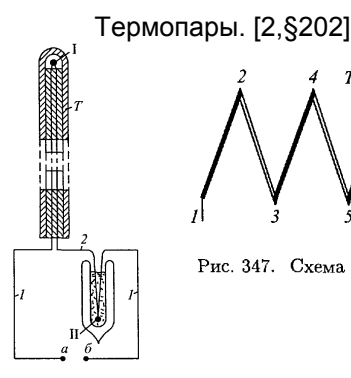


Рис. 347. Схема термобатареи

Рис. 346. Схема устройства и включения термопары

23.13

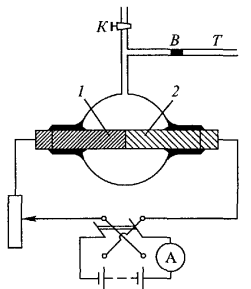
Эффект Пельтье. [2,§200]

 $Q_{\Pi} = \Pi q = \Pi it.$

 $P=-rac{\jmath}{e}\left(\overline{W}_{ extsf{ iny K}}-earphi
ight)$, где N=j/e $Q_{\Pi} = (P_1 - P_2)St = \frac{1}{\rho} \left[(\overline{W}_{\kappa 2} - \overline{W}_{\kappa 1}) + e(\varphi_1 - \varphi_2) \right] it,$ $\Pi_{12} = \frac{1}{e} \left[(\overline{W}_{\kappa_2} - \overline{W}_{\kappa_1}) + e(\varphi_1 - \varphi_2) \right]$ Для невырожденного электронного

газа $\overline{W}_{K1} = \overline{W}_{K2}; \Rightarrow \Pi_{12} = (\varphi_1 - \varphi_2) = U_{12}^i$.

23.14



Пельтье

Рис 342 Наблюдение эффекта

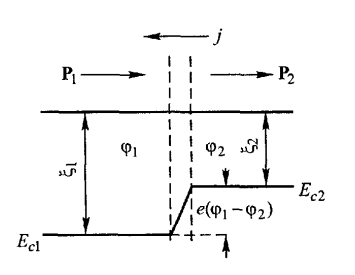


Рис. 343. К определению тепла Пельтье для двух металлов при T=0

Сверхпроводник 1 рада

Для вырожденного электронного газа при T = 0 $\overline{W}_{K1} = F - E_{c1} = \xi_1$, $\overline{W}_{K2} = F - E_{c2} = \xi_2$. Ho $e(\varphi_1 - \varphi_2) = \xi_1 - \xi_2$, поэтому $\Pi_{12} = e^{-1}[(\xi_2 - \xi_1) + (\xi_1 - \xi_2)] = 0.$ Если $T \neq 0$, то $\Pi_{12} \neq 0$. 23.15

Явление Томсона.

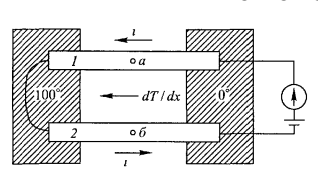




Рис. 344. Наблюдение эффекта Томсона

Рис. 345. К объяснению тепла Томсона

$$\begin{split} &\frac{Q_{\scriptscriptstyle T}}{\Delta V t} = \sigma \frac{dT}{dx} J - \text{ дифф. форма закона, } Q_{\scriptscriptstyle T} = \sigma \! \Delta T \! i t - \text{интегр. форма закона,} \\ &\frac{Q_{\scriptscriptstyle T}}{\Delta V t} = \frac{P(x) - P(x + dx)}{dx} = -\frac{dP(x)}{dx} = \frac{J}{e} \frac{d \overline{W}_k}{dx} - J \frac{d \varphi}{dx}. \\ &\frac{d \overline{W}_k}{dx} = \frac{d \overline{W}_k}{dT} \frac{dT}{dx} \\ & \vdots \Rightarrow \frac{Q_{\scriptscriptstyle T}}{\Delta V t} = \frac{J}{e} \frac{d \overline{W}_k}{dT} \frac{dT}{dx} + JE. \end{split}$$

23.16

Сверхпроводимость. Основные свойства сверхпроводников. Высокотемпературная сверхпроводимость.

Явление сверхпроводимости было открыто Камерлинг-Оннесом в 1911 году. Переход вещества в сверхпроводящее состояние в отсутствии внешнего магнитного поля является фазовым переходом 2-го рода, в присутствии поля -- 1-го рода. Наибольше значении критической температуры (до 1986 года) было у соединений ниобия и германия 23,2 К.

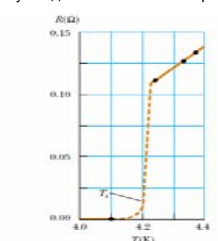
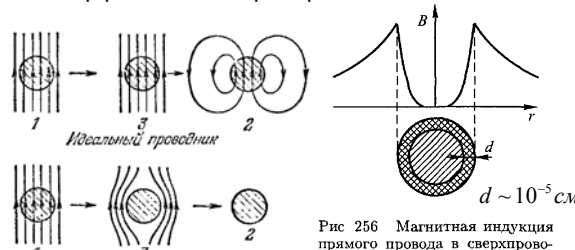


Figure 27.12 Resistance versus temperature for a sample of mercury (Hg). The graph follows that of a normal metal above the critical temperature T_c . The resistance drops to zero at T_c , which is 4.2 K for mercur

Critical Temperatures for Various Superconductors			
Material	$T_d(K)$		
HgBa-Ca-Cu ₂ O ₂ O ₂	134		
TI-Ba-Ca-Cu-O	125		
Bi-Sr-Ca-Cu-O	105		
YBa ₂ Cu ₃ O ₇	92		
NbgGe	25.2		
Nb ₉ Sn	18.05		
Nb	9.46		
Pb	7.18		
Hg	4.15		
Sn	5.72		
Al	1.19		
Zu	0.88		

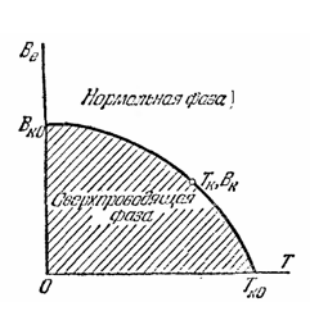
Магнитная индукция внутри сверхпроводника. Эффект Мейсснера. Критическое поле.

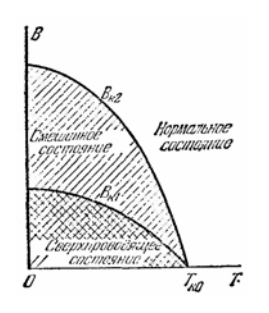


Укажем для примера, что у олова при 1 К $H_{\rm kp}$ составляет около $2\cdot 10^4$ А/м. Поэтому для оловянной проволоки диаметром 2a=3 мм критическая сила тока при этой температуре равна $i_{\rm KP}=2\pi a H_{\rm KP}=2\pi\cdot 1,5\cdot 10^{-3}\cdot 2\cdot 10^4\approx 180$ А.

$$i_{\rm KP} = 2\pi a H_{\rm KP} = 2\pi \cdot 1.5 \cdot 10^{-3} \cdot 2 \cdot 10^4 \approx 180 \text{ A.}$$
 23.18

дящем состоянии





Если фактор формы $\beta \neq 0$, то образец сверхпроводника первого рода переходит в нормальное состояние частями (доменами). Сверхпроводники 1-го рода с положительной поверхностной энергией, 2-го рода - с отрицательной.